

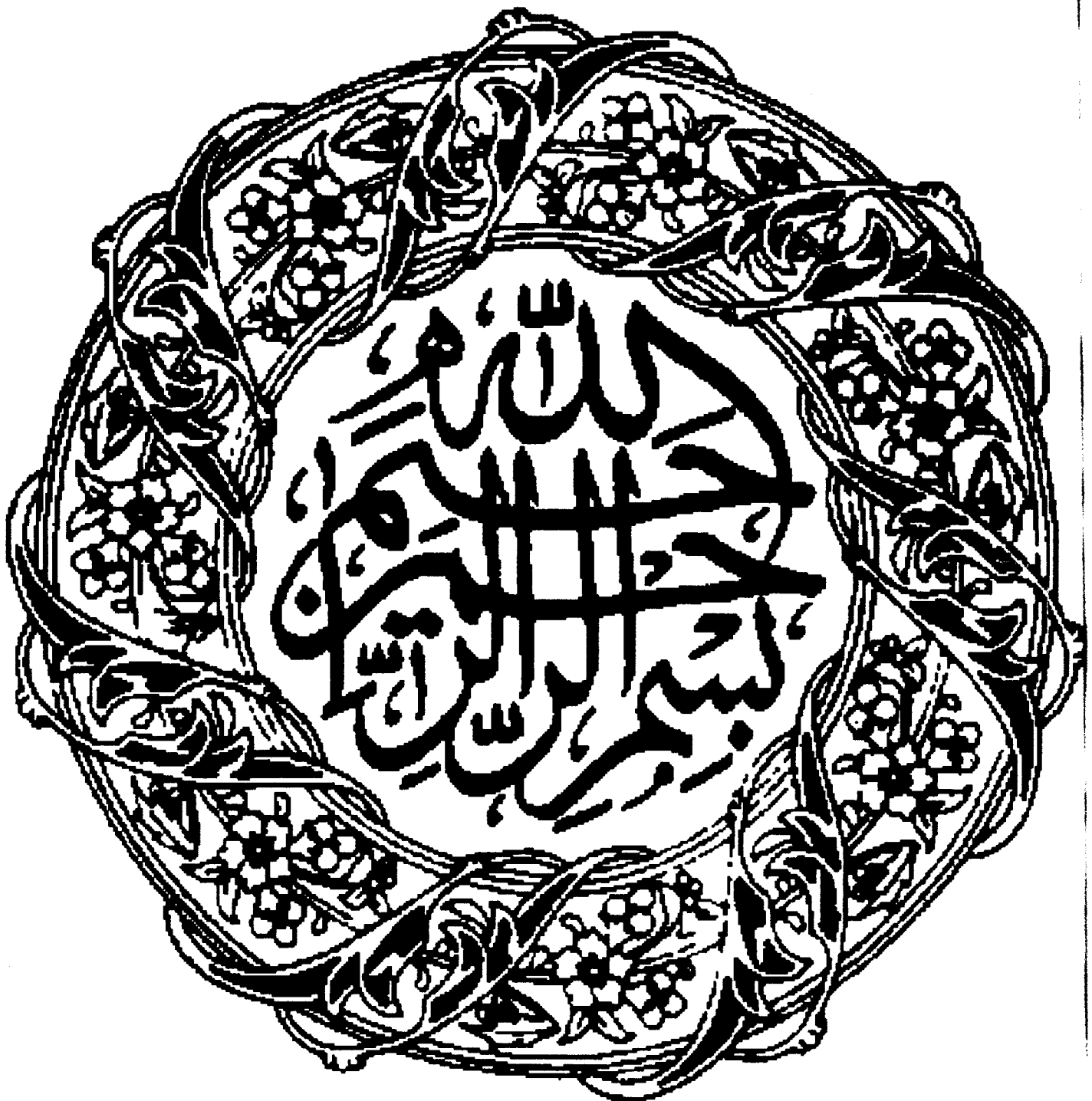
بِنَمْ خَدا



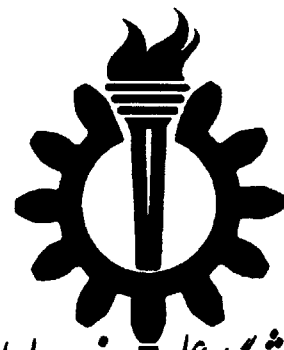
مرکز دانلود رایگان
محلبسوی مطالب اورژی و مواد

www.Iran-mavad.com





بسمه تعالی



دانشگاه علم و صنعت ایران

دانشکده مهندسی مواد و متالورژی

بازیابی مس از سرباره کوره ریورب به روش هیدرومتوالورژی

حسین آقاجانی

پایان نامه برای دریافت درجه کارشناسی ارشد
در رشته مهندسی متالورژی گرایش استخراج فلزات

اساتید راهنما : دکتر جلیل وحدتی خاکی
دکتر مسعود گودرزی

آبان ماه ۱۳۸۱

۷۶۸

تقدیم به:

همسر عزیزم

که در کلیه مراحل زندگی و تحصیل صمیمانه مرا یاری نموده است.

چکیده پایان نامه

مس فلزی است که مصارف صنعتی آن بسیار زیاد است. استخراج مس عموماً به روش پیرومتالورژی صورت می‌گیرد. با گسترش روش هیدرومیتالورژی، تلاش‌های موفقیت‌آمیزی درز مبنی استفاده از این روش برای استخراج مس صورت گرفته است. روش‌های هیدرومیتالورژی عموماً برای استخراج فلزاتی نظیر اورانیوم و طلا ابداع و به کار گرفته شده‌اند و مشخصه اصلی آنها، انجام فرایند در دماهای پایین می‌باشد. از آنجا که استخراج مس از سنگ‌های اکسیدی حاوی $2\% \text{ درصد}$ مس نیز دارای صرفه اقتصادی است، استفاده از سرباره کوره ریبورب که مس آن حتی تا $2\% \text{ درصد}$ هم می‌رسد، امری ضروری به شمار می‌آید. ولی بدلیل کمبود تحقیقات در این زمینه، استخراج مس از این سرباره در مقیاس صنعتی انجام نمی‌شود. لزوماً پیشبرد پروژه‌های آزمایشگاهی کمکی در نیل به این هدف می‌باشد.

هدف این تحقیق، خارج کردن مس از فاز سرباره و وارد کردن آن به فاز آبی می‌باشد. به این منظور، از یک حلal ارزان قیمت نظیر اسید سولفوریک استفاده شد. انحلال مس سرباره در اسید سولفوریک به دلایلی به طور کامل صورت نمی‌گیرد. عدم وجود تخلخل کافی در سرباره و

وجود سولفیدهای مس که در این اسید نامحلول هستند، از جمله این دلایل هستند. لذا، در اولین مرحله سرباره پس از خرد شدن در اندازه‌های $+60$ ، $+80$ ، $+100$ و $+120$ و -120 - دانه‌بندی شد. پس از انجام آزمایشات حل‌سازی درانداره دانه‌ها، زمان‌ها و غلظت‌های مختلف مشاهده شد که بیشترین میزان بازیابی در ذرات دارای اندازه کوچکتر به دست می‌آید. لذا، سرباره به حدی خرد و آسیا شد که همه ذرات آن از الک با مش 120 عبور کنند. این عمل برای ظاهرشدن حداقل یک سطح از کانه حاوی مس صورت می‌گیرد. سپس سرباره در محلول حاوی اسید حل شد و تأثیر پارامترهایی نظیر زمان، دما، سرعت هم زدن و غلظت اسید مورد بررسی قرار گرفت.

پس از کسب نتایج این مرحله، فرایندهای بهینه‌سازی برای افزایش راندمان بازیابی، انجام شد. از این فرایندها می‌توان به تشویه در حضور سولفات فریک، کلرید سدیم و کربنات سدیم، ~~افزودن~~ یون نقره به عنوان کاتالیزور و استفاده از کار مکانیکی اشاره کرد. درنهایت شرایط بهینه استخراج مس از سرباره کوره ریورب معین و مشخص شد.

تقدیر و تشکر

با تشکر و سپاس فراوان از پدر و مادر عزیزم که با زحمات خود موجبات رشد و پیشرفت اینجانب را فراهم آوردد.

از زحمات استاد گرامی و ارجمند آقایان دکتر جلیل وحدتی خاکی و دکتر مسعود گودرزی، که در انجام این تحقیق با راهنمایی‌های ارزشمند خود اینجانب را یاری نموده‌اند، کمال تشکر و سپاسگزاری را دارم. از استاد بزرگوار آقایان دکتر حکمت رضوی‌زاده و دکتر کشاورز علمداری که زحمت بازبینی و رفع اشکالات پایان‌نامه اینجانب را بر عهده گرفتند، بسیار متشرکم.

آقایان مهندس حسین مهرجو مسوول آزمایشگاه‌های هیدرومتوالورژی و پیرومتوالورژی دانشگاه علم و صنعت ایران، مهندس مسیحیان‌پور مسوول آزمایشگاه سرامیک دانشگاه علم و صنعت ایران، مهندس علیرضا کمالی و مهندس یوسف پاینده نیز در انجام این تحقیق با اینجانب همکاری کرده‌اند که از تمامی این افراد کمال تشکر و سپاسگزاری را دارم.

فهرست مطالب

صفحه

عنوان

۱

فصل اول - مقدمه

۴

فصل دوم - مروری بر منابع

۵

۲-۱- مروری بر فرایندهای استخراج فلزات

۶

۲-۱-۱- فرایندهای پیرومتالورژی

۷

۲-۱-۲- فرایندهای هیدرومترالورژی

۷

۲-۱-۲-۱- فرایند حل کردن

۱۰

۲-۱-۲-۲- انواع حل کردن

۱۱

۲-۲- مروری بر فرایند تولید مس به روش هیدرومترالورژی

۱۱

۲-۲-۱- بررسی ترکیبات مس

۱۲

۲-۲-۲- مبانی شیمیایی حل کردن

۱۴

۲-۲-۳- اکسیداسیون مستقیم O_2

۱۵

۲-۲-۴- سرعت حل سازی هولوفیدها

۱۵

۲-۲-۴-۱- حل سازی مستقیم کانه های سولفیدی مس

۱۷

۲-۲-۵- حلال های مورد استفاده در حل کردن کانه های مس

۱۷

۲-۲-۵-۱- حلال های اسیدی

صفحه

عنوان

۱۸	۲-۲-۵-۲ - حلال‌های قلیابی
۱۹	۲-۲-۵-۳ - حلال‌های خشی
۲۰	۲-۲-۵-۴ - حلال‌های ملح دار
۲۲	۲-۲-۵-۵ - گازهای حل شده در محلول
۲۲	۲-۲-۶ - عوامل مؤثر در حل کردن
۲۲	۲-۲-۶-۱ - خواص ذاتی کانه مس
۲۳	۲-۲-۶-۲ - دانه بندی سنگ
۲۵	۲-۲-۶-۳ - غلظت حلال
۲۶	۲-۲-۶-۴ - درجه حرارت
۲۷	۲-۲-۶-۵ - ترکیب مواد باطله موجود در سنگ معدن
۲۷	۲-۲-۶-۶ - زمان
۲۸	۲-۳ - مروری بر فرایند تولید سرباره در کوره ریورب
۲۸	۲-۳-۱ - ذوب مات
۲۸	۲-۳-۱-۱ - واکنش‌های ذوب مات
۲۹	۲-۳-۱-۲ - اصول تثوری تشکیل مات
۳۱	۲-۳-۲ - سرباره کوره ریورب
۳۲	۲-۳-۲-۱ - خصوصیات و ساختار سرباره
۳۳	۲-۳-۲-۲ - بررسی دیاگرام $\text{SiO}_2 - \text{Fe}_2\text{O}_3 - \text{FeO}$
۳۵	۲-۳-۲-۳ - ایجاد عدم حلالیت مایین مات و سرباره

صفحه

عنوان

۳۶	۱-۳-۲-۳-۲-۳-۲-۳-۱ - دیاگرام سولفید- اکسید- سلیس
۳۷	۲-۳-۲-۳-۲-۳-۲ - هلت عدم حلایقت مات و سرباره در یکدیگر
۳۸	۴-۳-۲-۴ - توزیع مس بین مات و سرباره
۴۰	فصل سوم - شرح عملیات تجربی
۴۱	۱-۳-۱ - تجهیزات و مواد مصرفی
۴۲	۲-۳-۲ - روش انجام آزمایشات
۴۲	۱-۳-۲-۱ - آماده سازی نمونه ها
۴۳	۲-۳-۲-۲ - روش انجام آزمایش حل کردن
۴۴	۳-۲-۳-۲-۳ - روش انجام آزمایش تیتراسیون
۴۵	۴-۳-۲-۴ - معیار ارزیابی آزمایش
۴۶	فصل چهارم - نتایج
۴۷	۱-۴ - بررسی ساختار سرباره
۴۸	۲-۴ - اثر اندازه دانه
۴۸	۱-۴-۲-۴ - آنالیز سرباره در اندازه دانه های مختلف
۵۰	۲-۴-۲-۴ - تاثیر اندازه دانه در میزان بازیابی مس
۵۱	۳-۴-۴ - اثر پارامترهای مختلف در انحلال سرباره
۵۱	۱-۴-۳-۴ - اثر دما
۵۰	۲-۴-۳-۴ - اثر غلظت
۶۲	۳-۴-۳-۴ - اثر سرعت همزدن

صفحه	عنوان
۶۳	۴-۳-۴- اثر زمان
۶۴	۴- نتایج تیتراسیون
۶۶	فصل پنجم - بررسی و تحلیل نتایج
۶۷	۱- تعیین ترکیب سرباره
۶۷	۲- بررسی اثر اندازه دانه
۶۹	۳- بررسی اثر دما
۷۱	۴- بررسی اثر غلظت
۷۵	۵- بررسی اثر سرعت همzedن
۷۶	۶- بررسی اثر زمان
۷۶	۷- بررسی سیستیک انحلال
۸۴	۸- محاسبه میزان اسید مصرف شده
۸۷	فصل ششم - نتیجه گیری
۹۰	فصل هفتم - پیوست
۹۱	پیوست ۱
۹۲	پیوست ۲
۹۹	پیوست ۳
۱۰۱	فصل هشتم - مراجع و منابع

فهرست شکل‌ها

صفحه

عنوان

- ۲۴ شکل (۲-۱) : عبار مس باقیمانده در قسمت‌های مختلف سنگ معدن
- ۳۰ شکل (۲-۲) : خطوط لیکوئیدوس در سیستم $\text{Cu} - \text{Fe} - \text{S}$
- ۳۲ شکل (۲-۳) : دیاگرام فازی $\text{Cu} - \text{Fe} - \text{S}$
- ۳۴ شکل (۲-۴) : منحنی تغییرات ویسکوزیته سرباره‌های حاوی O_2 ، FeO و SiO_2
- ۳۵ شکل (۲-۵) بخشی از دیاگرام فازی تعادلی سیستم سه تابعی $\text{SiO}_2, \text{Fe}_2\text{O}_3, \text{FeO}$
- ۳۷ شکل (۲-۶) : دیاگرام فازی سیستم $\text{Fe} - \text{O} - \text{S} - \text{SiO}_2$
- ۳۸ شکل (۲-۷) : نمایش شماتیک میزان مس موجود در سرباره کوره ذوب مات و مات.
- ۴۵ شکل (۳-۱) : شمای روش تحقیق
- ۴۹ شکل (۴-۱) : نتیجه آنالیز XRD سرباره کوره ربورب
- ۶۸ شکل (۵-۱) : منحنی میزان مس حل شده در مش‌ها و غلظت‌های مختلف
- ۶۸ شکل (۵-۲) : منحنی میزان مس حل شده در مش‌ها و زمان‌های مختلف
- ۶۹ شکل (۵-۳) : منحنی درصد بازیابی مس بر حسب زمان
- ۷۰ شکل (۵-۴) : منحنی درصد بازیابی مس بر حسب دما
- ۷۲ شکل (۵-۵) : منحنی درصد بازیابی مس بر حسب زمان، دما ۲۷ درجه سانتی گراد
- ۷۲ شکل (۵-۶) : منحنی درصد بازیابی مس بر حسب زمان ، دما ۸۰ درجه سانتی گراد
- ۷۳ شکل (۵-۷) : منحنی درصد بازیابی مس بر حسب زمان ، دما ۱۰۰ درجه سانتی گراد

صفحه

عنوان

٧٤

شکل (٥-٨) : منحنی درصد بازیابی مس بر حسب غلظت

٧٥

شکل (٥-٩) : منحنی درصد بازیابی بر حسب سرعت همzedن

٧٩

شکل (٥-١٠) : منحنی درصد بازیابی مس بر حسب زمان و منحنی مربوط به حالت کترل

٨٠

توسط نفوذ در محلول

شکل (٥-١١) : منحنی درصد بازیابی مس بر حسب زمان و منحنی مربوط به حالت کترل

٨٠

توسط واکنش شیمیایی

شکل (٥-١٢) : منحنی درصد بازیابی مس بر حسب زمان و منحنی مربوط به حالت کترل

توسط نفوذ در فشر پسماند

٨٣

شکل (٥-١٣) : منحنی $\ln K$ بر حسب $\frac{1}{T}$

٨٥

شکل (٥-١٤) : منحنی درصد بازیابی مس بر حسب زمان

٨٥

شکل (٥-١٥) : منحنی تغییرات غلظت محلول بر حسب زمان

٩٢

شکل (٧-١) : تغییرات میزان بازیابی مس با افزودن یون نقره به محلول

١٠٠

شکل (٧-٢) : تغییرات میزان بازیابی مس با افزایش زمان کار مکانیکی

فهرست جداول

صفحه	عنوان
۱۲	جدول(۱-۲): معرفی کانه های مس
۳۱	جدول(۲-۲): خصوصیات فیزیکی مات، سرباره و برخی ترکیبات موجود در آن ها
۳۳	جدول(۲-۳): ترکیب و ساختار سویاره های سبلیکانی
۳۶	جدول(۴-۲): ترکیب دو فاز سرباره و مات در سیستم $\text{SiO}_2 - \text{Fe} - \text{O} - \text{S}$ اشباع از
۴۳	جدول (۳-۱) : توزیع اندازه دانه در سرباره کوره ریورب پس از خرد کردن در آسبای فکی
۴۷	جدول (۱-۴) : آنالیز XRF سرباره کوره ریورب
۵۰	جدول (۲-۴) : آنالیز XRF دانه بندی های مختلف سرباره کوره ریورب
۵۰	جدول(۳-۴) : درصد مس حل شده در مش های مختلف و غلظت های اسید مختلف
۵۱	جدول(۴-۴) : درصد مس حل شده در مش های مختلف و زمان های مختلف
۵۲	جدول(۴-۵) : جدول اثر تغییر دما در میزان بازیابی مس در زمان ۱۵ دقیقه
۵۲	جدول(۴-۶) : جدول اثر تغییر دما در میزان بازیابی مس در زمان ۳۰ دقیقه
۵۳	جدول(۴-۷) : جدول اثر تغییر دما در میزان بازیابی مس در زمان ۴۵ دقیقه
۵۳	جدول(۴-۸) : جدول اثر تغییر دما در میزان بازیابی مس در زمان ۶۰ دقیقه
۵۴	جدول(۴-۹) : جدول اثر تغییر دما در میزان بازیابی مس در زمان ۹۰ دقیقه
۵۴	جدول(۴-۱۰) : جدول اثر تغییر دما در میزان بازیابی مس در زمان ۱۰۵ دقیقه
۵۵	جدول(۴-۱۱) : جدول اثر تغییر دما در میزان بازیابی مس در زمان ۱۲۰ دقیقه

صفحه

عنوان

۵۶	جدول(۱۲-۴) : جدول اثر تغییر غلظت در میزان بازیابی مس زمان ۱۵ دقیقه
۵۷	جدول(۱۳-۴) : جدول اثر تغییر غلظت در میزان بازیابی مس در زمان ۳۰ دقیقه
۵۸	جدول(۱۴-۴) : جدول اثر تغییر غلظت در میزان بازیابی مس در زمان ۴۵ دقیقه
۵۹	جدول(۱۵-۴) : جدول اثر تغییر غلظت در میزان بازیابی مس در زمان ۶۰ دقیقه
۶۰	جدول(۱۶-۴) : جدول اثر تغییر غلظت در میزان بازیابی مس در زمان ۹۰ دقیقه
۶۱	جدول(۱۷-۴) : جدول اثر تغییر غلظت در میزان بازیابی مس در زمان ۱۰۵ دقیقه
۶۲	جدول(۱۸-۴) : جدول اثر تغییر غلظت در میزان بازیابی مس در زمان ۱۲۰ دقیقه
۶۳	جدول(۱۹-۴) : میزان بازیابی مس در سرعت همزن‌های مختلف
۶۵	جدول(۴-۲۰) : جدول نتایج تیتراسیون و محاسبه غلظت محلول باقیمانده
۷۹	جدول(۵-۱) : مقادیر K برای حالات مختلف کنترل سرعت فرایند
۸۱	جدول(۵-۲) : مقادیر K_m' در زمان‌های مختلف برای حالت نفوذ در قشر پسماند
۸۲	جدول(۵-۳) : مقادیر K_m' برای حالت نفوذ در قشر پسماند
۹۱	جدول(۷-۱) : تاثیر افزودن یون نقره به حلال در میزان بازیابی مس
۹۸	جدول(۷-۲) : میزان بازیابی مس پس از تشویع در حضور مواد مختلف

فصل اول

مقدمه

مس یکی از پر مصرف ترین فلزات است که به دلیل خواص مناسبی نظیر هدایت حرارتی و الکتریکی زیاد، مقاومت به خوردگی و قابلیت ماشینکاری مناسب، افزایش استحکام با اعمال کار سرد، قابلیت ساخت، غیر مغناطیسی بودن، رنگ دلپذیر و قابلیت مناسب برای جوشکاری و لحیم کاری، استفاده فراوانی در صنایع نظامی، مخابراتی، شبیهایی و متالورژی یافته است [۱].

معمولًا فلزات در طبیعت به صورت ترکیباتی نظیر کمپلکس‌های پیچیده سولفیدی، اکسیدی، کربناتی و سیلیکاتی وجود دارند. معمولًا سنگهای معدنی دارای عبار پایین هستند و آنها را باید توسط فرایندهای پر عبار کردن، به صورت کنسانتره درآورد. بخشی از سنگ معدن به عنوان ماده‌ای بسیار ارزش دور ریخته می‌شود و از مابقی به صورت کنسانتره تحت روش‌های پیرومتوالورژیکی و هیدرومتوالورژیکی، فلز موردنظر استخراج می‌شود [۲].

در روش‌های پیرومتوالورژیکی از دمایهای بالا و عملیات کوره‌ای برای جداسازی فلز استفاده می‌شود. مواد باطله موجود در کنسانتره عموماً به صورت سرباره جمع‌آوری و دور ریخته می‌شود. در استخراج هیدرومتوالورژیکی، از حل سازی سنگ معدن در یک حلال آمیز استفاده می‌شود. عموماً در این روش فلز در حلال حل شده و مابقی به صورت باطله و نامحلول باقی می‌ماند.

یکی از راه‌های اتلاف مس در حین فرایند تولید این فلز، اتلاف از طریق سرباره کوره ریورب می‌باشد که حدود ۱ تا ۲ درصد کل مس تولید شده به وسیله کوره ذوب را دربر می‌گیرد. به عنوان مثال در فرایند تولید مات مس در کوره ریورب مجتمع مس سرچشم، روزانه حدود هزار تن سرباره تولید می‌شود و بدون هیچ استفاده‌ای دور ریخته می‌شود. این سرباره حاوی حدود یک درصد مس می‌باشد و با توجه به ارزش بالای اقتصادی این فلز، بازیابی مس موجود در سرباره ضروری به نظر می‌رسد [۳].

در این پژوهش میزان بازیابی مس موجود در سرباره کوره ریورب مجتمع مس سرچشم با استفاده از حل کردن سرباره در اسید سولفوریک، مورد بررسی فرار گرفت و تاثیر پارامترهای

مختلف نظیر اندازه دانه، غلظت اسید، دما، زمان، سرعت همزدن و میزان اسید مصرفی ارزیابی شد.

مبانی نظری سرباره‌ها و حل کردن کانی‌های حاوی مس در فصل دوم با عنوان مروری بر منابع علمی آورده شده است و در فصل سوم با ذکر مواد و تجهیزات مصرفی، روش انجام آزمایشات ذکر شده است. در فصل چهارم نتایج به دست آمده در این تحقیق ارایه شده و در فصل پنجم این نتایج، مورد بررسی و تحلیل قرار گرفته است و در فصل‌های شش، هفت و هشت، به ترتیب نتیجه گیری، پیوست‌ها و مراجع ذکر شده است.

فصل دویم

نحوی پر منابع

۱-۲- مروری بر فرایندهای استخراج فلزات

فرایندهای استخراج فلز برای بازیابی و تولید فلزات تصفیه شده و دارای خلوص بالا، از سنگ معدن و کنسانتره توسعه یافته‌اند. فلزات در طبیعت به صورت ترکیب یافت می‌شوند. این فلزات به صورت کمپلکس‌های پیچیده سولفیدی، اکسیدی، کربناتی و سبلیکاتی وجود دارند. ممکن است بتوان سنگ معدنی یافت که دارای خلوص و عبار بالا باشد و به فراوری اولیه چندان نیاز نداشته باشد، ولی معمولاً سنگ‌های معدنی دارای عبار پایین هستند و آن‌ها را باید توسط فرایندهای پر عبار کردن، به صورت کنسانتره درآورد. این مراحل پر عبار کردن عموماً شامل خرد کردن - آسیا کردن سنگ معدن تا اندازه‌های کوچک - می‌شود. این عمل به منظور آزاد کردن کریستال‌های کانه از زمینه سنگ‌های باطله انجام می‌گیرد. در این مرحله جمع آوری کانه به روش‌های مختلف انجام می‌گیرد. روش‌های جمع آوری عبارتند از: استفاده از نیروی ثقلی ویژه، نفوذ پذیری مغناطیسی و فلوتاسیون. بخشی از سنگ معدن به عنوان ماده‌ای بی ارزش دور ریخته می‌شود و از مابقی به صورت کنسانتره با استفاده از روش‌های پیرومتوالورژیکی و هیدرومتوالورژیکی، فلز موردنظر استخراج می‌شود [۴].

در روش‌های پیرومتوالورژیکی از دماهای بالا و عملیات کوره‌ای برای جداسازی فلز استفاده می‌شود. مواد باطله موجود در کنسانتره عموماً به صورت سرباره جمع آوری و دور ریخته می‌شود. در استخراج هیدرومتوالورژیکی، از حل سازی سنگ معدن در یک حلال آبی استفاده می‌شود. عموماً در این روش فلز در حلال حل شده و مابقی به صورت باطله و نامحلول باقی می‌ماند [۵].

ممولاً ترکیب حاوی فلز طی یک مرحله استخراج نمی‌شود و برخی فرایندهای شبیه‌ای برای آماده سازی و استخراج آن لازم است. به عنوان مثال سولفیدها را به اکسید، سولفات و کلرید، اکسیدها را به سولفات و کلرید و کربنات‌ها را به اکسید تبدیل می‌کنند [۶].

اگر فلزات را به دو دسته فلزات فعال و فلزات غیرفعال تقسیم کنیم، مس، نیکل، سرب، کبالت، طلا و نقره در دسته اول و آلمینیوم، تیتانیوم، منیزیم، روی و اورانیوم در دسته دوم قرار می‌گیرند. با توجه به دسته بندی مذکور، روش‌های استخراج این فلزات نیز شامل مراحل گوناگونی می‌شود [۵].

برای فلزات فعال این مراحل عبارتند از:

- روش پیرومتوالورژی: تشویه، ذوب، تبدیل کردن^۱ و تصفیه
 - روش هیدرومتوالورژی: تشویه، حل‌سازی، رسوب دهن و تصفیه
- و برای فلزات فعال، این مراحل عبارتند از:
- روش پیرومتوالورژی: تشویه، ذوب و تصفیه
 - روش هیدرومتوالورژی: تشویه، حل‌سازی، تغییض، تخلیص، رسوب دهن و تصفیه

۱-۲-۱- فرایندهای پیرومتوالورژی [۵]

فرایندهای پیرومتوالورژی قدیمی ترین و معمول ترین روش‌های استخراج و تخلیص فلزات می‌باشند. عموماً فلزات مس، نیکل، سرب و کبالت از این طریق استخراج می‌شوند و در فرایند استخراج آنها از فرایندهای تشویه، ذوب، تبدیل، تصفیه شعله‌ای، تصفیه الکترولیتی و تصفیه شیمیایی استفاده می‌شود.

عمل تشویه برای تغییر ترکیبات فلزی به کار می‌رود. در این فرایند ترکیبات به نحوی تغییر می‌کنند که امکان فراوری آنها ساده‌تر گردد. در برخی موارد می‌توان ناخالصی‌های فرار را طی مرحله تشویه و با فراوری جریان گاز خروجی، از ماده جدا کرد. در فرایندهای ذوب و تبدیل، با ذوب ترکیبات فلزی و تشکیل ترکیبات جدید در حالت مایع، می‌توان سرباره‌ای فاقد از فلز مورد نظر به دست آورد و آن را از فاز غنی از فلز موردنظر جدا کرد. سپس با استفاده از فرایندهای تصفیه شعله‌ای، الکترولیتی و یا شیمیایی، فلز تصفیه می‌شود.

۱-۲-۲- فرایندهای هیدرومتوالورژی [۶]

فرآوری به روش‌های هیدرومتوالورژی تقریباً جدید است و احتمالاً جایگزینی برای فرایندهای پیرومتوالورژی در استخراج و بازیابی فلزات خواهد بود. این توسعه فزاینده هیدرومتوالورژی به میزان زیادی تحت تاثیر این حقیقت است که با توجه به تقاضای رو به رشد برای به کار گیری فلزات، نیاز به استفاده از منابع دیگری احساس می‌شود. به دلایل تخصصی و اقتصادی، برخی از این منابع به روش‌های هیدرومتوالورژی استخراج می‌شوند.

هموگ فلزات مس، نیکل، کبالت، طلا و نقره را می‌توان با روش‌های هیدرومتوالورژی بازیابی کرد. با توجه به تفاوت‌های اجرایی هر فرایند، فرآوری عمومی ابتدا با تشویه و به منظور تبدیل ترکیبات فلزی موجود به ترکیبات فلزی محلول در حلال مورد استفاده، انجام می‌شود. سپس ماده تشویه شده در یک حلال، حل شده و پسماند غیر محلول از آن جدا می‌شود. این عمل به وسیله تهنشین کردن^۱ و یا فیلتر کردن انجام می‌گیرد. در صورت لزوم محلول تصفیه می‌شود و بعد از آن به روش‌های شیمیایی و یا الکترولیتی، فلز و یا نمک‌های فلزی موجود در محلول رسوب داده می‌شوند.

۱-۲-۱- فرایند حل کردن^۲

فرایندهای حل کردن در در هیدرومتوالورژی به عنوان انحلال شیمیایی ماده اولیه و تولید یک محلول حاوی فلز و یا فلزات موردنظر می‌باشد. حل کردن فلز موردنظر به صورت انتخابی انجام می‌گیرد و در نتیجه فلز موردنظر از توده ماده خارج شده و مابقی ماده به صورت غیر محلول بر جای می‌ماند. دلایلی نظیر سهولت بازیابی فلز، قابلیت بازیابی کانه‌های کم عبار و کم هزینه بودن فرایند، استفاده از فرایند حل کردن را موجه می‌سازد.

¹ - decanting

² - leaching

برای حل کردن سنگ معدن و یا کنسانتره، از حلال‌هایی نظیر اسیدها، بازها و محلول‌های حاوی نمک‌ها استفاده می‌شود. حلال مورد استفاده باید دارای ویژگی‌هایی نظیر ارزان قیمت بودن، قابلیت انحلال انتخابی، سهولت کاربرد و استفاده، قابل بازیافت و میزان خوردگی پایین تجهیزات باشد. با توجه به این ویژگی‌ها، اسید سولفوریک بهترین گزینه است و تنها عبء عمدی آن نداشتن قابلیت حل کردن انتخابی است. اسید نیتریک و اسید کلریدریک نیز جزو حلال‌هایی مناسب به شمار می‌آیند، ولی این حلال‌ها علاوه بر هزینه و سرعت خوردگی تجهیزات بالا، قابلیت انحلال انتخابی نیز ندارند. در کاربردهای ویژه از آمونیاک استفاده می‌شود. این حلال قابلیت انحلال انتخابی نیکل، مس و کبالت را دارد و باعث خوردگی تجهیزات فولادی نیز نمی‌شود، ولی هزینه بازیافت و تولید مجدد آن بسیار بالاست. به عنوان مثال در سنگ معدن مس وقتی آب حاوی اکسیژن با سنگ‌های حاوی پیریت (FeS_2) تماس می‌یابد، سولفات‌فرو و اسید سولفوریک طی واکنش زیر تولید می‌شوند [۵]:



در حضور اکسیژن اضافی، سولفات‌فرو به آرامی اکسید شده و به سولفات‌فریک ($\text{Fe}_2(\text{SO}_4)_3$) تبدیل می‌شود. سولفات‌فریک بخشی از سولفیدهای مس را به سولفات‌مس محلول تبدیل می‌کند.



محلول‌های حاوی اسید قادر به انحلال اکثر کانه‌های اکسیدی هستند ولی برای کانه‌های حاوی پیریت باید از مقادیر بیشتری اسید استفاده شود. تقریباً کلیه ترکیبات اکسیدی و سولفیدی در اسید سولفوریک رقیق و سولفات‌فریک حل می‌شوند، ولی در برخی حالات سرعت انحلال بسیار پایین است، به طوری که حتی به ۱ درصد انحلال در ماه هم می‌رسد. افزودن کلر و یا هیپوکلریت سدیم به محلول اسید سولفوریک سرعت انحلال را به میزان زیادی افزایش می‌دهد.

بعضی اوقات در فرایندهای هیدرومالتورژی از گازهای حل شده در حلالها نیز استفاده می‌شود. اکسیژن مثال بارزی از این گازها است. میزان انحلال اکسیژن در محلول، به فشار اکسیژن در تعادل با محلول بستگی دارد و با افزودن فشار اکسیژن، میزان انحلال آن نیز افزایش می‌باید. حلالیت اکسیژن در دماهای بالاتر به سرعت افزایش می‌باید. البته، در این صورت باید فشار اعمالی بر سیستم افزایش باید تا از تبخیر فاز آبی جلوگیری شود. ترکیب محلول نیز در انحلال اکسیژن تاثیر بسزایی دارد. در محلول‌های حاوی غلظت‌های بالای نمک‌های حل شده حلالیت اکسیژن با کاهش مواجه می‌شود. اکسیژن حل شده، فلز موردنظر و هرگونه آهن فلزی موجود در محلول را اکسید می‌کند. اکسید فلز موردنظر عموماً از اکسید آهن فعالتر بوده و لذا سریعتر با حل و اکتشاف می‌دهد [۵].

حل‌سازی انتخابی از آن رو مطلوب است که فقط فلز موردنظر وارد محلول می‌شود و بخش نامطلوب در پسماند حل‌سازی می‌ماند. این اختلاف حلالیت را به چندین روش می‌توان افزایش داد. یکی از راه‌ها انتخاب حل‌لی است که فلز موردنظر را با سرعت بیشتری در خود حل می‌کند. این شرایط را می‌توان با برخی عملیات اولیه نظیر تبدیل سولفیدها به سولفات با استفاده از عمل تشویه اکسیدان و یا احیای اکسیدها به فلز با استفاده از عمل تشویه احیایی، ابعاد کرد. غلظت حل‌لی انتخاب شده نیز در قابلیت حل کردن انتخابی مؤثر است و دما نیز همین تاثیر را دارد.

از لحاظ اقتصادی، شرایط حل‌سازی باید به گونه‌ای باشد که فلز موردنظر به سرعت حل شود. در چنین شرایطی عواملی نظیر غلظت محلول، دما و میزان همزدن جز متغیرهای کنترل‌کننده اصلی بوده و در سرعت حل‌سازی مؤثر هستند. از طرفی، سنگ معدن را بایست به اندازه کافی خرد کرد که میزان سطح تماس آن با حل‌لی به اندازه کافی بزرگ باشد. در صورت

استفاده از یک فرایند حل کردن اسیدی، سنگ معدن باید فاقد گانگ^۱ مصرف کننده اسید و عناصر اولیه باشد.

۲-۱-۲-۲- انواع حل کردن [۱۵]

در فرایندهای حل سازی از مواد مختلف می‌توان به عنوان ماده اولیه استفاده کرد. این مواد عبارتند از: سنگ‌های معدنی پر عیار کنسانتره، مواد کلسینه شده و مات. حل سازی سنگ معدن کم عیار را باید در مقیاس بزرگ انجام داد تا فرایند صرف اقتصادی داشته باشد. در چنین شرایطی به مقادیر زیادی حلال نیاز است و لذا حلال باید ارزان قیمت باشد. در سایر موارد، میزان حل معدن را در مخازن کوچکتر قرار داد و عمل حل سازی را انجام داد. در این مورد، میزان حل معدن مورد استفاده چندان زیاد نیست و قیمت حل معدن عامل تعیین کننده نمی‌باشد.

اندازه ذرات سنگ معدن تاثیر به سزاگی در سرعت حل شدن فلز موردنظر دارد. به عنوان مثال اگر سنگ معدن حاوی سولفید مس را تا مش ۶۰- خرد کنیم، برای حل کردن به شش ساعت زمان نیاز داریم. در صورتی که اندازه ذرات این سنگ $1/4$ اینچ (725 میلی‌متر) باشد، پنج روز طول می‌کشد تا کل مس داخل سنگ معدن حل شود. حال اگر اندازه ذرات سنگ شش اینچ (15 میلی‌متر) باشد، به 5 سال زمان نیاز داریم تا سنگ حل شود. با کمتر شدن مقدار فلز در داخل سنگ معدن، سرعت حل شدن کاهش می‌یابد. فرایندهای حل سازی عبارتند از: حل کردن زیرزمینی^۲، حل کردن تووده‌ای^۳، حل کردن در محفظه^۴ و حل کردن تحت فشار^۵. حل کردن در محفظه نیز به دو روش حل کردن نفوذی^۶ و حل کردن با استفاده از همزدن انجام می‌گیرد.

¹ - tailing

² - underground or in-place leaching

³ - heap or dump leaching

⁴ - vat or tank leaching

⁵ - pressure leaching

⁶ - percolation or sand leaching

۲-۲- مروری بر فرایند تولید مس به روش هیدرومالتالورژی

۲-۲-۱- بررسی ترکیبات مس

نحویاً ۱/۲۵ میلیون تن مس در هر سال با استفاده از روش‌های هیدرومالتالورژیکی تولید می‌شود. میزان تولید مس به این روش در حال افزایش است، به طوری که در بعضی معادن استفاده از روش‌های حل‌سازی روش اصلی تولید مس به شمار می‌آید. برای حل کردن مس معمولاً از محلول‌های حاوی اسید‌سولفوریک و آب استفاده می‌شود [۷].

سنگ معدن‌های حاوی مس را به دو دسته سنگ‌های سولفیدی و سنگ‌های اکسیدی تقسیم می‌کنند. سنگ‌های اکسیدی بیشتر در قشر سطحی زمین وجود دارند. تغییرات جوی و فعل و انفعالاتی که در طبیعت صورت می‌گیرد، باعث می‌شود که سنگ‌های سولفیدی سطح به سنگ‌های اکسیدی تبدیل شوند. سنگ‌های اکسیدی بیشتر از کربنات‌های طبیعی، اکسیدها، سولفات‌ها و گاه هیدروکسی سپلیکات‌ها تشکیل شده‌اند. بخش اعظم سنگ‌های مس را سنگ‌های سولفیدی تشکیل می‌دهند. این سنگ‌ها برخلاف سنگ‌های اکسیدی در اعمای بیشتری از سطح زمین قرار دارند. در جدول (۲-۱) کلیه کانه‌های مس دیده می‌شوند.

کلیه کانه‌های مس را می‌توان حل نمود ولی عمدتاً از کانه‌های ثانویه استفاده می‌شود. کانه‌های اولیه مس نظیر کالکوپریت (CuFeS_2) به کندی حل می‌شوند. کانه‌های اولیه مس عبارتند از: سولفیدهای اولیه مس نظیر کالکوپریت و بورنیت. کانه‌های ثانویه مس نیز شامل کربنات‌ها، اکسیدها، هیدروکسی سپلیکات‌ها، سولفات‌ها، مس فلزی و سولفیدهای ثانویه نظیر کالکوسیت و کوولبیت می‌شوند [۲].

جدول (۱-۲): معرفی کانه‌های مس [۲]

نوع کانه	نام کانه	فرمول شیمیایی	مقدار مس (%)	شبکه کربستالی	چگالی (g/cm^3)
کانه‌های اکسیدی	کوبیریت	Cu_2O	۸۸/۸	مکعبی	۷/۱۰
	تنوریت	CuO	۷۹/۹	مونوکلینیک	۷/۴
	آزوریت	$\text{Cu}_3(\text{OH})_2(\text{CO}_3)_2$ یا $2\text{CuCO}_3 \cdot \text{Cu}(\text{OH})_2$	۵۵/۳	مونوکلینیک	۳/۸
	مالاکیت	$\text{CuCO}_3 \cdot \text{Cu}(\text{OH})_2$	۵۷/۰	مونوکلینیک	۴/۰
	بروکانیت	$(\text{CuCO}_4)_3 \cdot \text{Cu}(\text{OH})_2$	۵۶/۲	مونوکلینیک	۴/۰
	کالکاتیت	$\text{CuSO}_4 \cdot 5\text{H}_2\text{O}$	۲۵/۰	تریکلینیک	۲/۳ تا ۲/۲
کانه‌های سولفیدی	کراپزوکول	$\text{CuSiO}_3 \cdot 2\text{H}_2\text{O}$	۳۶ تا ۳۰	آمورف	۱/۹ تا ۲/۳
	کالکوسیت	Cu_2S	۷۹/۹	اورتورومیک	۵/۵ تا ۸/۵
	کوولیت	CuS	۶۷/۵	هگزاگونال	۴/۷
	کالکوبیریت	CuFeS_2	۳۶	تراگونال	۴/۱ تا ۴/۳
	بورنیت	Cu_5FeS_4	۶۹/۷ تا ۵۵/۰	تراگونال	۴/۹ تا ۵/۳
	انارژیت	Cu_3AsS_4	۴/۴۸	اورتورومیک	۴/۴ تا ۴/۵

همانطور که گفته شد، مس عمدتاً به صورت سولفیدهای آهن- مس در پوسته زمین وجود دارد. این سولفیدها عبارتند از: کالکوبیریت، بورنیت و کالکوسیت. معادن مس معمولاً حاوی ۰/۵ تا ۲ درصد مس هستند.

نفیریباً ۹۰ درصد مس جهان از سنگ‌های سولفیدی استخراج می‌شود. کانه‌های سولفیدی آهن- مس برای استخراج به روش‌های هیدرومالتالورژی مناسب نیستند و عمدتاً از روش‌های پیرومالتالورژی برای استخراج مس موجود در این کانه‌ها استفاده می‌شود. در روش پیرومالتالورژی ابتدا به وسیله فلوتاسیون کانه حاوی مس را از مابقی سنگ معدن جدا می‌کنند.

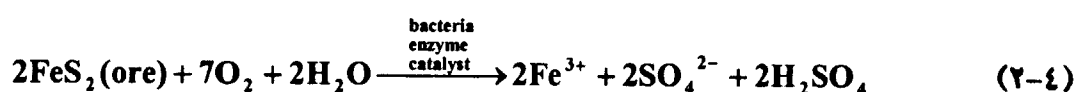
پس از این مرحله کنسانتره به دست آمده، تحت عملیات گدازش^۱ فرار گرفته و مات مس تولید می‌شود. در مرحله تبدیل مات مذاب به مس تاول دار مذاب تبدیل می‌گردد. در نهایت مس تاول دار توسط روش‌های تصفیه الکترونیکی و یا شعله‌ای تصفیه می‌شود.

۲-۲-۲- مبانی شیمیایی حل کردن [۱]

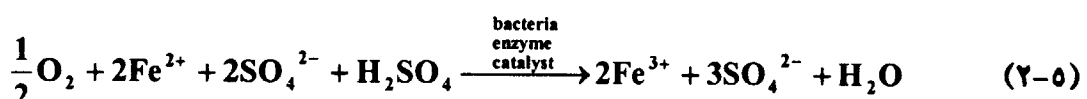
کانه‌های غیر سولفیدی مس به طور مستقیم در محلول‌های حاوی H_2O - H_2SO_4 حل می‌شوند. به عنوان مثال:



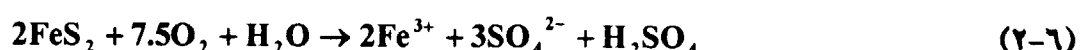
برای حل‌سازی کانه‌های سولفیدی علاوه بر H_2SO_4 به یک ماده اکسید کننده هم نیاز داریم. مهمترین ماده اکسید کننده در این زمینه Fe^{3+} است. در محیط‌های طبیعی Fe^{3+} در نتیجه فعل و انفعال باکتری‌ها وجود اکسیژن هوا طبق واکنش‌های زیر تولید می‌شود.



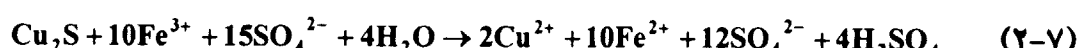
و:



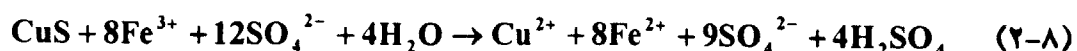
و در مجموع دو واکنش خواهیم داشت:



Fe^{3+} تولید شده از این واکنش‌ها، سولفیدهای مس ثانویه را طبق واکنش کلی زیر حل می‌کند.



و:



^۱ - smelting

همچنین با کانه‌های حاوی آهن نیز وارد واکنش می‌شود.



واکنش Fe^{3+} و H_2O با کانه‌های سولفیدی منجر به تولید Fe^{2+} و اسید سولفوریک

می‌شوند. یون‌های Fe^{2+} مجدداً طبق واکنش (۲-۵) اکسید شده و این مراحل به طور چرخه‌ای

تکرار می‌شود. اسید سولفوریک تولید شده در واکنش‌های (۲-۶)، (۲-۷)، (۲-۸) و (۲-۹)، در

حل‌سازی کانه‌های اکسیدی و واکنش (۲-۵) مصرف می‌شود. وجود پیریت در سنگ معدن عامل

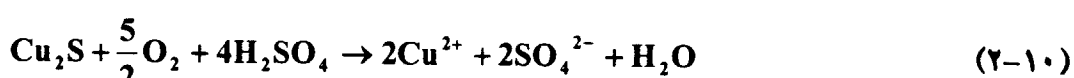
مؤثری در تولید H_2SO_4 مورد نیاز برای حل‌سازی است [۸].

۲-۲-۳- اکسیداسیون مستقیم توسط O_2

برای حل‌سازی کانه‌های اکسیدی باید آنها را اکسید کرد. این کانی‌ها را می‌توان به‌طور

غیرمستقیم طی واکنش‌های (۲-۷)، (۲-۸) و (۲-۹) اکسید کرد و یا برای اکسید کردن آنها

به‌طور مستقیم از واکنش زیر استفاده کرد.



حلالیت اکسیژن در محلول حل‌سازی در حدود 0.005 kgm^{-3} است و این مقدار بسیار

کمتر از میزان $0.1-0.2 \text{ kgm}^{-3}$ موجود در محلول حل‌سازی است. بنابراین بیشتر به‌نظر

می‌رسد که سولفیدها توسط Fe^{3+} حل‌می‌شوند و میزان حل‌سازی مستقیم آنها توسط اکسیژن

کمتر است. اکسید شدن Fe^{2+} به Fe^{3+} در بخشی از محلول اتفاق می‌افتد که در مجاورت هوا

قرار دارد.

۴-۲-۲- سرعت حل‌سازی سولفیدها

سرعت حل‌سازی توسط سیستم اسید سولفوریک / سولفات فریک / هوا را می‌توان

به‌ماین ترتیب بیان کرد:

- کربنات‌ها، سولفات‌ها، تنوریت و کرایزوکول طی چند ساعت در محیط‌های دارای

هزدنه حل‌می‌شوند.

- کوپریت، کلکوسیت، مس طبیعی، بورنیت و کوولبیت پس از چند ماه در فرایند

حل‌سازی توده‌ای حل‌می‌شوند.

- کالکوپریت پس از چند سال در فرایند حل‌سازی توده‌ای حل‌می‌شود.

کربنات‌ها، سولفات‌ها و برخی اکسیدها به طور کامل در اسید سولفوریک

رقیق حل‌می‌شوند. ولی در فرایند حل‌سازی سولفیدها، ترکیبات مبانی و گوگرد عنصری تولید

می‌شوند. این ترکیبات از رسیدن Fe^{3+} یا O_2 به سطح واکنش نداده جلوگیری کرده و لذا با

پیشرفت فرایند، سرعت انجام واکنش کند می‌شود. در حل‌سازی کالکوپریت، Fe^{3+} قبل از Cu^{2+}

حل‌می‌شود و یک لایه غیر فعال CuS_2 باقی‌ماند. از طرفی پس از حل شدن Cu^{2+} موجود در

CuS_2 ، یک لایه گوگرد باقی‌ماند [۲۰ و ۲۱].

۴-۲-۲- حل‌سازی مستقیم کانه‌های سولفیدی مس [۱۹]

کانه‌های سولفیدی مس را می‌توان در اسید سولفوریک غلیظ حل کرد. در این فرایند

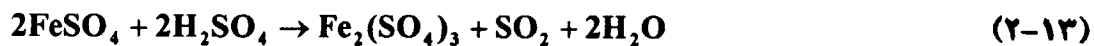
دو مرحله‌ای، ابتدا برای تسريع انجام واکنش‌های حل‌سازی، کسانتره مورد نظر در دمای ۴۹۳ نا

۵۰۳ درجه کلوین با اسید سولفوریک پخته می‌شود. در این مرحله سولفیدها به سولفات تبدیل

می‌شوند و در مرحله بعد سولفات مس حل‌می‌شود. واکنش‌های زیر در این فرایندها

انجام می‌شوند:





مشکل اصلی این فرایندها وارد شدن مقادیر زیادی آهن به محلول حاصل از حل سازی است. این آهن باید قبیل از بازیابی نهایی مس، رسوب داده شود. به این منظور یک روش جداسازی انتخابی توسط شرکت معدنی شریت گورودن و صنایع انحصاری کومبنکو بسط داده است. به این فرایند، فرایند شرکت کومبنکو گفته می‌شود. در صورت استفاده از کنسانترهای حاوی مس کمتر، این فرایند بازدهی بیشتری خواهد داشت. در این فرایند دو مرحله‌ای، ابتدا بخشی از گوگرد طی یک انحلال جزئی در دمای ۹۲۳ تا ۱۰۲۳ درجه کلوین از کانه جدا می‌شود.



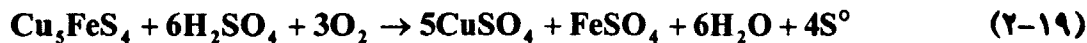
و سپس کانه توسط هیدروژن احبا می‌شود.



بخش اعظم آهن به تربولیت (FeS) تبدیل شده و میزان کمی از آن در داخل کانه حاوی مس به صورت بورنیت (Cu₅FeS₄) باقی می‌ماند. سپس با حل کردن در اسید، تربولیت حل شده و از بورنیت جدا می‌شود:



آهن حل شده به شکل جاروسبیت آمونیوم در یک انوکلاو با دمای ۴۵۳ درجه کلوین و فشار کل ۲۵۰۰ کیلو پاسکال رسوب داده می‌شود. ماده حاوی بورنیت طی یک فرایند حل سازی اکسیدان در دمای ۳۷۳ درجه کلوین و فشار اکسیژن ۱۰۰۰ کیلو پاسکال حل می‌شود.



محلول حاصل از حل سازی، حاوی سولفات مس و مقدار کمی سولفات آهن می‌باشد، لذا تحت فرایند تصفیه فرار می‌گیرد. فرایند تصفیه یک فرایند هیدرولیز اکسیدان در دمای بالا است و آهن را به صورت هماتیت (Fe_2O_3) جدا می‌کند.

۲-۲-۵ - حلال‌های مورد استفاده در حل کردن کانه‌های مس [۱]

به طور کلی حلال‌های مورد استفاده در حل کردن کانه‌های مس را به شرح زیر می‌توان تقسیم کرد [۱۰]:

الف - حلال‌های اسیدی مانند اسید سولفوریک و اسید کلریدریک

ب - حلال‌های قلایی مانند آمونیاک و املاح آن

ج - حلال‌های خشی مانند آب

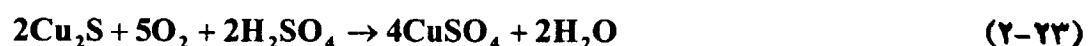
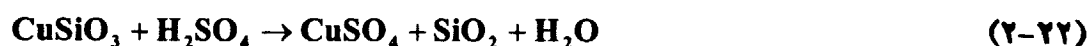
د - حلال‌های ملح دار مانند سولفات فریک، کلرورسدیم، کلروفیریک، سیانور سدیم، کربنات سدیم و تیوسولفات سدیم

ه - گازهای حل شده در محلول مانند آمونیاک، کلر، انیدریک سولفورو و اکسیژن

۲-۲-۵-۱ - حلال‌های اسیدی

اسید سولفوریک به علت ارزان قیمت بودن متداول‌ترین حلال برای حل کردن سنگ‌های معدنی مس می‌باشد. این اسید در غلظت‌های کم کربنات مس و اکسیدهای مس را در خود حل می‌کند و کم و بیش روی سیلیکات‌های مس اثر کرده ولی در این غلظت‌ها بر سولفورهای مس بی اثر می‌باشد. در روش‌هایی که بازیابی اسید امکان پذیر است می‌توان از غلظت‌های بالای اسید نیز استفاده کرد. هر قدر اسید به کار بردشده شده رقیق تر باشد آهن و سایر ناخالصی‌ها کمتر حل می‌شوند، ولی در عین حال زمان حل شدن نیز طولانی‌تر خواهد بود.

واکنش‌های اصلی حل کردن توسط اسید عبارتند از:

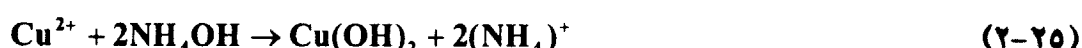


اسید کلریدریک با سرعت بیشتری املاح مس را در خود حل می‌کند. حسن بزرگ این اسید، حل کردن سولفورهای مس می‌باشد. اسید کلریدریک ترکیبات مس را بسیار بهتر از اسید سولفوریک حل می‌کند، ولی میزان حل شدن ناخالصی‌ها به خصوص آهن نیز در آن شدیدتر است.

اکثرًا این اسید را همراه با کلوروفریک بکار می‌برند. اسید کلریدریک اسیدی نسبتاً گران قیمت بوده و در روش‌هایی که بازیابی اسید کم و با اشکال مواجه است، کمتر به کار می‌رود. واکنش‌های این اسید مانند اسید سولفوریک می‌باشد [۱۱].

۲-۲-۵-۲ - حل‌های قلیایی

آمونیاک و نمک‌های آن به خصوص کربنات آمونیم و کربنات آمونیاکی مس، به آسانی اکسیدهای مس و کم و بیش سولفورهای آنرا در خود حل می‌کند.

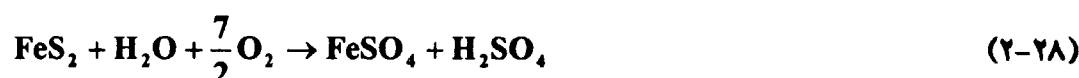


با گرم کردن محلول توسط بخار آب در مرحله اول آمونیاک NH_3 و سپس CO_2 منتصاد شده و می‌توان آن‌ها را بازیابی کرد. پس از خروج آمونیاک و گاز کربنیک، مس

به صورت اکسید رسوب می‌کند. تجربه نشان می‌دهد که آمونیاک و املاح آن فقط مس را حل کرده و بر سایر ترکیبات موجود در سنگ معدن بدون اثر است. از آمونیاک و املاح آن به خصوص وقتی که گانگ سنگ معدن آهکی باشد، به خوبی می‌توان استفاده کرد زیرا این حلال کوچکترین اثری روی آهک ندارد. آمونیاک و املاح آن جزو حلال‌های گران قیمت بوده و در مواقعی از آن‌ها استفاده می‌کنند که بازیابی حلال کامل بوده و گانگ سنگ معدن آهکی باشد.

۲-۲-۵-۳ - حلال‌های ختنی

آب می‌تواند سولفات‌ها یا کلرور مس را مستقیماً در خود حل کند. از طرف دیگر آب به مرور زمان روی پیریت اثر کرده و در مجاورت هوا تولید اسید سولفوریک می‌کند.

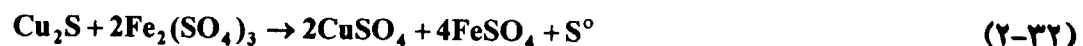
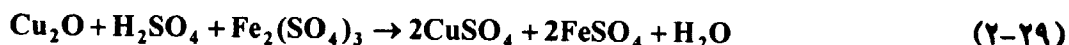


اسید حاصل هم روی اکسیدها و کربنات مس اثر کرده و آن‌ها را تبدیل به سولفات می‌کند و با آنکه مجدداً در مجاورت هوا باعث تشکیل سولفات فریک می‌شود که قادر به حل کردن املاح مس و تبدیل آن‌ها به سولفات می‌باشد. از این روش برای استخراج مس از سنگ‌های باطله معادن مس که حاوی مقدار کمی مس است، استفاده می‌کنند. برای این منظور بر روی توده‌های سنگ باطله آب پاشیده و از کف آب‌های پاشیده شده را جمع آوری و دو مرتبه بر روی توده‌های سنگ می‌پاشند و آنقدر این عمل را تکرار می‌کنند تا در اثر رطوبت و مجاورت با هوا قسمتی از سنگ‌های سولفوره اکسید شده، تولید اسید کرده و در نتیجه مقداری از مس به صورت محلول در آید و یا آنکه توغل‌ها و چاه‌های استخراجی متوجه را پر از آب کرده و می‌گذارند مدت زمان زیادی باقی بماند (چند سال) و سپس آن را خارج و مس محلول را جدامی کنند. تجربه نشان می‌دهد زمان لازم بسیار طولانی است برای آنکه ۵۰ درصد مس موجود در سنگ در آب حل شود، زمان لازم در حدود ۲ سال خواهد بود و اگر بخواهیم درصد حل شدن

سنس را تا ۱۰ درصد بالا ببریم، زمان لازم در حدود ۶ تا ۸ سال خواهد بود. وجود میکرووارگانیسم در این مورد می‌تواند بسیار مؤثر بوده و زمان حل شدن را به چند ماه تقلیل دهد.

۴-۲-۵-۲- حلال‌های ملح دار

سولفات فریک معمول ترین و متداول‌ترین حلال ملح دار است. محلول اسیدی سولفات فریک به آسانی کربنات و اکسیدهای مس را حل کرده و روی سولفورهای معدنی مس نیز اثر می‌کند و عملاً قسمت عمدۀ آنرا نیز در خود حل می‌کند. این حلal در شرایط طبیعی از اکسایش سولفورهای فلزی و بخصوص پیریت تشکیل می‌شود. ولی بر اساس نتایج تحقیقات شلی^۱، [۱۱] برای بازیابی مس موجود در سرباره کوره ریبورب (با ۵۵٪ درصد مس)، حتی در صورت استفاده از ۱۶ برابر استوکیومتری سولفات فریک، فقط ۵۰٪ درصد از مس موجود حل می‌شود. واکنش‌های این حلal را می‌توان به صورت زیر خلاصه کرد:

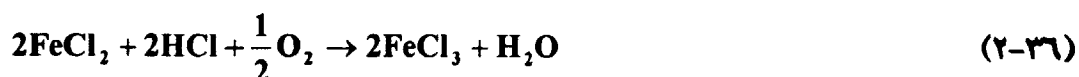


محلول حاصل از حل کردن نمک‌های مس توسط سولفات فریک حاوی مقدار زیادی سولفات آهن می‌باشد و در نتیجه الکترولیز محلول بدون تصفیه قبلی آن و جدا کردن املال آهن به علت مصرف زیاد انرژی، مفروض به صرفه نخواهد بود.

محلول اسیدی کلوروفریک حلal فوی تری نسبت به سولفات فریک می‌باشد.

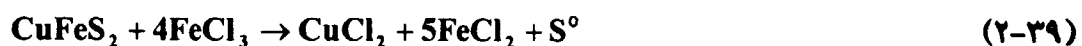


^۱ - Shelly



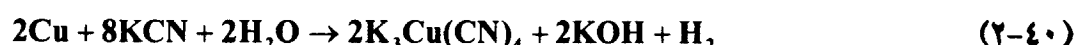
اساس واکنش‌ها یکسان بوده و بر احیاء کلوروفریک و اکسید شدن مس فرار دارد.

بر اساس تحقیقات آنادا و همکارانش [۱۱]، می‌توان از کلوروفریک برای استخراج مس سرباره‌های کنورتور و کوره ریورب نیز استفاده کرد. در این مورد واکنش‌های زیر انجام می‌شوند:



از آنجاکه محلول اسیدی کلوروفریک دارای خاصیت خورندگی بیشتری است، لذا مصرف این حلال، حتی با وجود خواص بهتر حل کردن ترکیبات مس، محدودیت بیشتری را دارا می‌باشد. محلول کلوروفریک نیز روی مس اثر کرده و آن را به صورت CuCl در می‌آورد. CuCl در آب نمک حل می‌شود، لذا کلوروفریک همراه با نمک طعام به کاربرده می‌شود. این اصلاح دارای خاصیت اکسید کنندگی شدید بوده و باعث اکسیداسیون پیریت و کالکوپیریت می‌شوند.

سیانور سدیم همانند اکثر سیانورها دارای خاصیت حل کردن مس و ترکیبات آن بوده و ترکیبات کمپلکس تولید می‌کنند. این ترکیبات در آب محلول بوده و جدا می‌شوند.



کاربرد سیانور به علت خاصیت فوق العاده سمی آن بسیار محدود و فقط در مواردی که در سنگ‌های معدنی مقادیری طلا و نقره وجود داشته باشد، می‌تواند توجه گردد.

۲-۵-۵- گازهای حل شده در محلول

کاربرد گازهای محلول در آب به عنوان حلال، باعث تشدید خاصیت حل شوندگی می‌شود. به خصوص در مورد کلر، به علت داشتن خاصیت شدید اکسیدکنندگی باعث می‌شود که سولفورهای مس بهتر در حلال حل شوند.

گاز آمونیاک مانند نمک‌های آمونیاک و کربنات آن عمل می‌کند. گاز SO_2 نیز مانند اسید عمل کرده و ترکیبات مس را حل می‌کند. حسن بزرگ گاز SO_2 محلول در آب آن است که اثر آن روی ترکیبات آهن به مراتب کمتر از اثر اسید سولفوریک می‌باشد. وجود اکسیژن محلول در آب باعث تسریع اکسایش سولفورهای فلزی می‌گردد [۱].

۲-۶- عوامل مؤثر در حل کردن

به طوریکه که گفته شد منظور از حل کردن عبارتست از حل ترکیبات مس دار در حلال معین. انجام این واکنش به عوامل بسیاری بستگی دارد که عبارتند از: خواص ذاتی کانه مس، دانه‌بندی سنگ، خلفت حلال، درجه حرارت، ترکیب مواد باطله موجود در سنگ معدن و زمان. میزان و نحوه تاثیر هر یک از این متغیرها در زیر توضیح داده شده است.

۲-۶-۱- خواص ذاتی کانه مس

شکل و ترکیبات کانی در حل شدن بسیار مؤثر می‌باشد. عملاً اکسیدهای مس در تمامی حلال‌ها به آسانی حل می‌شوند در حالبکه ترکیبات سولفیدی مس به آسانی محلول نیستند. عملاً سولفیدهای مس برای حل شدن در باید ابتدا مورد عمل اکسایش قرار گرفته و سپس در حلal حل شوند.

۲-۶-۲ - دانه پندی سنگ

هر قدر سنگ معدن دارای ابعاد کوچکتری باشد، سطح تماس ترکیبات مس دار آن با حلal پیشتر بوده و با سرعت پیشتری در حل خواهد شد و راندمان بازیابی مس از سنگ معدن پیشتر خواهد بود [۱۲].

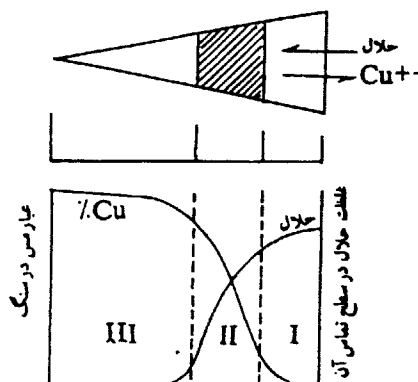
عملأً مس موجود در سطح سنگ‌ها در حلal حل می‌شود. لذا در مورد سنگ‌های درشت فقط آن قسمت از مس حل خواهد شد که حلal بتواند در تماس با آن قرار گیرد. به عبارت دیگر ضریب نفوذپذیری سنگ حامل مهمی در حل شدن خواهد بود. تجربه نشان می‌دهد که ابتدا کانی‌های مس در سطح سنگ حل شده و سپس حلal شروع به نفوذ می‌کند. سرعت نفوذ حلal در امتداد بعد سنگ به سرعت کم می‌شود. بدین ترتیب در حجم سنگ سه ناحیه کاملاً مشخص وجود خواهد داشت که عبارتند از:

۱- قسمت سطحی که عملأً تمام کانی‌های آن در مجاورت و تماس با حلal قرار گرفته و بحسب خواص ذاتی کانی حل شده اند.

۲- قسمت میانی که تماس حلal با کانه به صورت کامل نبوده و در نتیجه فقط قسمتی از مس حل شده است.

۳- قسمت درونی که حلal به آنجا نتوانسته نفوذ کند و در نتیجه کانه عملأً دست نخورده باقی‌مانده است.

شکل (۲-۱) عبار مس باقی‌مانده در سنگ و قسمت‌های سه گانه را نشان می‌دهد. به طوریکه در شکل (۲-۱) مشاهده می‌شود، به علت سطح تماس کامل حلal با کانه در قسمت I، عملأً تمامی مس حل شده و عبار مس باقی‌مانده در سنگ بسیار کم است. ابعاد نواحی I، II و III بستگی به مدت زمان حل کردن دارد و معمولاً ابعاد نواحی II و III از حدود ۱۰ میلیمتر تجاوز نمی‌کند.



شکل (۲-۱): عبار مس باقیمانده در قسمت‌های مختلف سنگ معدن

اگر سنگ‌ها به شدت نرم گشته و به صورت پودر در آیند، حلال قادر به عبور از لایه‌ای آن‌ها نبوده و باز هم مقدار حل شدن کم خواهد شد. دانه بندی سنگ معدن به روش حل کردن و عبار مس در سنگ معدن بستگی دارد. در مورد سنگ‌های کم عبار اصولاً خرد کردن سنگ مقرنون به صرفه نبوده و اکثرآ هزینه خرد کردن بیش از ارزش مس محتوی آنست. لذا در این موارد اصولاً سنگ را خرد نکرده و به همان صورت مورد عملیات قرار می‌دهند و یا در روش‌های حل کردن درجا^۱ هم چون تغییر مکان به سنگ داده نمی‌شود، لذا دانه بندی آن امکان‌پذیر نیست. فقط در مورد حل مکانیکی روی سنگ‌های پر عبار است که سنگ‌ها مورد عملیات خردابش فرار می‌گیرند و هر قدر نرمتر باشند راندمان کار بالاتر خواهد بود. البته نرمی بیش از حد خود مسائل و مشکلاتی را از نقطه نظر صاف کردن و جدا کردن بعدی ایجاد خواهد کرد. به طور کلی ابعاد سنگ‌هایی که مورد عمل حل کردن قرار می‌گیرند بسیار متفاوت است. در مورد بعضی از معادن قدیمی این سنگ‌ها با همان ابعاد طبیعی خود مورد عملیات قرار می‌گیرند و در نتیجه بر حسب تخلخل سنگ امکان بازیابی مس بیشتر خواهد بود.

عموماً تخلخل سنگ‌های طبیعی کم بوده و مقدار آن کمتر از ۱۰ درصد است. تجربه نشان می‌دهد که بدازای تخلخل ۱ تا ۱۰ درصد میزان بازیابی مس در حدود ۱۰ تا ۳۰ درصد در یک سال خواهد بود و اگر بخواهیم میزان بازیابی را به حدود ۷۰ تا ۸۰ درصد برسانیم زمان

^۱ - in situ

لازم ۸ تا ۱۵ سال خواهد بود. در روش‌های حل کردن باطله‌های معادن قدیمی ابعاد سنگ حدود ۱۰ تا ۱۰۰ میلیمتر بوده و در روش‌های حل کردن مکانیکی، سنگ را تا حدود ۰/۵ تا ۱ میلیمتر خردمند کنند.

۲-۲-۶-۳- غلظت حلال

غلظت حلال روی حل کردن اثر مهمی دارد. هر قدر حلال غلظت‌تر باشد زمان حل کردن کمتر خواهد بود. در مورد اسیدها هر قدر غلظت بیشتر باشد مقدار ترکیبات غیر مفید حل شده نیز بیشتر خواهد بود [۱۳]. اگر غلظت حلال کم شود مقدار آهن حل شده نیز کمتر خواهد بود، ولی با کم شدن غلظت اسید قسمتی از آهن به صورت سولفات‌های قلیابی درمی‌آید که سطح کانه را پوشانده و مانع از حل شدن بعدی آن می‌گردد. همچنین در غلظت‌های کم اسید، آهن حل شده به صورت هیدروکسید رسوب کرده و باز هم مانع از حل شدن بعدی ترکیبات می‌شود.

تجربه نشان می‌دهد که اگر غلظت اسید از حدود ۰/۳ درصد کمتر باشد عملأً آهن به صورت هیدروکسید رسوب خواهد کرد و راندمان بازیابی مس بسیار کم خواهد بود.

غلظت حلال بستگی به روش حل کردن نیز دارد. در بسیاری از روش‌های حل کردن درجا چون بازیابی حلال بسیار پایین بوده و اکثراً بیش از نیمی از حلال به هدر می‌رود، غلظت حلال را بسیار پایین می‌گیرند. فقط در روش‌های مکانیکی غلظت حلال براساس ترکب انتخاب می‌شود. در هر حال غلظت حلال برای اسید سولفوریک در مورد حل کردن درجا حدود ۰/۵ درصد بوده و در مورد حل کردن به روش‌های مکانیکی ممکن است تا حدود ۵ تا ۱۵ درصد نیز بررسد.

صرف حلال یکی از عوامل اصلی تعیین کننده اقتصادی بودن روش حل کردن می‌باشد. اسید مصرفی به ترکیب گانگ و مقدار آهک و ترکیبات کربناتی بستگی دارد. صرف اسید به ابعاد سنگ نیز بستگی دارد. مثلاً در مورد بک سنگ معدن با وزن و ترکیب ثابت در زمان ثابت،

در صورتیکه ابعاد سنگ از ۲ میلیمتر به ۲۰ میلیمتر برسد، مصرف اسید حدوداً نصف خواهد شد.

بازیابی حلال از سنگ معدن هرگز کامل نبوده و مقداری حلال بر روی ذرات سنگ معدن به صورت فیلم باقی می‌ماند که اکثراً این فیلم حلال حاوی مس نیز می‌باشد. لذا شستشوی باقیمانده سنگ معدن با آب یا حلال دیگر که قادر به گرفتن این فیلم باشد، برای بازیابی حلال و مس، لازم می‌باشد. در مورد حلال‌های آمونیاکی مقدار NH_3 موجود در حلال تاثیر مهمی روی حل شدن دارد. تجربه نشان می‌دهد که با اضافه شدن مقدار NH_3 ابتدا سرعت حل شدن بالا رفته و پس از عبور از یک ماکزیمم دو مرتبه کم می‌شود، زیرا بالا رفتن مقدار NH_3 از حد معین باعث تشکیل یک فیلم از NH_3 در روی ترکیبات مس دار می‌شود که مانع از حل شدن بعدی می‌گردد. همچنین در حلال کربنات آمونیاکی مس با اضافه شدن یون Cu^{++} به حلال، سرعت حل شدن بالا رفته پس از عبور از یک ماکزیمم دو مرتبه کم می‌شود زیرا در این مورد نیز یک فیلم Cu^{++} در روی کانه ایجاد می‌شود که مانع از حل شدن بعدی است.

۴-۶-۲-۲- درجه حرارت

بالا رفتن درجه حرارت و سایر عوامل فیزیکی در روی حل شدن اثر مطلوب دارد. تحقیقات انجام شده در زمینه حل شدن مس طبیعی در کربنات آمونیاکی مس نشان می‌دهد که به ازای بالا رفتن درجه حرارت از ۲۰ به ۴۰ درجه سانتیگراد سرعت حل شدن دو برابر شده است. اثر حرارت به خصوص در روی حل شدن ترکیبات مس دار بسیار بارز است، در حالیکه همین اثر در روی حل شدن ترکیبات آهن دار کمتر است. اثر درجه حرارت در روش‌های حل کردن سولفورهای معدنی مس در اتوکلاو بسیار مهم بوده و بالا بردن آن اثرات متفاوتی بر روی واکنش می‌گذارد. بالا بردن درجه حرارت در این روش روی واکنش اثر مثبت دارد ولی بالا رفتن درجه حرارت تولید گوگرد عنصری را در واکنش کم می‌کند [۱۱ و ۱۲].

در هر حال بالا رفتن درجه حرارت در بسیاری از روش‌های حل کردن امکان پذیر نبوده و فقط در روش‌های مکانیکی و انوکلاو می‌توان از این عامل استفاده کرد و چون این عمل هزینه و سرمایه‌گذاری پیشتری را لازم دارد، لذا مسئله اقتصادی بودن آن باید به دقت مورد بررسی قرار گیرد.

۶-۲-۲-۲- ترکیب مواد باطله موجود در سنگ معدن

وجود بعضی از ترکیبات در گانگ اثر مهمی روی بازیابی مس دارد. بعضی از کانی‌ها حلال را جذب کرده و ضمن آنکه مصرف حلال را بالا می‌برند مس محتوى حلال نیز تلف شده محسوب می‌شود. مثلاً وجود کانی‌های رسی (کانولینت‌ها) یکی از موارد کاملاً مشخص برای این مسئله می‌باشد. تجربه نشان داده است که در يك سنگ معدنی که گانگ آن حدود ۵ درصد رس و سنگ معدنی $1/4$ درصد مس دارد، پس از حل شدن با آنکه حدود ۹۰ درصد مس موجود در سنگ به داخل محلول رفته است، ولی فقط حدود ۶۰ درصد آن بازیابی شده است. بقیه مس همراه با حلال جذب رس موجود در گانگ شده است. شستشوی ساده با آب عملأ قادر به بازپس گیری ملکول‌های حلال جذب شده توسط رس نیست. فقط شستشوی اسیدی همراه با همزدن شدید می‌تواند قسمتی از مس جذب شده را بازیابی کند.

۶-۲-۲-۲- زمان

زمان یکی از عوامل مهم در حل کردن می‌باشد. شرایط مختلف حل کردن روی زمان اثر مهمی دارد. در روش حل کردن در انوکلاو، عملأ زمان حل کردن به کمتر از يك ساعت می‌رسد، در حالیکه در روش‌های درجا، زمان حل کردن ممکن است تا چند سال نیز طول بکشد. سرعت عبور حلال از روی ترکیبات مس دار و نحوه تماس آن و همچنین نفوذ پذیری سنگ و سرعت نفوذ حلال و سایر عوامل می‌توانند روی زمان اثر مهمی داشته باشند. به طور کلی زمان در

روش‌های اتوکلاو حدود ۳۰ تا ۱۲۰ دقیقه و در روش‌های مکانیکی چند ساعت و در روش‌های حجمی در داخل استخراهای حلال چند روز و در سطح زمین چند ماه و بالاخره در مورد حل کردن درجا چند سال طول می‌کشد.

۲-۳-۱- مروری بر فرایند تولید سرباره در کوره ریورب [۲]

۲-۳-۱- ذوب مات

کنسانتره به دست آمده از مرحله فلوتاسیون در یک کوره ریورب با محیط اکسید کننده و دمای ۱۲۰۰ درجه سانتی گراد ذوب می‌شود. طی این فرایند بخشی از گوگرد و آهن موجود در کنسانتره اکسید شده و فاز مات غنی از سولفید مس تشکیل می‌شود ۳۵٪ تا ۷۰ درصد از مات سولفیدی را مس تشکیل می‌دهد و فاز اکسیدی یعنی سرباره حتی الامکان عاری از مس می‌باشد.

محصولات فرعی عملیات ذوب مات عبارتند از:

- سرباره حاوی سبیکات آهن

- گاز SO_2

۲-۳-۱-۱- واکنش‌های ذوب مات [۲]

برای به دست آوردن مات، کنسانتره سولفیدی مس را در داخل کوره ریورب ذوب می‌کنند. در این حالت واکنش‌های زیر رخ می‌دهند:



با کنترل میزان اکسیژن می‌توان مقادیر آهن و گوگرد را به حد مطلوب رساند. کلیه این واکنش‌ها گرمایش استند و گرمای تولید شده صرف گرم کردن کوره و ذوب کردن مواد می‌گردد و در نتیجه سوخت فسیلی کمتری مورد نیاز می‌باشد. تقریباً تمام مس موجود در شارژ اولیه وارد فاز مات می‌گردد. حتی در صورت اکسید شدن مس، با انجام واکنش زیر دوباره سولفید مس

تشکیل می‌شود:



انرژی آزاد این واکنش در دمای ۱۲۰۰ درجه سانتی گراد برابر است با:

$$\Delta G_{1200^\circ\text{C}}^0 = -RT\ln K = -1.3 \times 10^5 \frac{\text{kJ}}{\text{kg.mole Cu}_2\text{O}} \quad (2-46)$$

از طرفی داریم:

$$K_E = \frac{a_{\text{Cu}_2\text{S}} + a_{\text{FeO}}}{a_{\text{Cu}_2\text{O}} + a_{\text{FeS}}} \quad (2-47)$$

با قرار دادن مقادیر R و T به ترتیب برابر $\frac{J}{\text{mole} \cdot \text{K}}$ ۸/۳۱۴۴ و 1473°K خواهیم داشت:

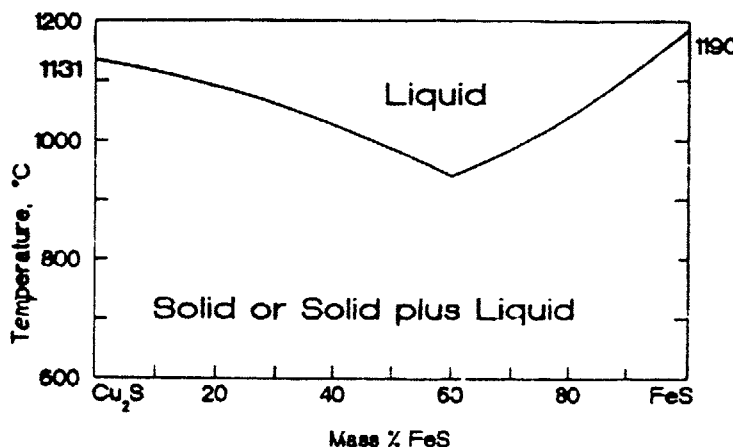
$$K = 10^{48} \quad (2-48)$$

با توجه به مقدار ثابت تعادل به دست آمده مشخص می‌شود که تقریباً کل Cu_2O موجود در سرباره بوسیله FeS به سولفید مس تبدیل می‌شود.

۲-۳-۱-۲- اصول تئوری تشکیل مات

مات به دست آمده از واکنش‌های بالا، لزوماً یک محلول سه تایی $\text{Cu} - \text{Fe} - \text{S}$ می‌باشد. در حقیقت مات تقریباً از مگنتیت اشباع شده است و به همین دلیل حدود ۱ تا ۲ درصد اکسیژن در آن وجود دارد (شکل ۲-۲). برخی ناخالصی‌های دیگر نیز در مات وجود دارند که طی مراحل تبدیل و تصفیه جدا می‌شوند. همانطور که در جدول ۲-۲

نشان داده شده است، چگالی مات از سرباره بیشتر است، لذا در بخش پایین کوره ریورب قرار می گیرد.



شکل (۲-۲): خطوط لیکوئیدوس در سیستم Cu₂S - FeS (مات) که به صورت سیستم دوتایی Cu₂S - FeS نشان داده شده است.

البته در حالت عادی به دلیل وجود اکسیژن و برخی ناخالصی‌ها در مات، نقطه ذوب معین شده در شکل (۲-۲) کمتر از مقدار توری آن می‌باشد. هرچند Cu₂S و FeS به صورت ترکیبات مجزا در مات وجود ندارند، ولی دیاگرام شکل (۲-۲) می‌تواند به خوبی ترکیب مات‌های صنعتی را مشخص کند.

خطوط مشخص شده در شکل (۲-۳) نیز تقریباً بر خطوط دیاگرام دوتایی Cu₂S - FeS منطبق می‌باشند. دلیل این امر این است که اولاً در سمت راست خطوط $pS_2 > 1\text{ atm}$ و ثانیاً ناحیه دو فازی فلز و مات در سمت چپ، یانگر ترکیب احتمالی مات است.

هدایت الکتریکی و بیزه مات مذاب ۳۰۰ تا ۱۰۰۰ اهم بر سانتی‌متر است. این مقدار از هدایت نمک‌های یونی مذاب نظیر NaCl (۴ اهم بر سانتی‌متر) و سرباره‌ها (۰/۵ اهم بر سانتی‌متر) بیشتر است. این بدان معنی است که مات خاصیت نیمه هادی دارد و لذا می‌توان دریافت که پیوندهای آن از نوع کرووالانسی هستند. لذا مات بک مایع با چگالی بالا، و بسکوزیته پایین و هدایت بالاست که در آن مس و آهن با گوگرد و اکسیژن پیوندهای کرووالانسی برقرار کرده‌اند.

در جدول (۲-۲) خصوصیات فیزیکی مات، سرباره و سایر ترکیبات موجود در کوره ریورب

دیده می شود.

جدول (۲-۲): خصوصیات فیزیکی مات، سرباره و برخی ترکیبات موجود در آنها

نوع ماده	نقطه ذوب (°C)	چگالی مذاب در دمای °C (tonnes/m ³ یا g/cm ³)	ویسکوزیته مذاب در دمای °C (centipoise × 10 ⁻³ بحسب)
مس تاول دار	۱۰۸۰	۷/۸	۴
Cu ₂ S	۱۱۲۰	۶/۹	-
FeS	۱۱۹۰	۳/۸	-
۲۰ درصد وزنی مس	۹۹۰ (نقطه لیکوئیدوس)	-	-
۳۵ درصد وزنی مس	۹۶۰ (نقطه پونکتیک)	-	-
۵۰ درصد وزنی مس	۱۰۰	۴/۴	۱۰
۶۰ درصد وزنی مس	۱۱۰۰	-	-
۸۰ درصد وزنی مس	۱۱۳۰	۶/۹	-
FeO	۱۲۸۰	-	-
Fe ₃ O ₄	۱۶۰۰	۰ (در حالت جامد)	-
SiO ₂	۱۷۳۰	۲/۱ (در حالت جامد) و ۲/۳ (مذاب)	-
سرباره کوره ریورب	۱۱۰	۳/۰	۲۰۰-۱۰۰
سرباره کنورتور	۱۱۸۰	۳/۸	۱۰۰-۴۰۰

۲-۳-۲- سرباره کوره ریورب

سرباره کوره ریورب از اکسیدهای موجود در شارژ کوره و اکسید آهن تولید شده طی

اکسیداسیون کنسانتره تشکیل شده است [۱۴]. اجزا اصلی سرباره عبارتند از:

- ۳۰ تا ۴۰ درصد آهن: آهن به صورت Fe^{3+} ، Fe^{2+} و بعضی مگنتیت جامد در

سرباره وجود دارد.

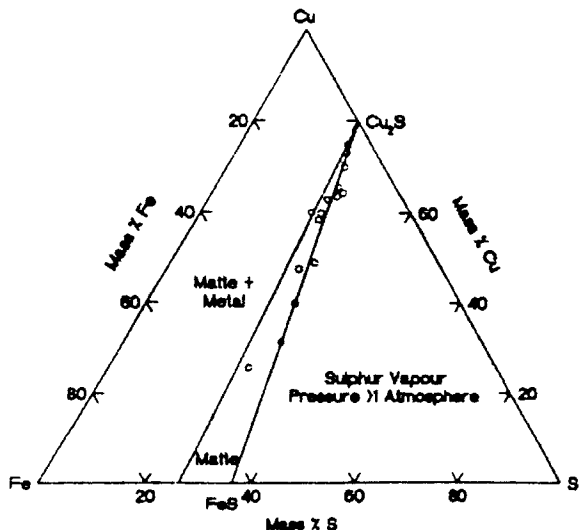
- اکسیزن: اکسیزن از اکسید آهن وارد سرباره شده و در شبکه سبلیکانی سرباره و مگنتیت

جامد وجود دارد.

- سیلیس (SiO_2) : سیلیس از فلاکس، کنسانتره و سرباره بازیافته کنورتور وارد سرباره می شود.

- آلومینا (Al_2O_3) : آلومینا از فلاکس، کنسانتره و سرباره بازیافته کنورتور وارد سرباره می شود.

- آهک (CaO) : آهک از فلاکس، کنسانتره و سرباره بازیافته کنورتور وارد سرباره می شود.



شکل (۲-۳) : دیاگرام فازی $\text{Cu}-\text{Fe}-\text{S}$ در دمای 1200°C

معمولًا ترکیب سرباره طوری تنظیم می شود که با مات مخلوط نشود، میزان حلالت مس در آن پایین باشد، سیالیت آن به اندازه ای باشد که از حبس شدن مات و قطرات و ذرات کنسانتره جلوگیری شود و بتوان به راحتی آن را از کوره تخلیه کرد.

۱-۲-۳-۲- خصوصیات و ساختار سرباره

خصوصیات فیزیکی سرباره های کوره های شعله ای در جدول (۲-۲) نشان داده شده است.

ویژگی بارز این سرباره ها ویسکوزیته بالای آن ها است. ویسکوزیته سرباره کوره شعله ای عموماً ۲۰۰ تا ۱۰۰۰ سانتی پوآز است، در حالیکه ویسکوزیته مات ۱۰ سانتی پوآز و ویسکوزیته مس مذاب ۳ سانتی پوآز است. حضور مگنتیت جامد با سیلیس، ویسکوزیته سرباره را افزایش می دهد.

جدول(۲-۳): ترکب و ساختار سرباره‌های سبلیکاتی [۲]

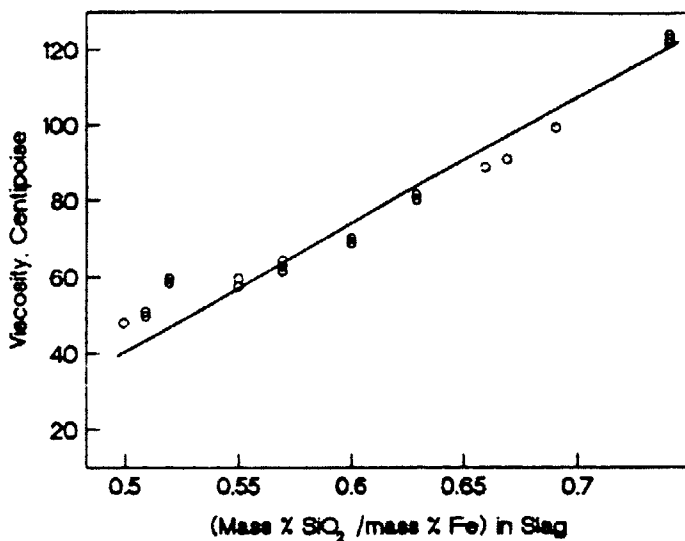
نوع زنجیره	آنیون‌های اصلی	نوع ترکب	درجه سبلیکاتی	نوع سرباره
-	SiO_4^{4-} و O^{2-}	$3\text{FeO} \cdot \text{SiO}_2$	> 1	فلیزی
		$2\text{FeO} \cdot \text{CaO} \cdot \text{SiO}_2$		
SiO_4^{4-}	SiO_4^{4-}	$2\text{CaO} \cdot \text{SiO}_2$	1	خششی
		$\text{CaO} \cdot \text{FeO} \cdot \text{SiO}_2$		
$\text{Si}_3\text{O}_{10}^{8-}$	آنیون‌های سبلیکاتی زنجیره‌ای	$4\text{CaO} \cdot 3\text{SiO}_2$	> 1	اسیدی
		$2\text{CaO} \cdot 2\text{FeO} \cdot 3\text{SiO}_2$		
$\text{Si}_4\text{O}_{12}^{8-}$	آنیون‌های سبلیکاتی حلقوی	$4(\text{CaO} \cdot \text{SiO}_2)$		
$\text{Si}_6\text{O}_{15}^{6-}$	حلقه‌های آنیون‌های سبلیکاتی حلقوی متصل به هم	$3(\text{CaO} \cdot 2\text{SiO}_2)$		

سرباره‌ها در حالت مذاب به صورت یونی هستند. در سرباره‌ها عموماً کاتیون‌های Ca^{2+} ، Fe^{3+} و آنیون‌های O^{2-} ، SiO_4^{4-} و حلقه‌ها و زنجیره‌های سبلیکاتی، وجود دارند. همانطور که در جدول(۲-۳) نشان داده شده است، این سرباره‌ها را بر حسب میزان سبلیس در سه گروه سرباره اسیدی، بازی و یا خشن دسته بندی می‌کنند. سرباره‌های بازی ویسکوزیته پایین و ساختاری ساده دارند و بالعکس در سرباره‌های اسیدی، آنیون‌های سبلیکاتی حلقوی متصل شده وجود دارد که موجب افزایش ویسکوزیته آنها می‌گردد (شکل(۲-۴)).

سرباره‌های کوره‌های ذوب مات نیز حاوی مقادیر قابل توجهی سبلیس بوده و در گروه سرباره‌های اسیدی فرارمی‌گیرند.

۲-۲-۲-۳-۲-۱- بررسی دیاگرام $\text{SiO}_2 - \text{Fe}_2\text{O}_3 - \text{FeO}$

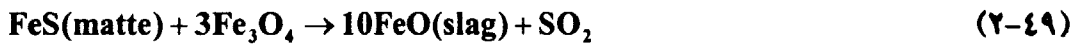
در شکل(۲-۵) ناجه مذاب سرباره‌های حاوی Fe ، O و SiO_2 در روی دیاگرام فازی $\text{SiO}_2 - \text{Fe}_2\text{O}_3 - \text{FeO}$ نشان داده شده است. می‌توان مشاهده کرد که در صورت وجود ۳۵ درصد وزنی SiO_2 ، سرباره از سبلیس اشباع می‌شود و تنها در صورت وجود ۲۰ درصد وزنی سبلیس می‌توان در دمای 1200°C به سرباره مذاب دست یافت.



شکل (۲-۴): منحنی تغییرات ویسکوزیته سرباره‌های حاوی Fe، O و SiO₂ بر حسب

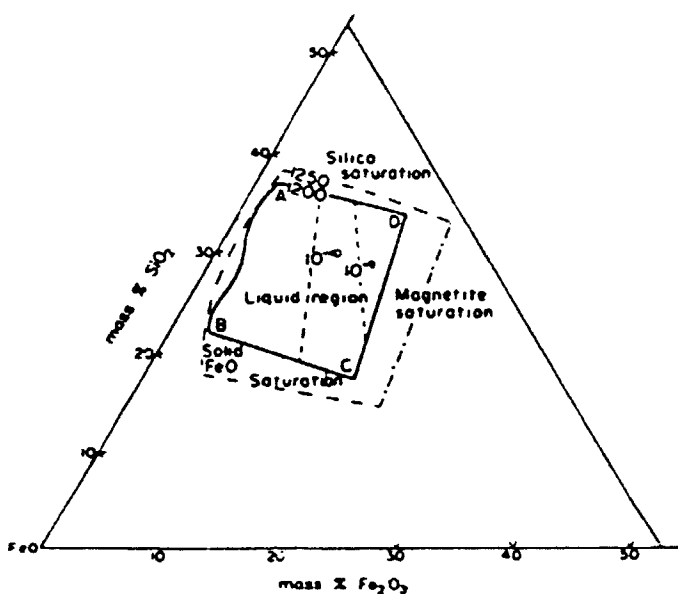
دما ۱۲۵۰ درجه سانتی گراد و $pO_2 = 6 \times 10^{-11} \text{ atm}$

مگنتیت در فضای شدبداً اکسید کننده کوره ذوب مات تولید می‌شود و در صورتیکه میزان تشکیل آن بیش از اندازه نشان داده شده در شکل (۲-۴) (خط CD) باشد، به صورت جامد از سرباره رسوب می‌کند. خوشبختانه بخشی از این مگنتیت توسط مات و طی واکنش زیر احیامی شود:



ولی با افزایش میزان Cu و کاهش FeS در مات، این واکنش کمتر انجام می‌شود. با افزایش دمای کوره و با افزودن زغال سنگ و یا کک به شارژ کوره میزان رسوب کردن مگنتیت جامد افزایش می‌یابد. عموماً گزارش می‌شود که مگنتیت جامد در کف کوره ته نشین می‌شود. این بیانگر آن است که کوره با ترکیبی نزدیک به حالت اشباع از مگنتیت کار می‌کند و مگنتیت جامد تشکیل شده، در نقاط سردتر کوره رسوب می‌کند. با افزودن فروسیلیسیم و یا آهن می‌توان مگنتیت را احیا کرد و از تولید مقدار اضافی آن جلوگیری کرد. در کوره‌هایی که مذاب در آنها متلاطم است نیز مگنتیت رسوب نمی‌کند و به همراه مات و سرباره خارج می‌شود.

همانطور که در شکل (۲-۵) دیده می‌شود ناحیه مذاب در دمای ۱۲۰۰ و ۱۲۵۰ درجه سانتی‌گراد، به ترتیب با خطوط ABCD و خط تبره نشان داده شده است. در شکل خط BC نمایانگر حداقل میزان SiO_2 برای به دست آوردن سرباره مذاب ($\text{SiO}_2 = 20\%$), خط AD نمایانگر حد اشباع SiO_2 در سرباره ($\text{SiO}_2 = 25\%$) و خط CD نمایانگر حد اشباع مگنتیت می‌باشد. خط AB نیز نمایانگر حد اشباع Fe و فایالت ($2\text{FeO} \cdot \text{SiO}_2$) می‌باشد.



شکل (۲-۵) بخشی از دیاگرام فازی تعادلی سیستم سیمین-سرباره $\text{SiO}_2, \text{Fe}_2\text{O}_3, \text{FeO}$

۲-۳-۲-۳- ایجاد عدم حلالت ماین مات و سرباره

هدف از ذوب، تولید مات مذاب غنی از مس و پس از آن تولید مس در کنورتور می‌باشد. به‌این‌منظور باید محصولات اکسیدی ذوب (سرباره) از محصولات غیراکسیدی (مات) قابل تفکیک باشند. برای ایجاد قابلیت تفکیک باید ترکیب سرباره تقریباً اشباع از SiO_2 باشد. جدول (۲-۴) ترکیب فازهای مایع در سیستم $\text{Fe}-\text{O}-\text{S}$ در دمای 1200°C را نشان می‌دهد. نقاط A, B نشانگر فازهای سرباره و مات در شکل (۲-۶) هستند.

۱-۳-۲-۳- دیاگرام سولفید- اکسید- سیلیس

در صورت عدم وجود SiO_2 در شارژ کوره ذوب، محصولات ناشی از اکسید کردن کنسانتره $\text{Cu}-\text{Fe}-\text{O}-\text{S}$ مذاب و مگنتیت جامد خواهد بود و هیچگونه جداشی را نمی توان بین فازهای مذاب غنی و عاری از مس به دست آورد. در صورت وجود SiO_2 در شارژ کوره، یک فاز مذاب ثانویه به وجود می آید. این فاز مذاب سرباره است و حاوی مقادیر ناچیزی از مس و گوگرد می باشد. همانطور که در دیاگرام $\text{Fe}-\text{O}-\text{SiO}_2$

فازی شکل (۲-۶) دیده می شود:

الف- $\text{Fe}-\text{O}$ و S در محدوده وسیعی از ترکیب در پکدیگر حل می شوند.

ب- با افزودن SiO_2 فاز اکسی سولفید مذاب به دو فاز قابل تفکیک که توسط خطوط

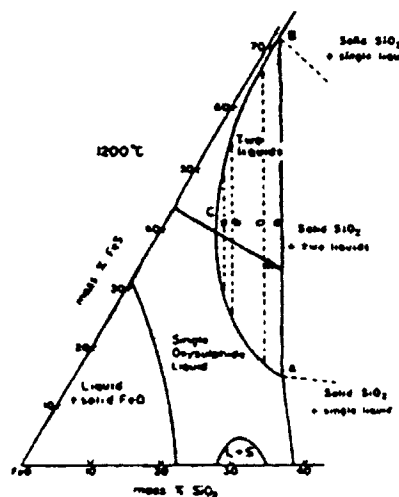
تیره a,b,c,d در منحنی ACD مشخص شده اند، تبدیل می شود.

ج- در حالت اشباع از سیلیس میزان قابلیت تفکیک دو فاز به بالاترین مقدار می رسد.

در جدول (۲-۴) ترکیب دو فاز سرباره و مات در حد اشباع سیلیس ارائه شده است. رفتار مس در سیستم $\text{SiO}_2-\text{Cu}-\text{Fe}-\text{O}-\text{S}-\text{SiO}_2$ هم در همین جدول نشان داده شده است.

جدول (۲-۴): ترکیب دو فاز سرباره و مات در سیستم $\text{Fe}-\text{O}-\text{S}-\text{SiO}_2$ اشباع از SiO_2

ترکیب (درصد وزنی)							سیستم
Cu_2S	Al_2O_3	CaO	SiO_2	FeS	FeO	نوع فاز	
-	-	-	۲۷/۲۸	۱۷/۹۰	۵۴/۸۲	سرباره	$\text{FeS}-\text{FeO}-\text{SiO}_2$ (A)
-	-	-	۰/۱۶	۷۲/۴۲	۲۷/۴۲	مات	
-	-	۷/۶۴	۳۷/۸۰	۸/۸۴	۴۶/۷۲	سرباره	$\text{FeS}-\text{FeO}-\text{SiO}_2+\text{CaO}$ (B)
-	-	-	۲/۱۰	۶۹/۳۹	۲۸/۴۶	مات	
-	۰/۹۶	-	۳۷/۳۵	۷/۶۶	۵۰/۰۰	سرباره	$\text{FeS}-\text{FeO}-\text{SiO}_2+\text{Al}_2\text{O}_3$
-	-	-	۰/۲۱	۷۲/۱۰	۲۷/۰۶	مات	
۰/۸۰	-	-	۳۲/۸۳	۷/۰۹	۵۷/۷۳	سرباره	$\text{Cu}_2\text{S}-\text{FeS}-\text{FeO}-\text{SiO}_2$
۳۰/۱۴	-	-	۰/۲۵	۵۴/۶۹	۱۴/۹۲	مات	



شکل (۲-۶) : دیاگرام فازی سیستم $\text{Fe}-\text{O}-\text{S}-\text{SiO}_2$. همانطور که توسط پیکان مشخص شده است، افزودن SiO_2 به مذاب اکس سولفیدی منجر به ایجاد دو فاز مات و سرباره می شود.

۲-۳-۲-۳-۲- علت عدم حلایت مات و سرباره در یکدیگر

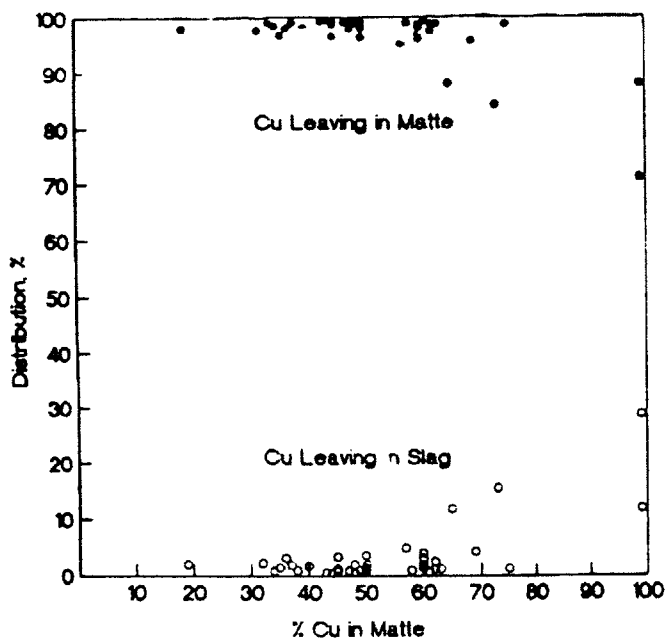
ساختار مات و سرباره و اثر SiO_2 بر آنها، خود بیانگر رفتار جدایش دو فاز است.

در صورتیکه SiO_2 وجود نداشته باشد، $\text{Cu}, \text{Fe}, \text{O}$ و S با یکدیگر مخلوط شده و علاوه بر ایجاد پیوندهای کووالانسی، فاز نیمه‌هادی $\text{Cu}-\text{Fe}-\text{O}-\text{S}$ نیز تشکیل می‌شود. در صورتیکه SiO_2 در محیط وجود داشته باشد، با Fe و O آنیون‌های پلیمری سیلیکاتی دارای پیوندهای قوی تشکیل می‌دهد.

این آنیون‌ها به یکدیگر متصل شده و در نهایت فاز سرباره تشکیل می‌شود. گوگرد نمایل زیادی برای تشکیل آنیون‌های کمپلکس ندارد، لذا عمدتاً به فاز مذاب مات وارد می‌شود. بخش عده مس طی واکنش‌های سولفیداسیون وارد فاز مات می‌شود. CaO و Al_2O_3 در فاز مذاب سرباره قرار می‌گیرند و باعث جدایش دو فاز مات و سرباره می‌شوند.

۴-۳-۲-۴- توزیع مس بین مات و سرباره

اهداف اصلی ذوب مات عبارتند از: پیشینه کردن میزان مس در مات و به حداقل رساندن میزان مس سرباره. در شکل (۲-۷) توزیع مس بین دو فاز سرباره و مات در کوره‌های صنعتی نشان داده شده است. همانطور که دیده می‌شود میزان مس سرباره نیم تا ۲ درصد می‌باشد این میزان با افزایش درصد مس در مات افزایش می‌یابد.



شکل (۲-۷) : نمایش شماتیک میزان مس موجود در سرباره کوره ذوب مات و درصد مس موجود در مات.

دلایل افزایش مس موجود در سرباره درنتیجه افزایش مس موجود در مات، عبارتند از:

الف- مقادیری از مات که هنوز وارد فاز مات نشده است و در داخل سرباره

باقی می‌ماند، به دلیل عبار بالای فاز مات حاوی درصد بیشتری از مس است.

ب- در مات با عبار بالا FeS کمتری وجود دارد. در نتیجه اکسید مس داخل سرباره

احیانی شود.

لذا با افزایش درصد مس مات معاویی نظیر افزایش مس موجود در سرباره نیز بروز می کند، به طوری که گاهی اوقات احداث تاسیسات بازیابی مس داخل سرباره نیز ضروری می باشد.

فصل سوم

شرح عملیات نجربی

۱-۳- تجهیزات و مواد مصرفی

در حال حاضر، اسید سولفوریک به عنوان یکی از پرمصرف‌ترین حلال‌ها در صنعت استفاده می‌شود. یکی از دلایل انتخاب این اسید به عنوان حلال، ارزان قیمت بودن آن است. این پارامتر به همراه قدرت انحلال مناسب، محققان را بر آن داشته است که از این اسید برای حل کردن ترکیبات مختلف، به ویژه ترکیبات مس استفاده نمایند [۱۵].

در مورد بازیابی مس از سرباره کوره ریورب به دلیل پایین بودن میزان مس، تخلخل پایین سرباره، وجود ترکیبات غیر اکسیدی مس، وجود مواد مصرف کننده اسید در سرباره و ...، تحقیقات کمی صورت گرفته است. لذا در این پژوهش امکان بازیابی مس از سرباره کوره ریورب مجتمع مس سرچشمه با استفاده از اسید سولفوریک مورد بررسی قرار گرفت.

در این تحقیق از تجهیزات و لوازم آزمایشگاهی زیر استفاده شد:

۱- سنگ شکن فکی

۲- سنگ شکن سایش

۳- آسیای گلوله‌ای دارای محفظه و گلوله‌های سرامیکی

۴- الک به شماره مش ۶۰، ۸۰، ۱۰۰ و ۱۲۰

۵- هیتر الکتریکی

۶- ترازوی آزمایشگاهی با دقت ۰/۱۰۰۱ گرم

۷- دستگاه آنالیز جذب اتمی ساخت شرکت زاپس^۱

۸- دماسنجد الکلی برای سنجش دما

۹- هسته‌های مغناطیسی جهت هم زدن محلول

۱۰- ارلن، استوانه مدرج، بشر و پیست

همچنین مواد مصرفی در آزمایشات انجام شده عبارتند از:

- ۱- سریاره کوره ریورب مجتمع مس سرچشمہ
- ۲- اسید سولفوریک ساخت شرکت مرک^۱ با خلوص ۹۶٪ و چگالی ۱/۸۴
- گرم بر مانتبیتر مکعب
- ۳- آب مقطر
- ۴- محلول سود یک نرمال جهت تیتراسیون
- ۵- معرف فنل فتالین

۳-۲- روشهای آزمایشات

۱-۳- آماده‌سازی نمونه‌ها

آماده‌سازی نمونه‌ها در دو مرحله انجام شد. این مراحل عبارتند از:

در مرحله اول سریاره توسط دستگاههای سنگ شکن فکی و سایشی تحت عملیات خردابیش قرار گرفت و سپس دانه‌بندی شد. توزیع اندازه دانه در جدول (۳-۱) دیده می‌شود. در این مرحله آزمایشات حل کردن بر روی نمونه‌های سریاره با اندازه‌های مختلف انجام شد. پس از مشاهده نتایج این مرحله تصمیم گرفته شد که آزمایشات بر روی کل سریاره انجام بگیرد. از آنجا که میزان مس موجود در سریاره بسیار پایین بوده و اصولاً میزان بازیابی مس در ذرات ریزتر بیشتر است، این تصمیم برای افزایش میزان بازیابی و کاهش میزان تلفات احتمالی مس در انجام آزمایشات اخذ شد.

در مرحله دوم مقدار معینی از سریاره با استفاده از دستگاههای سنگ شکن و آسیابی گلوله‌ای به حدی خرد شد که کلبه ذرات از الک با شماره مش ۱۲۰ عبور کردند. در این مرحله پس از خردابیش، آزمایشات بر روی نمونه‌هایی از سریاره انجام شد.

جدول (۳-۱) : توزیع اندازه دانه در سرباره کوره ریورب پس از خرد کردن در آسیای فکی

کل وزن پس از خرد کردن	-۱۲۰ (ذرات باقیمانده در کف)	+۱۲۰	+۱۰۰	+۸۰	+۶۰	شماره مش
۱۴۸۹/۳۸	۵۳۸/۰	۲۰۳/۰۹	/۸۱ ۲۹۱	۱۵۷/۹۴	۱۴۸/۹۹	وزن (g)

۳-۲-۲- روش انجام آزمایش حل کردن

برای حل کردن نمونه ها مراحل زیر انجام شد:

- ۱- مقداری از سرباره با اندازه معین با ترازوی آزمایشگاهی توزین شد.
- ۲- محلول اسید سولفوریک و آب با غلظت معین ساخته شد.
- ۳- حجم معینی از محلول اسید و آب برداشته شد و سرباره توزین شده به داخل آن ریخته شد.

لازم به ذکر است که در کلیه آزمایشات نسبت جامد به مایع ثابت نگاه داشته شد. در کلیه آزمایشات نمونه ای از سرباره با وزنی در حدود ۵ گرم (وزن دقیق نمونه ها پادداشت شده است)، در ۱۰۰ میلی گرم محلول حل شد. لذا نسبت جامد به مایع در کلیه آزمایشات، تقریباً ثابت و برابر با ۱ به ۲۰ (یا ۰/۰۵) نگاه داشته شد. در این پژوهش پارامتر نسبت جامد به مایع به عنوان ثابت در نظر گرفته شد و تغییرات آن مورد بررسی قرار نگرفت.

۴- به علت واکنش اسید و آب، معمولاً دمای محلول پس از اختلاط نزدیک به ۶۰ درجه سانتی گراد بود. لذا برای سرد کردن محلول اسید و آب و رساندن دمای آن به دماهای پایین تر، ظرف محتوی محلول، قبل از افزودن سرباره، در ظرفی حاوی آب سرد قرار داده شد.

۵- برای گرم کردن محلول از هیتر الکتریکی استفاده شد.

۶- دمای محلول با دماسنج الکلی سنجیده شد. در کل مدت آزمایش دما تقریباً ثابت نگاه داشته شد. تغییرات دمایی محلول $2^{\circ}\pm 2^{\circ}$ بود.

۷- برای همزدن محلول از هسته‌های مغناطیسی و سبستم همزن مغناطیسی تعییه شده در هیترهای الکتریکی استفاده شد. سرعت همزدن با توجه به اعداد حک شده بر روی دستگاه قرات شد.

۸- نمونه‌برداری از محلول در بازه‌های زمانی معین انجام شد. در هر مرحله پس از خاموش کردن همزن و ته نشین شدن مواد جامد، ۱۰ میلی لیتر نمونه از محلول برداشته شد.

۹- پس از نمونه‌برداری، کاهش حجم ناشی از نمونه‌برداری توسط افزایش همان حجم از محلول اسید و آب و با همان خلقت اولیه جبران شد.

۱۰- کاهش حجم ناشی از تبخیر با افزودن آب مقطر جبران شد.

۱۱- پس از نمونه‌برداری محلول با استفاده از کاغذ فیلتر صاف شد. گاهی اوقات استفاده از قیف بوخت ضروری می‌نمود.

۱۲- پس از صاف کردن محلول، آن را به حجم رسانده و میزان مس موجود در آن با استفاده از دستگاه آنالیز جذب اتمی ارزیابی شد.

۳-۲-۳- روش انجام آزمایش تیتراسیون

کلیه مراحل آزمایش تیتراسیون همانند آزمایش حل کردن انجام شد. فقط در مرحله آخر به جای آنالیز محلول، از محلول سود یک نرمال و معرف فنل فتالین برای تعیین میزان اسید باقیمانده استفاده شد. محلول سود یک نرمال با انحلال یک مول (۴۰ گرم) سود در آب مقطر و رساندن حجم محلول به یک لیتر ساخته شد. برای سنجش میزان اسید موجود در نمونه‌ها، ابتدا چند قطره معرف فنل فتالین و مقداری آب مقطر به محلول افزوده شد. افزودن آب مقطر تاثیری

در میزان اسید باقیمانده ندارد. با استفاده از بورت محلول سود به آرامی به محلول اسیدی افزوده شد. نقطه تغییر رنگ محلول اسیدی از بی رنگ به ارغوانی، نقطه خشی شدن کامل اسید موجود باز هیدروکسید سدیم است. با قرائت حجم سود مصرف شده، می‌توان میزان اسید موجود در محلول را محاسبه کرد.

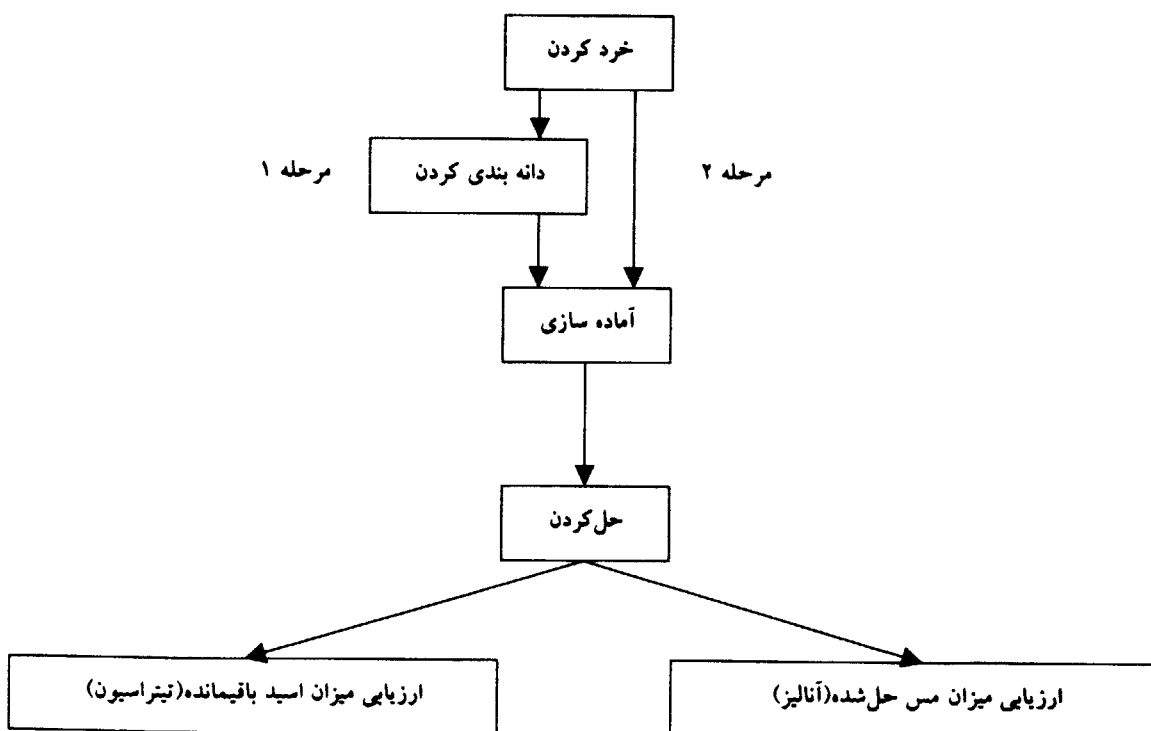
۴-۲-۳- معیار ارزیابی آزمایش

در این تحقیق جهت ارزشیابی آزمایش‌های حل‌سازی، از پارامتری به نام درصد بازیابی (درصد کسر واکنش کرده) استفاده شده است. این پارامتر این گونه تعریف می‌شود:

$$R = \frac{C}{C^0} \times 100 \quad (3-1)$$

که طبق تعریف R درصد بازیابی، C مقدار مس حل شده و C^0 مقدار مس اولیه موجود در نمونه می‌باشد.

شمای روش تحقیق در شکل (۳-۱) نشان داده شده است.



شکل (۳-۱) : شمای روش تحقیق

فصل چهارم

شایع

۱-۴- بررسی ساختار سرباره

هدف از این تحقیق بررسی امکان بازیابی مس از سرباره کوره ریورب مجتمع مس سرچشمه با استفاده از اسید سولفوریک می‌باشد. در این راستا، ابتدا برای شناسایی ساختار سرباره تلاش‌هایی انجام شد. پس از آن سرباره دانه‌بندی شد و تاثیر پارامترهای زمان و غلظت بر روی اندازه‌های مختلف بررسی شد. در مرحله بعد کل سرباره تا اندازه‌ای خرد شد که کلیه ذرات آن از الک با مش ۱۲۰ عبور کردند. سپس تاثیر پارامترهای زمان، دما، غلظت اسید و سرعت همزدن بر میزان بازیابی مس از آن اندازه‌گیری شد. در نهایت با استفاده از تیتراسیون میزان اسید مصرف شده نیز مورد بررسی قرار گرفت.

برای بررسی ساختار سرباره کوره ریورب طرق مختلف آزمایش شد. بر اساس آنالیز اعلام شده از سوی مجتمع مس سرچشمه، میزان مس سرباره ارسالی از طرف این مجتمع، ۰/۶۹ درصد بوده است. برای بررسی صحت این مطلب، از روش XRF استفاده شد که نتایج به دست آمده در جدول (۱-۴) دیده می‌شود.

جدول (۱-۴) : آنالیز XRF سرباره کوره ریورب

سایر اجزا	Al ₂ O ₃	SiO ₂	CaO	Mg	Ti	Zn	S	Fe	Cu	ترکیب شیمیایی
۰/۹۱	۷۱	۳۹/۰	۸۴	۰/۱۶	۰/۷۷	۲/۴	۱/۲	۲۸۲	۰/۶۶	درصد وزنی

همانطور که دیده می‌شود بر اساس نتایج به دست آمده از آنالیز XRF میزان مس موجود در سرباره ۰/۶۶٪ تشخیص داده شده است. بنابراین برای محاسبه درصد بازیابی نیز از همین عدد استفاده می‌گردد.

با توجه به جدول (۱-۴) می‌توان دریافت که از نتایج این جدول فازهای موجود تشخیص داده نمی‌شوند. بنابراین برای تشخیص فازهای موجود در سرباره از آنالیز XRD استفاده شد. در شکل (۱-۴) نتیجه آنالیز XRD سرباره دیده می‌شود.

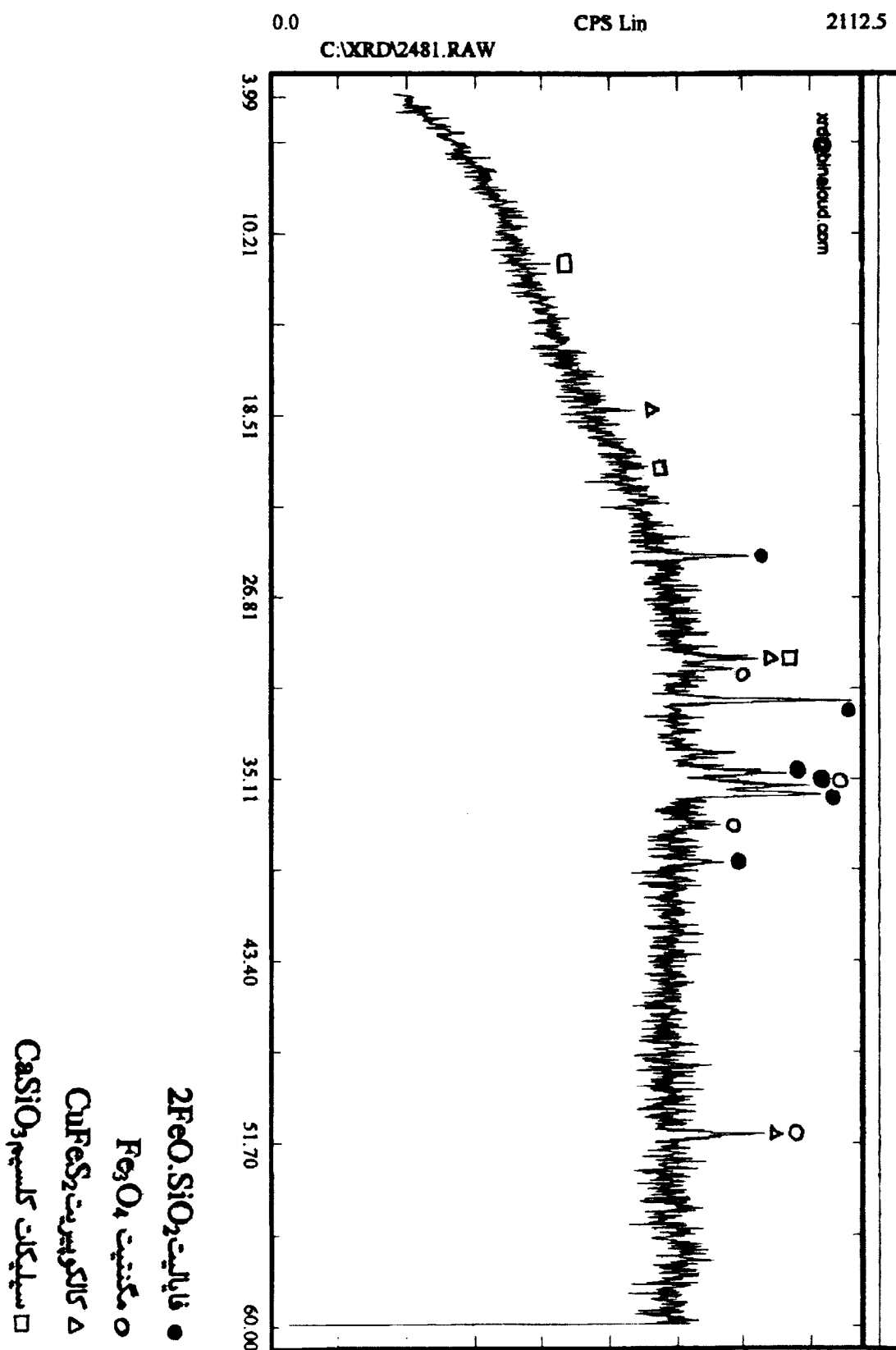
با توجه به شکل (۱-۴) می‌توان دریافت که فقط دو فاز مگنتیت (Fe_3O_4) و فایالیت ($2FeO \cdot SiO_2$) به عنوان فازهای اصلی شناخته شده‌اند. برای شناسایی سایر فازها از کارت‌های استاندارد مربوطه استفاده و سایر فازها نیز شناسایی شد. بر روی شکل (۱-۴) سایر فازهای موجود در سرباره نیز نشان داده شده‌اند.

۲-۴- اثر اندازه دانه

در این مرحله ابتدا سرباره با اندازه دانه‌های مختلف مورد آنالیز XRF قرار گرفت و پس از آن آزمایشات حل کردن روی اندازه دانه‌های مختلف انجام شد و تأثیر پارامترهایی نظیر زمان و غلظت اسید مورد بررسی قرار گرفت.

۱-۴- آنالیز سرباره در اندازه دانه‌های مختلف

به دلیل احتمال توزیع ناهمگن مس در اندازه دانه‌های مختلف، آنالیز XRF از دو نمونه با بزرگ‌ترین و کوچک‌ترین اندازه دانه انجام شد. نتایج این آزمایش در جدول (۲-۴) ارایه شده‌است. از آنجاییکه میزان مس موجود در بزرگ‌ترین و کوچک‌ترین ذرات تفاوت قابل ملاحظه‌ای ندارد، لذا سایر اندازه‌ها مورد ارزیابی قرار نگرفت. با توجه به نتایج این جدول و نتایجی که در بخش بعد در مورد میزان بازیابی مس در دانه‌بندی‌های مختلف ارایه خواهد شد، تصمیم بر آن گرفته شد که کل سرباره به حدی خرد شود که همه ذرات آن از الک با مش ۱۲۰ عبور کنند.



شکل (۱-۴) : نتیجه آنالیز XRD سرباره کوره ریبورب

جدول (۴) : آنالیز XRF دانه بندی های مختلف سرباره کوره ریورب

سایر اجزا	Al ₂ O ₃	SiO ₂	CaO	Mg	Tl	Zn	S	Fe	Cu	ترکیب شیمیایی
۲/۶۴	۷۳	۳۸/۸	۸/۳	۱/۱	۰/۷۴	۲/۵	۱/۰	۳۸/۰	۰/۶۲	+۶۰
۲/۹۴	۷۱	۳۷/۳	۸/۴	۱/۱	۰/۷۴	۲/۵	۱/۱	۳۹/۱	۰/۷۲	-۱۲۰

۲-۴-۴- تاثیر اندازه دانه در میزان بازیابی مس

در این مرحله سه پارامتر اندازه دانه، زمان و غلظت به عنوان متغیر در نظر گرفته شد و سایر پارامترها نیز به شرح زیر ثابت نگه داشته شد: دما ۱۰۰ درجه سانتیگراد، سرعت همزدن ۲۰۰ دور بر دقیقه، نسبت جامد به مایع ۱ به ۲۰.

در جدول های (۳-۴) و (۴-۴) تاثیر تغییرات زمان و غلظت در اندازه دانه های مختلف

دیده می شود.

جدول (۴) : درصد مس حل شده در مش های مختلف و غلظت های اسید مختلف، زمان حل کردن ۱ ساعت،

دماهی حل کردن ۱۰۰ درجه سانتیگراد، سرعت همزدن ۲۰۰ دور بر دقیقه

۱۱/۸	۱۰/۶	۸/۸	۵/۸	غلظت اسید(مول بر لیتر)
				مش
۰/۳۰	۰/۲۹	۰/۲۹	۰/۲۰	+۶۰
۰/۳۱	۰/۳۱	۰/۳۰	۰/۲۵	+۸۰
۰/۳۶	۰/۳۶	۰/۳۵	۰/۲۷	+۱۰۰
۰/۴۱	۰/۴۰	۰/۴۰	۰/۳۰	+۱۲۰
۰/۴۶	۰/۴۳	۰/۴۲	۰/۴۱	-۱۲۰

جدول (۴-۴) : درصد مس حل شده در مش های مختلف و زمان های مختلف، غلظت اسید ۸/۸ مول بر لیتر،

دماهی حل کردن ۱۰۰ درجه سانتی گراد، سرعت همزدن ۲۰۰ دور بر دقیقه

مش	زمان (دقیقه)				
	۶۰	۴۵	۳۰	۱۵	۰
+۶۰	۰/۲۹	۰/۲۸	۰/۲۰	۰/۲۲	۰/۱۶
+۸۰	۰/۳۰	۰/۲۹	۰/۲۷	۰/۲۲	۰/۱۷
+۱۰۰	۰/۳۵	۰/۳۳	۰/۳۰	۰/۲۷	۰/۱۹
+۱۲۰	۰/۴۰	۰/۳۸	۰/۳۶	۰/۲۸	۰/۲۰
-۱۲۰	۰/۴۲	۰/۳۹	۰/۳۷	۰/۲۸	۰/۲۲

۴-۳-۴- اثر پارامتر های مختلف در انحلال سرباره

پس از انجام آزمایشات روی دانه بندی های مختلف سرباره، مشخص شد که با کوچکتر شدن ذرات میزان بازیابی مس نیز افزایش می یابد و این مساله در حالی اتفاق می افتد که میزان مس موجود در اندازه دانه های مختلف تغییر قابل ملاحظه ای ندارد. لذا به منظور ییشانه کردن راندمان فرایند، کل سرباره با استفاده از آسیای گلوله ای تا حدی خرد شد که کلیه ذرات آن از الک با شماره مش ۱۲۰ عبور کردند. پس از خرد کردن سرباره اثر پارامتر هایی نظیر غلظت اسید، زمان، دما و سرعت همزدن در میزان بازیابی مس بررسی شد.

۴-۳-۴-۱ اثر دما

در ابتدا برای تعیین دماهی بهینه فرایند، عملیات حل کردن سرباره در دماهای ۶۵، ۴۰، ۲۷، ۰ و ۱۰۰ درجه سانتی گراد انجام شد و درصد بازیابی مس در دماهای مختلف محاسبه شد. در این مرحله سرعت همزدن ۲۰۰ دور بر دقیقه، نسبت جامد به مایع ۱ به ۲۰ در نظر گرفته شده بود. نتایج به دست آمده از این مرحله در جدول های (۴-۵) تا (۱۱-۴)، دیده می شود.

جدول(۴-۵) : جدول اثر تغییر دما در میزان بازیابی مس در سرعت همزدن ۲۰۰ دور بر دقیقه، زمان ۱۵ دقیقه و نسبت جامد به مایع ۱ به ۲۰

درصد بازیابی	دما (درجہ سانتی گراد)	غلظت (مول بر لیتر)
۱۸/۱۷	۲۷	۴/۰۸
۲۷/۱۸	۸۰	
۲۸/۷۵	۱۰۰	
۱۹/۷۶	۲۷	۰/۱۰
۲۴/۰۵	۴۰	
۲۶/۳۴	۶۵	
۲۸/۲۱	۸۰	
۲۹/۸۵	۱۰۰	

جدول(۴-۶) : جدول اثر تغییر دما در میزان بازیابی مس در سرعت همزدن ۲۰۰ دور بر دقیقه، زمان ۳۰ دقیقه و نسبت جامد به مایع ۱ به ۲۰

درصد بازیابی	دما (درجہ سانتی گراد)	غلظت (مول بر لیتر)
۲۵/۳۶	۲۷	۴/۰۸
۳۷/۷۵	۸۰	
۳۹/۷۵	۱۰۰	
۲۷/۴۵	۲۷	۰/۱۰
۳۲/۵۸	۴۰	
۳۷/۰۵	۶۵	
۳۹/۲۴	۸۰	
۴۰/۶۱	۱۰۰	

جدول(۴-۷) : جدول اثر تغییر دما در میزان بازیابی مس در سرعت همزدن ۲۰۰ دور بر دقیقه، زمان ۴۵ دقیقه و نسبت جامد به مایع ۱ به ۲۰

درصد بازیابی	دما (درجه سانتی گراد)	غلظت (مول بر لیتر)
۲۸/۹۷	۲۷	۴/۰۸
۴۳/۸۰	۸۰	
۴۰/۹۴	۱۰۰	
۳۱/۹۴	۲۷	۰/۱۰
۳۹/۹۰	۴۰	
۴۳/۳۵	۶۵	
۴۷/۱۳	۸۰	۰/۱۰
۴۷/۶۴	۱۰۰	

جدول(۴-۸) : جدول اثر تغییر دما در میزان بازیابی مس در سرعت همزدن ۲۰۰ دور بر دقیقه، زمان ۶۰ دقیقه و نسبت جامد به مایع ۱ به ۲۰

درصد بازیابی	دما (درجه سانتی گراد)	غلظت (مول بر لیتر)
۲۴/۵۶	۲۷	۴/۰۸
۴۹/۶۸	۸۰	
۵۲/۹۴	۱۰۰	
۳۶/۷۱	۲۷	۰/۱۰
۴۵/۱۰	۴۰	
۴۸/۹۰	۶۵	
۵۲/۸۵	۸۰	۰/۱۰
۵۴/۴۰	۱۰۰	

جدول (۹-۴) : جدول اثر تغییر دما در میزان بازیابی مس در سرعت همزدن ۲۰۰ دور بر دقیقه، زمان ۹۰ دقیقه و نسبت جامد به مایع ۱ به ۲۰

درصد بازیابی	دما (درجه سانتی گراد)	غلظت (مول بر لیتر)
۳۸/۶۹	۲۷	۴/۰۸
۵۵/۲۴	۸۰	
۵۶/۷۵	۱۰۰	
۴۰/۹۴	۲۷	۰/۱۰
۵۰/۱۳	۴۰	
۵۳/۳۴	۶۵	
۵۷/۲۱	۸۰	۰/۱۰
۵۸/۶۴	۱۰۰	

جدول (۱۰-۴) : جدول اثر تغییر دما در میزان بازیابی مس در سرعت همزدن ۲۰۰ دور بر دقیقه، زمان ۱۰۵ دقیقه و نسبت جامد به مایع ۱ به ۲۰

درصد بازیابی	دما (درجه سانتی گراد)	غلظت (مول بر لیتر)
۳۹/۸۴	۲۷	۴/۰۸
۵۶/۹۴	۸۰	
۵۸/۳۸	۱۰۰	
۴۲/۱۷	۲۷	۰/۱۰
۵۲/۰۵	۴۰	
۵۵/۱۳	۶۵	
۵۹/۹۴	۸۰	۰/۱۰
۶۰/۱۳	۱۰۰	

جدول (۱۱-۴) : جدول اثر تغییر دما در میزان بازیابی مس در سرعت همزدن ۲۰۰ دور بر دقیقه، زمان ۱۲۰ دقیقه و

نسبت جامد به مایع ۱ به ۲۰

درصد بازیابی	دما (درجه سانتی گراد)	غلظت (مول بر لیتر)
۴۰/۷۳	۲۷	
۵۸/۱۳	۸۰	۴/۰۸
۵۹/۹۴	۱۰۰	
۴۳/۱۸	۲۷	
۵۲/۹۰	۴۰	
۵۶/۰۵	۶۵	۰/۱۰
۶۰/۲۴	۸۰	
۶۱/۸۵	۱۰۰	

۴-۳-۲- اثر غلظت

برای تعیین اثر غلظت و غلظت بهینه، در سه دمای ۲۷، ۸۰ و ۱۰۰ درجه سانتی گراد، غلظت‌های مختلف، مورد آزمایش قرار گرفت. در این مرحله نسبت جامد به مایع ۱ به ۲۰ و سرعت همزدن ۲۰۰ دور بر دقیقه در نظر گرفته شده بود. نتایج به دست آمده در جدول‌های (۱۲) تا (۱۸) دیده می‌شود.

جدول (۴-۱۲) : جدول اثر تغییر غلظت در میزان بازیابی مس در سرعت همزدن ۲۰۰ دور بر دقیقه، زمان ۱۵ دقیقه و

نسبت جامد به مایع ۱ به ۲۰

درصد بازیابی	غلظت (مول بر لیتر)	دما (درجه سانتی گراد)
۴/۳۵	۱/۰۲	۲۷
۱۱/۰۸	۲/۰۴	
۱۰/۶۳	۳/۰۶	
۱۸/۲۷	۴/۰۸	
۱۹/۷۶	۵/۱۰	
۲۳/۲۴	۱/۰۲	
۲۴/۲۱	۲/۰۴	
۲۰/۲۱	۳/۰۶	
۲۷/۱۸	۴/۰۸	
۲۸/۲۱	۵/۱۰	
۲۸/۷۰	۴/۰۸	۸۰
۲۹/۸۰	۵/۱۰	
۳۰/۱۱	۷/۱۲	۱۰۰

جدول(۱۳-۴) : جدول اثر تغییر غلظت در میزان بازیابی مس در سرعت همزدن ۲۰۰ دور بر دقیقه، زمان ۳۰ دقیقه و

نسبت جامد به مایع ۱ به ۲۰

درصد بازیابی	غلظت (مول بر لیتر)	دما (درجه سانتی گراد)
۶/۳۸	۱/۰۲	۲۷
۱۷/۰۱	۲/۰۴	
۲۰/۱۳	۳/۰۶	
۲۵/۳۶	۴/۰۸	
۲۷/۴۵	۵/۱۰	
۳۲/۲۴	۱/۰۲	۸۰
۳۳/۶۵	۲/۰۴	
۳۴/۸۵	۳/۰۶	
۳۶/۷۵	۴/۰۸	
۳۹/۲۴	۵/۱۰	
۳۹/۷۵	۴/۰۸	۱۰۰
۴۰/۶۱	۵/۱۰	
۴۱/۱۳	۶/۱۲	

جدول (۱۴-۴) : جدول اثر تغییر غلظت در میزان بازیابی مس در سرعت همزدن ۲۰۰ دور بر دقیقه، زمان ۴۵ دقیقه و نسبت جامد به مایع ۱ به ۲۰

درصد بازیابی	غلظت (مول بر لیتر)	دما (درجه سانتی گراد)
۷/۵۸	۱/۰۲	۲۷
۲۱/۰۱	۲/۰۴	
۲۵/۷۵	۳/۰۶	
۲۸/۹۷	۴/۰۸	
۳۱/۹۴	۵/۱۰	
۳۷/۶۵	۱/۰۲	۸۰
۳۹/۲۴	۲/۰۴	
۴۱/۲۴	۳/۰۶	
۴۳/۸۵	۴/۰۸	
۴۶/۱۳	۵/۱۰	۱۰۰
۴۰/۹۴	۴/۰۸	
۴۷/۶۴	۵/۱۰	
۴۸/۹۴	۶/۱۲	

جدول (۱۵-۴) : جدول اثر تغییر غلظت در میزان بازیابی مس در سرعت همزدن ۲۰۰ دور بر دقیقه، زمان ۶۰ دقیقه و نسبت جامد به مایع ۱ به ۲۰

درصد بازیابی	غلظت (مول بر لیتر)	دما (درجه سانتی گراد)
۸/۸۱	۱/۰۲	۲۷
۲۴/۱۰	۲/۰۴	
۲۸/۱۳	۳/۰۶	
۳۴/۵۶	۴/۰۸	
۳۷/۷۱	۵/۱۰	
۴۳/۲۱	۱/۰۲	۸۰
۴۵/۱۳	۲/۰۴	
۴۷/۱۳	۳/۰۶	
۴۹/۶۸	۴/۰۸	
۵۲/۸۰	۵/۱۰	
۵۲/۹۴	۴/۰۸	۱۰۰
۵۴/۴۰	۵/۱۰	
۵۵/۸۴	۷/۱۲	

جدول (۴-۱۶) : جدول اثر تغییر غلظت در میزان بازیابی مس در سرعت همزدن ۲۰۰ دور بر دقیقه، زمان ۹۰ دقیقه و نسبت جامد به مایع ۱ به ۲۰

درصد بازیابی	غلظت (مول بر لیتر)	دما (درجه سانتی گراد)
۱۰/۱۵	۱/۰۲	۲۷
۲۶/۱۲	۲/۰۴	
۳۳/۸۷	۳/۰۶	
۳۸/۶۹	۴/۰۸	
۴۰/۹۴	۵/۱۰	۸۰
۵۰/۲۱	۱/۰۲	
۵۲/۶۵	۲/۰۴	
۵۳/۹۴	۳/۰۶	
۵۵/۲۴	۴/۰۸	۱۰۰
۵۷/۲۱	۵/۱۰	
۵۶/۷۵	۴/۰۸	
۵۸/۶۴	۵/۱۰	
۵۹/۶۲	۶/۱۲	

جدول (۴-۱۷) : جدول اثر تغییر غلظت در میزان بازیابی مس در سرعت همزدن ۲۰۰ دور بر دقیقه، زمان ۱۰۵ دقیقه و

نسبت جامد به مایع ۱ به ۲۰

درصد بازیابی	غلظت (مول بر لیتر)	دما (درجہ سانتی گراد)
۱۰/۴۵	۱/۰۲	۲۷
۲۶/۷۰	۲/۰۴	
۳۴/۵۷	۳/۰۶	
۳۹/۸۴	۴/۰۸	
۴۲/۱۷	۵/۱۰	
۵۱/۱۳	۱/۰۲	۸۰
۵۳/۹۴	۲/۰۴	
۵۵/۲۰	۳/۰۶	
۵۶/۹۴	۴/۰۸	
۵۹/۹۴	۵/۱۰	۱۰۰
۵۸/۳۸	۴/۰۸	
۶۰/۱۳	۵/۱۰	
۶۰/۵۸	۶/۱۲	

جدول (۱۸-۴) : جدول اثر تغییر غلظت در میزان بازیابی مس در سرعت همزدن ۲۰۰ دور بر دققه، زمان ۱۲۰ دققه و نسبت جامد به مایع ۱ به ۲۰

درصد بازیابی	غلظت (مول بر لیتر)	دما (درجه سانتی گراد)
۱۰/۵۸	۱/۰۲	۲۷
۲۷/۰۱	۲/۰۴	
۳۵/۰۱	۳/۰۶	
۴۰/۷۳	۴/۰۸	
۴۳/۱۸	۵/۱۰	
۵۲/۰۵	۱/۰۲	۸۰
۵۴/۲۴	۲/۰۴	
۵۶/۷۵	۳/۰۶	
۵۸/۱۳	۴/۰۸	
۶۰/۲۴	۵/۱۰	۱۰۰
۵۹/۹۴	۴/۰۸	
۶۱/۸۵	۵/۱۰	
۶۱/۱۳	۶/۱۲	

۴-۳-۴- اثر سرعت همزدن

برای تعیین تأثیر سرعت همزدن در میزان بازیابی مس از سرباره کوره ریورب، در حالت بدون همزدن و حالت دارای همزدن در سه سرعت ۱۰۰، ۲۰۰ و ۴۰۰ دور بر دقیقه، در غلظت ۵/۱۰ مول بر لیتر، دمای ۸۰ درجه سانتی گراد، نسبت جامد به مایع ۱ به ۲۰ و زمان ۱ ساعت آزمایش شد. نتیجه این آزمایشات در جدول (۴-۱۹) دیده می‌شود.

جدول (۴-۱۹) : میزان بازیابی مس در سرعت همزدن‌های مختلف، دما ۸۰ درجه سانتی گراد، زمان انحلال ۱ ساعت،

غلظت ۵/۱۰ مول بر لیتر و نسبت جامد به مایع ۱ به ۲۰.

درصد بازیابی	سرعت همزدن (دور بر دقیقه)
۳۵/۶۱	بدون همزدن
۵۱/۹۵	۱۰۰
۵۲/۸۵	۲۰۰
۵۲/۷۰	۴۰۰

۴-۳-۴- اثر زمان

برای بررسی تأثیر زمان در کلیه آزمایشها در زمانهای ۱۵، ۳۰، ۴۵، ۶۰، ۸۰، ۱۰۵ و ۱۲۰ دقیقه نمونه برداری انجام شد. که نتایج این آزمایشات در جدول‌های (۴-۱۸) تا (۴-۲۰) دیده می‌شود. همانطور که در این شکل‌ها نیز دیده می‌شود، با افزایش زمان، میزان بازیابی نیز افزایش می‌یابد. در منحنی‌های درصد بازیابی بر حسب زمان سه منطقه مشخص است. در منطقه اول بازیابی با سرعت بالایی انجام می‌گیرد ولی در منطقه دوم نرخ افزایش بازیابی کاهش می‌یابد و در منطقه سوم تأثیر زمان در میزان بازیابی چندان محسوس نیست.

۴-۴- نتایج تیتراسیون

تیتراسیون به منظور بررسی میزان اسید باقیمانده پس از انحلال انجام شد. در این مرحله از محلول سود یک نرمال استفاده شد. نمونه برداری برای تیتر کردن به اینصورت انجام شد که ابتدا وزن معینی از سرباره در دمای 80°C درجه سانتی گراد، غلظت های $1/02$, $1/06$ و $4/08$ مول بر لیتر، سرعت همزدن 200 دور بر دقیقه و نسبت جامد به مایع 1 به 20 حل شد. سپس در بازه های زمانی 15 , 30 , 45 , 60 , 90 , 105 و 120 دقیقه از محلول 10 سی سی نمونه برداشته شد و پس از صاف کردن، تیتر شد. در این مرحله از حجم باز (محلول سود) مصرف شده به عنوان معیاری برای محاسبه اسید باقیمانده استفاده شد. میزان باز مصرف شده در هر بار نمونه برداری در جدول (۴-۲۰) ارایه شده است.

جدول (۴-۲۰) : جدول نتایج تیزاسیون و محاسبه غلظت محلول باقیمانده پس از طی زمان معین

غلظت محلول باقیمانده (مول بر لیتر)	حجم باز مصرف شده (میلی لیتر)	زمان (دقیقه)	غلظت اولیه (مول بر لیتر)
۰/۸۲	۱۶/۴	۱۵	۱/۰۲
۰/۸۱	۱۶/۲	۳۰	
۰/۷۴	۱۴/۷	۴۰	
۰/۶۴	۱۲/۸	۶۰	
۰/۵۷	۱۱/۴	۹۰	
۰/۰۰	۱۰/۹	۱۰۵	
۰/۰۱	۱۰/۱	۱۲۰	
۲/۷۶	۵۵/۲	۱۵	۲/۰۶
۲/۷۷	۵۳/۴	۳۰	
۲/۴۶	۴۹/۱	۴۰	
۲/۳۳	۴۷/۶	۶۰	
۲/۲۲	۴۴/۴	۹۰	
۲/۱۱	۴۲/۱	۱۰۵	
۲/۰۴	۴۰/۷	۱۲۰	
۳/۵۷	۷۱/۳	۱۵	۳/۰۸
۳/۴۰	۶۷/۹	۳۰	
۲/۲۱	۶۷/۱	۴۰	
۲/۱۳	۶۲/۶	۶۰	
۲/۸۷	۵۷/۳	۹۰	
۲/۷۳	۵۴/۵	۱۰۵	
۲/۶۶	۵۲/۱	۱۲۰	

فصل پنجم

پرسی و تحلیل نتایج

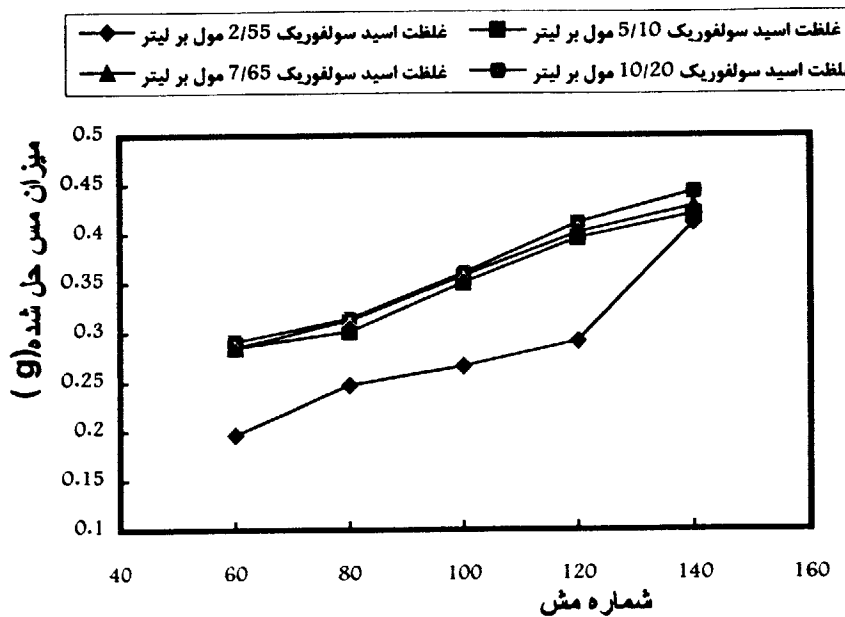
۱-۵- تعیین ترکیب سرباره

بررسی‌های ساختاری توسط روش XRD نشان می‌دهد که اجزا اصلی سرباره شامل دو فاز فاپالبیت ($2\text{FeO} \cdot \text{SiO}_2$) و مگتیت (Fe_3O_4) است. با تطابق کارتهای استاندارد و اطلاعات موجود در منحنی XRD فازهای کالکوپیریت (CuFeS_2) و سبلیکات کلسیم (CaSiO_3) نیز شناسایی می‌شوند. با توجه به این امر می‌توان دریافت که عده مس موجود در سرباره کوره ریورب به صورت کالکوپیریت (CuFeS_2) موجود است. البته سایر ترکیبات مس نظیر کالکوسبیت (Cu_2S) و بورنیت (Cu_5FeS_4) نیز معمولاً در سرباره دیده می‌شوند [۴].

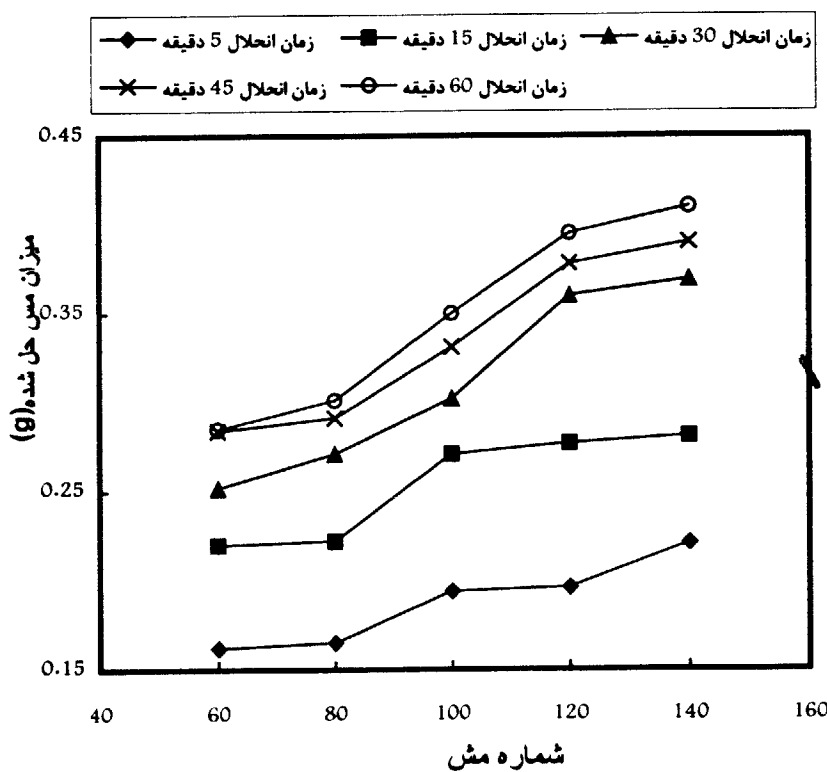
۲-۵- بررسی اثر اندازه دانه

با توجه به تحقیقات انجام شده [۱۱] مشخص شده است که با کوچکتر شدن اندازه ذرات، میزان بازیابی مس نیز افزایش می‌یابد. با توجه به جدول‌های (۳-۴) و (۴-۴) نیز می‌توان دریافت که با کاهش اندازه دانه میزان بازیابی افزایش می‌یابد. با توجه به این نتایج مشخص می‌شود که ترکیبات حاوی مس در سرباره از اندازه کوچکی برخوردارند. در صورتیکه میزان مس حل شده در اندازه دانه‌های مختلف را پس از یک ساعت حل کردن بر روی یک منحنی رسم کنیم شکل (۵-۱) به دست می‌آید که این مساله خود بیانگر افزایش میزان بازیابی با کاهش اندازه دانه است.

همانطور که در شکل (۵-۱) دیده می‌شود، با کاهش اندازه ذرات تا مش ۱۲۰ ، افزایش محسوسی در میزان بازیابی مس دیده می‌شود. لذا می‌توان به این نتیجه رسید که با رسیدن اندازه ذرات به این اندازه بخش اعظم ترکیبات حاوی مس آزاد می‌شوند.



شکل (۱-۵) : منحنی میزان مس حل شده در مش‌ها و غلظت‌های مختلف، زمان ۱ ساعت ، دما ۱۰۰ درجه سانتی گراد، نسبت جامد به مایع ۱ به ۲۰، سرعت همزن ۲۰۰ دور بر دقیقه

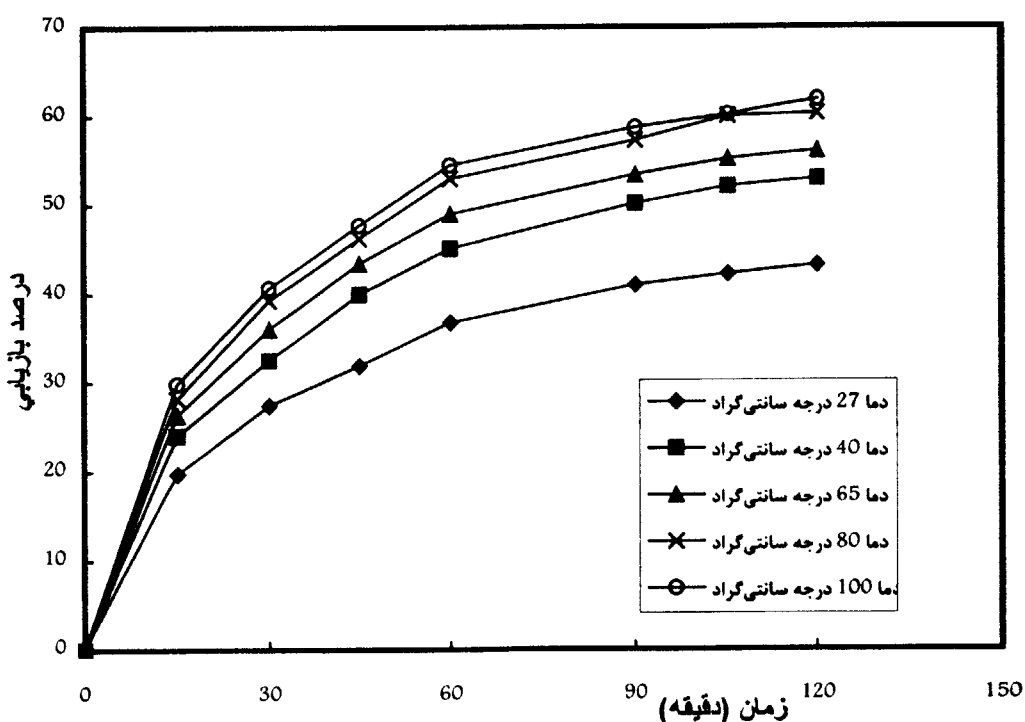


شکل (۱-۶) : منحنی میزان مس حل شده در مش‌ها و زمان‌های مختلف، غلظت ۱۰/۵ مول بر لیتر ، دما ۱۰۰ درجه سانتی گراد، نسبت جامد به مایع ۱ به ۲۰، سرعت همزن ۲۰۰ دور بر دقیقه

همانطور که دیده می‌شود، با کوچک شدن ذرات از مش $+60$ تا $+80$ تغییر قابل ملاحظه‌ای در میزان مس حل شده ایجاد می‌شود. لذا می‌توان نتیجه گرفت که ترکیبات حاوی مس کوچکتر از مش $+80$ هستند. با توجه به نتایج بدست آمده در این بخش، ما بقی سرباره به حدی خرد شد که همه ذرات آن کوچکتر از مش 120 شدند و بقیه آزمایشات بر روی کل سرباره انجام شد. با توجه به اینکه با کوچک شدن ذرات عمل میزان بازیابی تغییر چندانی ندارد و درصد مس موجود در مش‌های مختلف نیز تفاوت چندانی ندارد، این عمل به منظور افزایش سطح تماس کانه با حلal انجام گرفت.

۵-۳- بررسی اثر دما

با استفاده از نتایج جدول‌های (۴-۱) تا (۴-۵) و ترسیم منحنی درصد بازیابی بر حسب زمان در دماهای مختلف، شکل (۵-۲) به دست می‌آید.

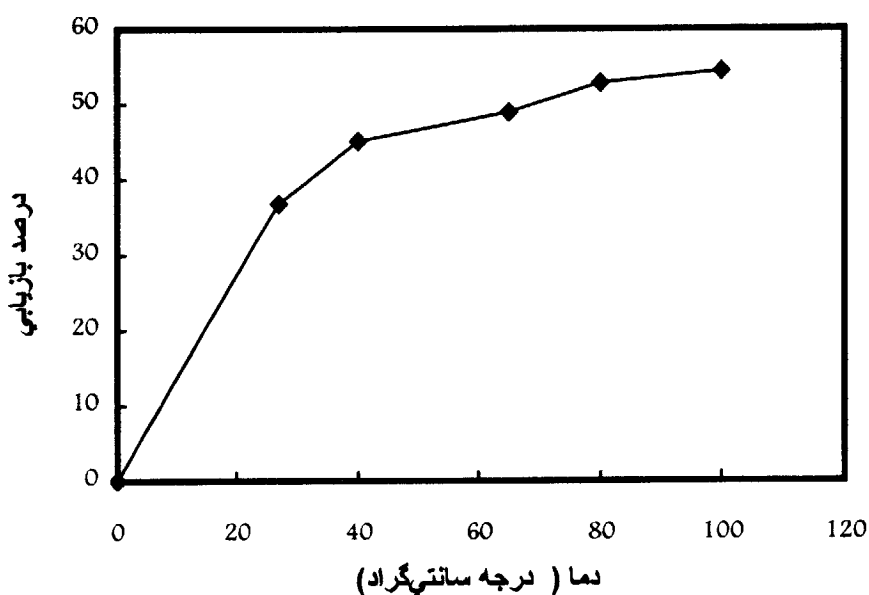


شکل (۵-۲) : منحنی درصد بازیابی مس بر حسب زمان، غلظت اسد ۰/۱۰ مول بر لیتر، سرعت همزدن ۲۰۰ دور بر دقیقه،

نسبت جامد به مایع ۱ به ۲۰

با توجه به شکل (۵-۳) می‌توان دریافت که با افزایش دما تغییر محسوسی در میزان بازیابی مس ایجاد می‌شود. با افزایش دما از ۲۷ تا ۶۵ درجه سانتی گراد میزان بازیابی افزایش زیادی دارد. همانطور که در شکل مشاهده می‌شود، در دمای ۱۰۰ درجه پیشترین بازیابی به دست می‌آید. با ترسیم تغییرات درصد بازیابی در دماهای مختلف (شکل (۵-۴))، می‌توان دریافت که میزان افزایش بازیابی در دو دمای ۸۰ و ۱۰۰ درجه سانتی گراد، تغییر محسوس ندارد. با توجه به تبخیر زیاد محلول در دمای ۱۰۰ درجه سانتی گراد و مشکل بودن انجام عملیات حل کردن در این دما، دمای ۸۰ درجه سانتی گراد را می‌توان به عنوان دمای بهینه انحلال در نظر گرفت.

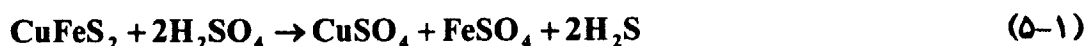
با ترسیم منحنی میزان بازیابی مس در دماهای مختلف و زمان یک ساعت می‌توان روند افزایش میزان بازیابی را بررسی کرد.



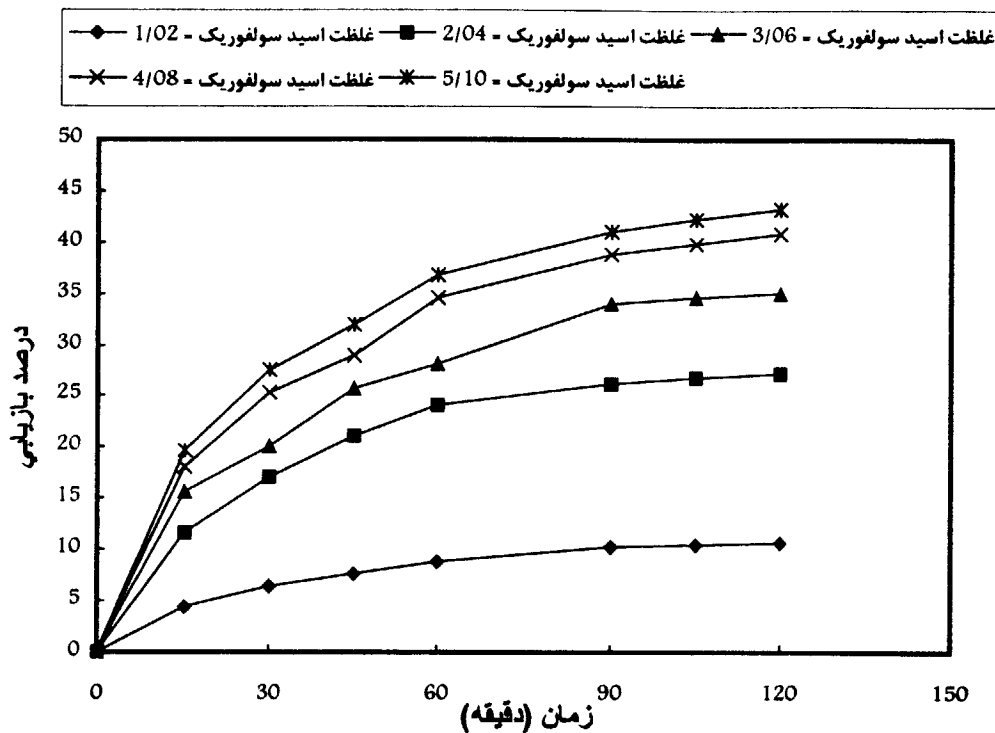
شکل (۵-۴) : منحنی درصد بازیابی مس بر حسب دما، غلظت اسد ۵/۱۰ مول بر لیتر، سرعت همزدن ۲۰۰ دور بر دقیقه، نسبت جامد به مایع ۱ به ۲۰ ، زمان انحلال ۱ ساعت

۴-۵- بررسی اثر غلظت

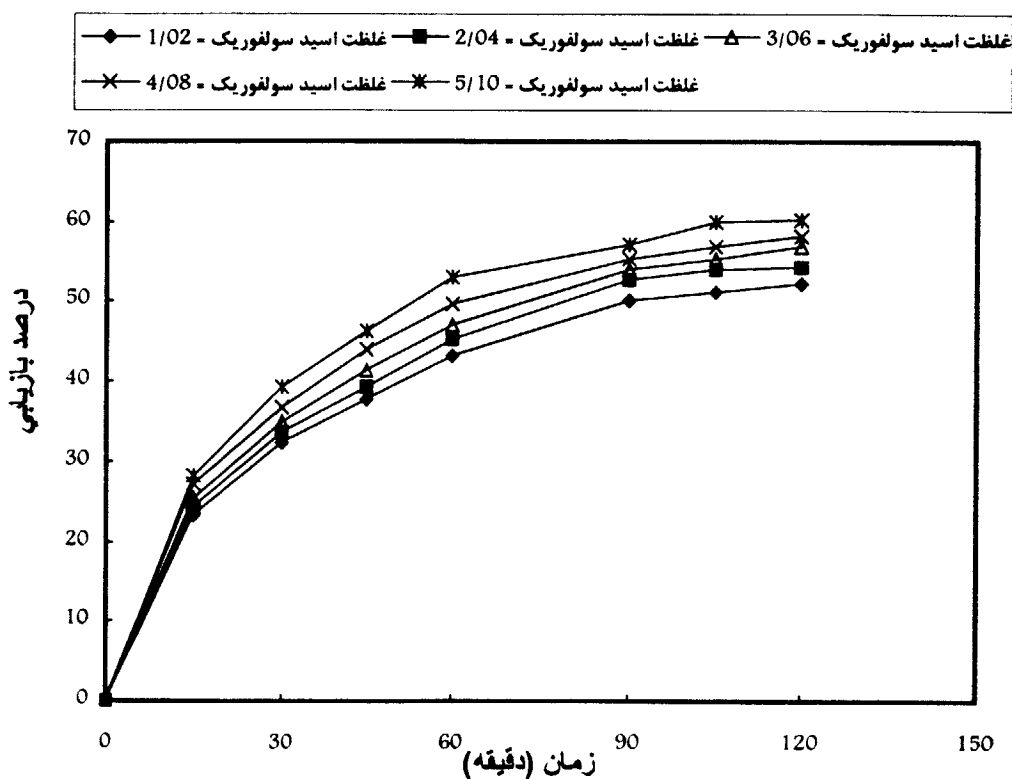
با توجه به نتایج بدست آمده در بخش (۱-۵)، در صورتیکه تنها ترکیبات حاوی مس موجود در سرباره را کالکوپیریت در نظر بگیریم می‌توانیم غلظت استوکیومتری مورد نیاز برای انحلال این کانه را بر اساس رابطه (۱-۵)، محاسبه کنیم:



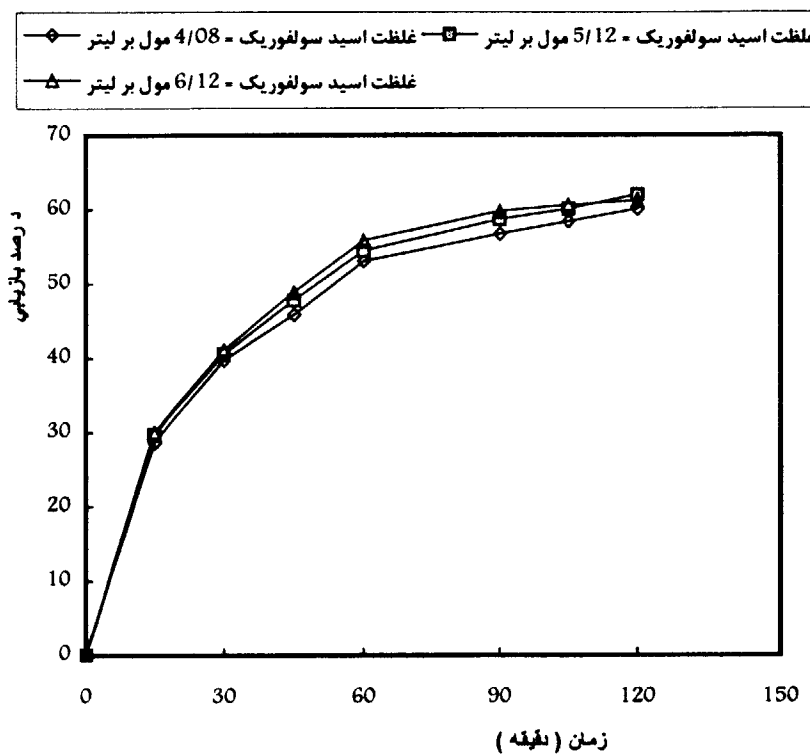
بنابراین برای حل کردن مس موجود در ۱۰۰ گرم سرباره باید از محلولی با غلظت ۰/۰۲ مول بر لیتر استفاده کنیم. به عبارت دیگر میزان مس موجود در ۱۰۰ گرم سرباره با ۰/۰۲ مول اسید سولفوریک واکنش می‌دهد. با استفاده از این غلظت عملأً میزان بازیابی ناچیز و در حد صفر است که دلیل این امر وجود مقادیری گانگ فلیایی نظیر CaO و وجود آهن در سرباره است. لذا در این تحقیق از غلظت‌های بالاتر استفاده شده است. با توجه به شکلهای (۱-۵)، (۱-۶) و (۱-۷) می‌توان تغییرات میزان بازیابی را با زمان در دماهای مختلف دید. با ترسیم منحنی تغییرات بازیابی بر حسب غلظت می‌توان دریافت که با افزایش غلظت میزان بازیابی نیز افزایش می‌باید با توجه به کمتر بودن تغییرات بازیابی در غلظتهاي ۱/۰۲، ۲/۰۴ و ۳/۰۶ مول بر لیتر، می‌توان غلظت ۴/۰۸ مول بر لیتر را به عنوان غلظت بهینه برای انحلال سرباره در نظر گرفت.



شکل (۵-۵) : منحنی درصد بازیابی مس بر حسب زمان، دما ۲۷ درجه سانتی گراد، سرعت همزدن ۲۰۰ دور بر دقیقه، نسبت جامد به مایع ۱ به ۲۰



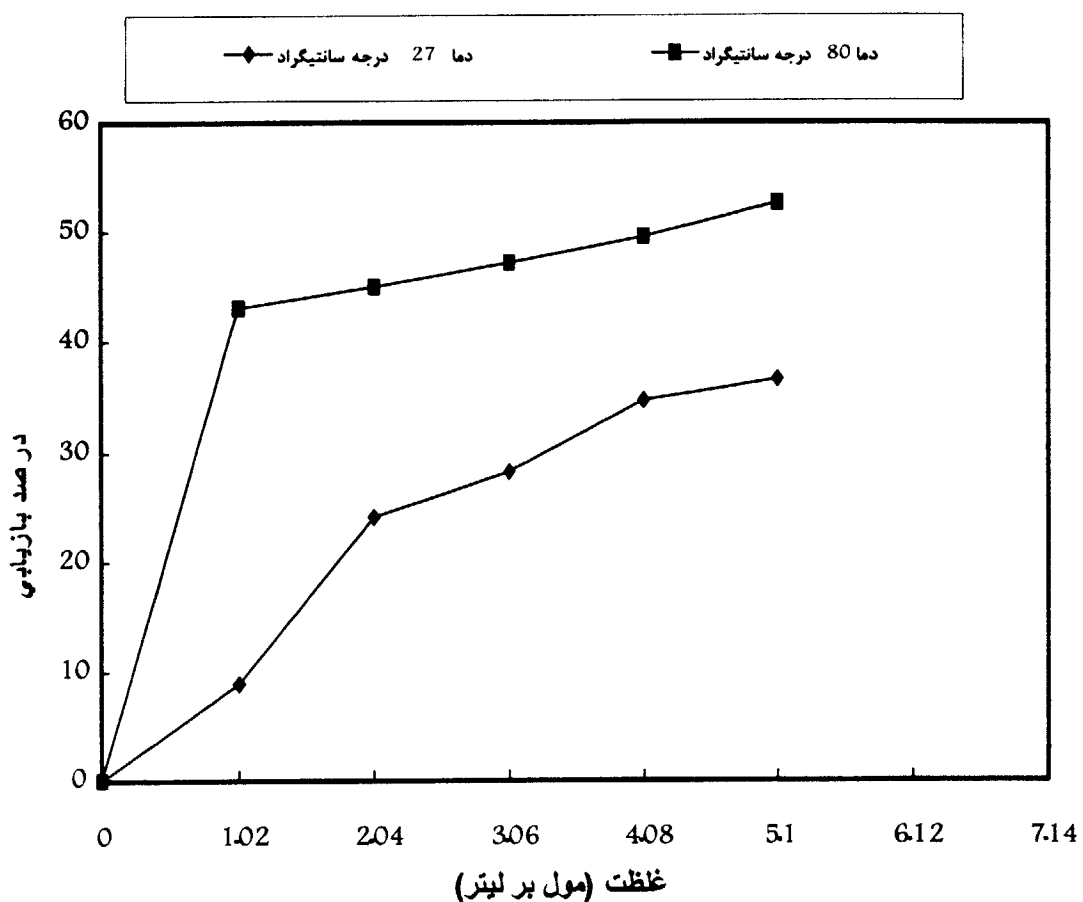
شکل (۵-۶) : منحنی درصد بازیابی مس بر حسب زمان ، دما ۸۰ درجه سانتی گراد ، سرعت همزدن ۲۰۰ دور بر دقیقه ، نسبت جامد به مایع ۱ به ۲۰



شکل(۵-۷) : منحنی درصد بازیابی مس بر حسب زمان ، دما 100 درجه سانتی گراد ، سرعت همزدن 200 دور بر دقیقه ، نسبت جامد به مایع $۱\text{ به } ۲۰$

با توجه به شکل های (۵-۵)، (۵-۶) و (۵-۷) می توان دریافت که در دماهای پایین تر اثر افزایش غلظت در میزان بازیابی مس، بسیار بیشتر از دماهای بالاتر است. می توان دلیل این امر را مبنی بر این مساله دانست که هر چند غلظت های مورد استفاده، بسیار بیشتر از غلظت سوردنیاز برای انحلال مس سرباره است، ولی در دماهای پایین تر به علت کمتر بودن نیروی محركه انحلال یعنی انرژی مورد نیاز برای حرکت مولکول ها، اثر تغییرات غلظت نمایانter است ، ولی در دماهای بالاتر ، تاثیرات غلظت کاهش می یابد. این امر را می توان با ترسیم منحنی میزان بازیابی بر حسب غلظت در زمان ۱ ساعت و دماهای مختلف نیز دریافت. همانطور که در

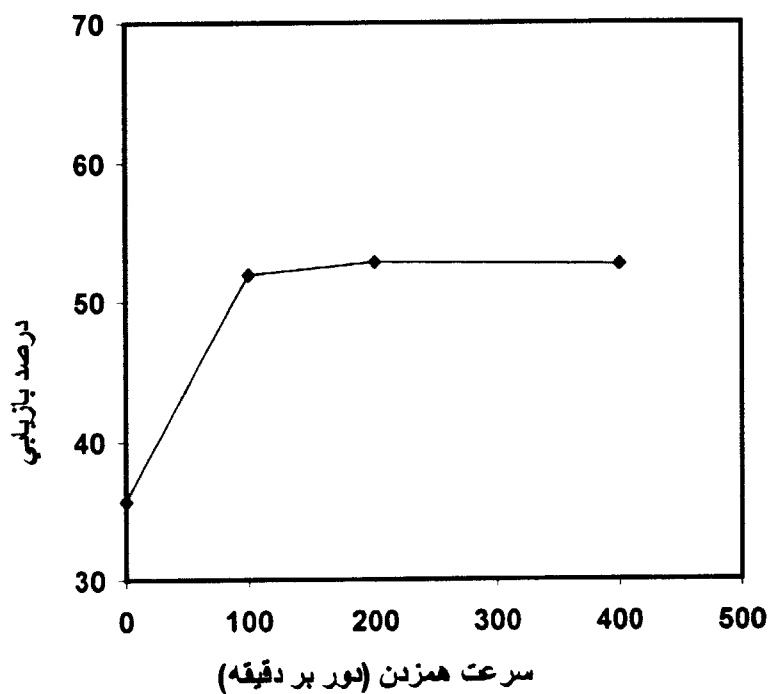
شکل (۵-۸) نیز دیده می‌شود، میزان بازیابی در دمای ۲۷ درجه سانتی‌گراد و غلظت‌های مختلف، کمتر از میزان بازیابی در همان غلظت‌ها و در دمای ۸۰ درجه سانتی‌گراد می‌باشد. از طرفی شبیه افزایش میزان بازیابی با افزایش غلظت نیز در دمای ۲۷ درجه سانتی‌گراد بسیار بیشتر از دمای ۸۰ درجه سانتی‌گراد است و در دمای ۸۰ درجه سانتی‌گراد پس از یک افزایش شدید، روند افزایش میزان بازیابی ثابت شده است، ولی در دمای ۲۷ درجه سانتی‌گراد این روند ثابت نیست.



شکل (۵-۸) : منحنی درصد بازیابی مس بر حسب غلظت، زمان انحلال ۱ ساعت، سرعت همزدن ۲۰۰ دور بر دقیقه ، نسبت جامد به مایع ۱ به ۲۰

۵-۵- بررسی اثر سرعت همزدن

با ترسیم منحنی میزان بازیابی بر حسب سرعت همزدن در دمای ۸۰ درجه سانتی گراد و زمان ۱ ساعت (شکل ۵-۹)، می‌توان دریافت که با افزایش سرعت همزدن از حالت بدون همزدن تا حالت دارای سرعت همزدن ۱۰۰ دور بر دقیقه میزان تغییرات بازیابی قابل ملاحظه است و پس از آن تغییر خاصی در میزان بازیابی ایجاد نمی‌شود و حتی مقداری کاهش نیز ایجاد می‌شود. لذا می‌توان در نظر گرفت که برای افزایش بازیابی مس از سرباره محلول را باید هم زد، ولی سرعت همزدن تاثیر چندانی در افزایش بازیابی ندارد [۱۱]. با توجه به نتایج به دست آمده در این مرحله سرعت همزدن برای کلبه آزمایشات ۲۰۰ دور بر دقیقه در نظر گرفته شد.



شکل (۵-۹) : منحنی درصد بازیابی بر حسب سرعت همزدن ، دما ۸۰ درجه سانتی گراد ، زمان ۱ ساعت ، غلظت اسید ۵/۱۰ مول بر لیتر

۵-۶- بررسی اثر زمان

در کلیه آزمایشات در فواصل زمانی معین نمونه برداری از محلول انجام شده است.

باقوچه به شکل‌های (۵-۳)، (۵-۴)، (۵-۵) و (۵-۷) می‌توان دریافت که با افزایش زمان حل کردن میزان بازیابی نیز افزایش می‌یابد. البته همانطور که مشهود است، در کلیه منحنی‌ها در لحظات ابتدایی شبیه منحنی بسیار زیاد است و با افزایش زمان این شبیه کاهش می‌یابد. نرخ افزایش بازیابی پس از زمان ۹۰ دقیقه به طور محسوس کاهش می‌یابد و در زمانهای ۱۰۵ و ۱۲۰ دقیقه، میزان بازیابی تقریباً ثابت می‌شود. لذا می‌توان زمان ۱۰۵ دقیقه را به عنوان زمان بهینه انحلال در نظر گرفت.

۵-۷- بررسی سیستمیک انحلال [۱۶ و ۱۷]

عموماً سه حالت در بررسی سیستمیک انحلال بک ذره جامد در سیال مدنظر قرار می‌گیرد.

این سه حالت عبارتند از:

- انتقال جرم در داخل توده سیال
- انتقال جرم در داخل قشر پسماند یا محصول واکنش
- واکنش شیمیایی روی فصل مشترک

علاوه بر این سه حالت از حالتهای کنترل مخلوط نیز می‌توان استفاده کرد که در این تحقیق از آنها استفاده نشده است. در این بررسیها ذره را کروی فرض کرده و از X به عنوان کسر واکنش کرده در محاسبات استفاده می‌شود اصولاً X اینگونه تعریف می‌شود:

$$X = \frac{W_0 - W}{W_0} \quad (5-1)$$

که W_0 جرم اولیه ذره و W جرم ذره پس از گذشت زمان t می‌باشد.

در این تحقیق به جای X از درصد بازیابی (R) استفاده شده است. درصد بازیابی طبق

تعریف برابر است با:

$$R = \frac{C}{C_0} \times 100 \quad (5-2)$$

که C میزان مس حل شده در محلول و C_0 میزان مس اولیه موجود در سرباره می‌باشد.

با توجه به تعاریف R و X می‌توان دریافت که:

$$R = X \times 100 \quad (5-3)$$

لذا می‌توان از R به جای X استفاده کرد.

با توجه به محاسبات در صورتی که انتقال جرم در محلول، کنترل کننده سرعت واکنش

باشد بین R و t (زمان) یک رابطه خطی وجود دارد که به این صورت بیان می‌شود:

$$R = K \cdot t \quad (5-4)$$

که t زمان و K ثابت سرعت نفوذ در محلول می‌باشد.

در صورتیکه واکنش شیمیایی در قصل مشترک کنترل کننده سرعت واکنش باشد رابطه

زیر بین R و t برقرار است:

$$1 - (1 - R)^{\frac{1}{c}} = K'_c \cdot t \quad (5-5)$$

که K'_c ثابت سرعت ظاهری واکنش شیمیایی است.

در صورتیکه سمت چپ معادله (5-5) را $F(R)$ در نظر بگیریم خواهیم داشت:

$$F(R) = K'_c \cdot t \quad (5-6)$$

بنابراین $F(R)$ با t رابطه خطی خواهد داشت.

در صورتیکه انتقال جرم در داخل فشر پسمند کترل کننده سرعت واکنش باشد بین R و

t رابطه زیر وجود دارد:

$$1 - \frac{2}{3}R - (1-R)^{\frac{2}{3}} = K'_m \cdot t \quad (5-7)$$

که K' ثابت سرعت ظاهری انتقال جرم می‌باشد.

در صورتیکه سمت چپ معادله (5-7) را $F'(R)$ در نظر بگیریم خواهیم داشت:

$$F'(R) = K'_m \cdot t \quad (5-8)$$

بنابراین $F'(R)$ با t رابطه خطی خواهد داشت.

برای بررسی سبیتبک انحلال از نتایج ارایه شده در شکل (5-4) استفاده شد. به این منظور

لازم است تا معادله‌ای که در نتایج به دست آمده صدق می‌کند را پیدا کنیم. لذا در هر دما بهترین معادله‌ای که در نقاط به دست آمده صدق می‌کند را رسم می‌کنیم پس از رسم باید بررسی کنیم که کدام معادله بر نقاط بیشتری تطابق دارد. برای رسم این معادلات باید یک مقدار اولیه برای مقادیر K داشته باشیم. لذا در منحنی درصد بازیابی - زمان (شکل (5-3)) در نقاط مختلف K را برای حالات مختلف کترل محاسبه می‌کنیم و پس از رسم نمودارها و پیدا کردن نمودار صحیع، K را تصحیح می‌نماییم [۱۲]. برای محاسبات از نتایج به دست آمده در دمای ۸۰ درجه سانتی گراد استفاده می‌شود.

در صورتی که انتقال جرم در محلول کترل کننده سرعت باشد، بر اساس رابطه (5-4)،

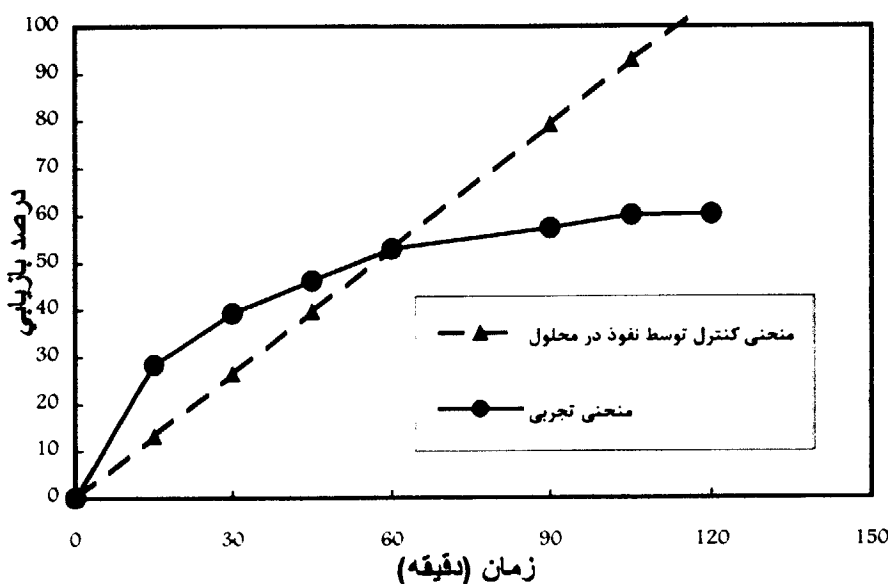
در صورتی که واکنش شیمیایی کترل کننده سرعت باشد، بر اساس رابطه (5-5) و در صورتی که

انتقال جرم در قشر پسماند کنترل کننده سرعت باشد، بر اساس رابطه (۵-۷)، می‌توانیم K را محاسبه نماییم. این مقادیر در جدول (۵-۱) ارایه شده است

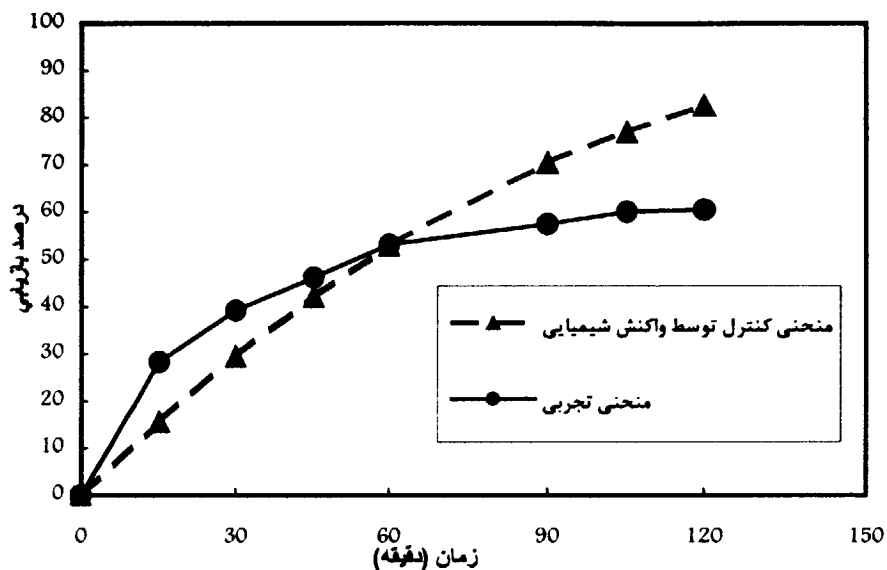
جدول (۵-۱) : مقادیر K برای حالات مختلف کنترل سرعت فراابتدا، در زمان ۶۰ دقیقه، دما ۸۰ درجه سانتیگراد

مقدار K نفوذ در قشر پسماند (min^{-1})	مقدار K واکنش شیمیایی (min^{-1})	مقدار K نفوذ در محلول (min^{-1})
۰/۰۰۰۶۷۶	۰/۰۰۳۶۹۵	۰/۰۰۸۸۰۸

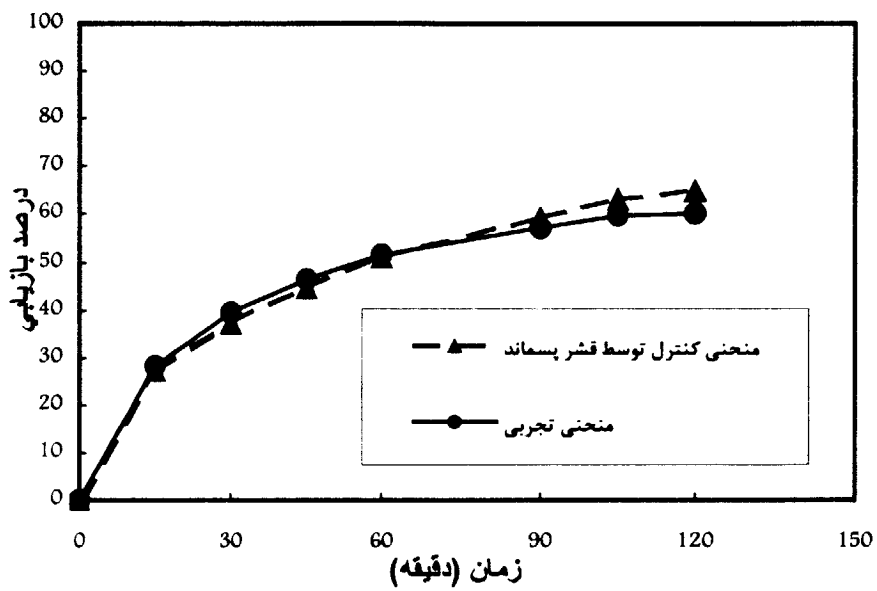
حال با توجه به این مقادیر منحنی‌های مربوطه را رسم می‌کنیم. این منحنی‌ها به ترتیب برای حالت نفوذ در محلول، کنترل شیمیایی و نفوذ در قشر پسماند در شکل‌های (۵-۱۰)، (۵-۱۱) و (۵-۱۲) نشان داده شده‌اند.



شکل (۵-۱۰) : منحنی درصد بازیابی مس بر حسب زمان، دما ۸۰ درجه سانتی‌گراد، غلظت اسید ۵/۱۰ مول بر لیتر، سرعت همزدن ۲۰۰ دور بر دقیقه، نسبت جامد به مایع ۱ به ۲۰ و منحنی مربوط به حالت کنترل توسط نفوذ در محلول



شکل (۵-۱۱) : منحنی درصد بازیابی مس بر حسب زمان، دما ۸۰ درجه سانتی گراد، غلظت اسید ۵/۱۰ مول بر لیتر، سرعت همزدن ۲۰۰ دور بر دقیقه، نسبت جامد به مایع ۱ به ۲۰ و منحنی مربوط به حالت کنترل توسط واکنش شیمیایی



شکل (۵-۱۲) : منحنی درصد بازیابی مس بر حسب زمان، دما ۸۰ درجه سانتی گراد، غلظت اسید ۵/۱۰ مول بر لیتر، سرعت همزدن ۲۰۰ دور بر دقیقه، نسبت جامد به مایع ۱ به ۲۰ و منحنی مربوط به حالت کنترل توسط نفوذ در قشر پسماند

با توجه به شکل های (۱۰-۵)، (۱۱-۵) و (۱۲-۵) دیده می شود که معادله

$$1 - \frac{2}{3}R - (1-R)^{\frac{2}{3}} = K'_m \cdot t$$

محاسبه کرد. با محاسبه K'_m در زمانهای مختلف، باز هم دیده می شود که تغییرات K' بسیار ناچیز است و تقریباً ثابت می باشد. این مساله با این اصل تئوریک تطابق دارد که K' در کلیه نقاط منحنی ثابت است. نتایج محاسبه K'_m در دماها و زمانهای مختلف در جدول (۵-۲)

دیده می شود.

جدول (۵-۲) : مقادیر K'_m در زمانهای مختلف برای حالت نفوذ در فشر پسماند

مقدار K میانگین (min^{-1})	۱۲۰	۱۰۵	۹۰	۶۰	۴۵	۳۰	۱۵	زمان (دقیقه)	
	۰/۰۰۰۶۲۰	۰/۰۰۰۴۸۱	۰/۰۰۰۵۴۳	۰/۰۰۰۵۶۴	۰/۰۰۰۶۷۶	۰/۰۰۰۶۹۸	۰/۰۰۰۷۰۱	۰/۰۰۰۶۷۸	مقدار K نفوذ در فشر پسماند (min^{-1})

با توجه به این امر حال می توان انرژی تحریک واکنش را محاسبه کرد. برای این کار از رابطه آربیوس استفاده می شود [۱۱]. بر اساس این رابطه داریم:

$$K = A \exp\left(-\frac{Q}{RT}\right) \quad (5-9)$$

که A ثابت، T دمای انجام فرایند بر حسب درجه کلوین و R ثابت جهانی گازها است.

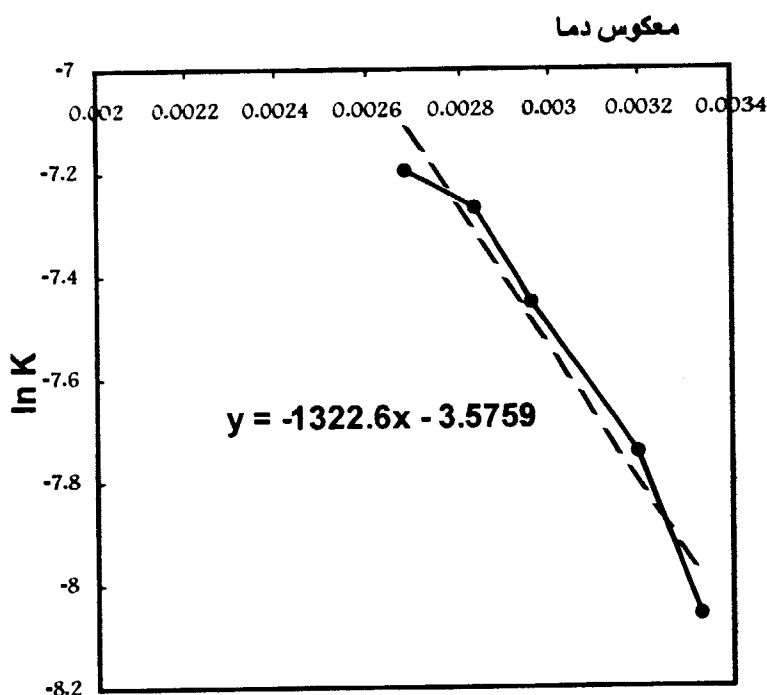
با لگاریتم گرفتن از طرفین معادله (۵-۹) خواهیم داشت:

$$\ln K = \ln A + \left(-\frac{Q}{RT} \right) \quad (5-10)$$

لذا با رسم منحنی $\ln K$ بر حسب $\frac{1}{T}$ یک خط به دست می‌آید که شیب آن $-\frac{Q}{R}$ و عرض از مبدأ آن $\ln A$ است. لذا برای محاسبه انرژی اکتیواسیون ابتدا مقدار K میانگین را در زمان ۶۰ دقیقه و دماهای مختلف محاسبه می‌کنیم. اطلاعات مربوطه در جدول (۵-۳) ارایه شده و منحنی زیر (شکل (۵-۱۳)) بر اساس اطلاعات این جدول رسم می‌شود.

جدول (۵-۳): مقادیر K'_m در زمان ۶۰ دقیقه و دماهای مختلف برای حالت نفوذ در قشر پسمند

$\ln K$	مقدار K نفوذ در قشر پسمند (min^{-1})	درصد بازیابی	$\frac{1}{T} \left(\frac{1}{^{\circ}\text{K}} \right)$	دما (درجه سانتی گراد)
-۸/۱۰۵۳	$۳/۰۱۹۲ \times 10^{-4}$	۳۶/۷۱	$۳/۳۳۳ \times 10^{-3}$	۲۷
-۷/۶۴۲۲	$۴/۷۹۷۷ \times 10^{-4}$	۴۵/۰۵	$۳/۱۹۰ \times 10^{-3}$	۴۰
-۷/۴۰۱۵	$۵/۸۰۵۶ \times 10^{-4}$	۴۸/۹	$۲/۹۵۹ \times 10^{-3}$	۶۰
-۷/۲۹۹۸	$۶/۷۵۶۸ \times 10^{-4}$	۵۲/۸۵	$۲/۸۳۳ \times 10^{-3}$	۸۰
-۷/۱۹۷۸	$۷/۴۸۲۳ \times 10^{-4}$	۵۴/۴	$۲/۶۸۱ \times 10^{-3}$	۱۰۰



شکل (۵-۱۳) : منحنی $\ln K$ بر حسب $\frac{1}{T}$

با توجه به شکل (۵-۱۳) می‌توان دریافت که انرژی اکتیواسیون انحلال برابر $\frac{\text{kcal}}{\text{mole}}$ ۲/۶۳ است.

ابن مطلب خود بیانگر این مساله است که سببیک واکنش توسط انتقال جرم در داخل

قشر پسماند کترل می‌شود [۱۱، ۹۴]. زیرا در صورتیکه واکنش شبیهایی کترل کننده سرعت

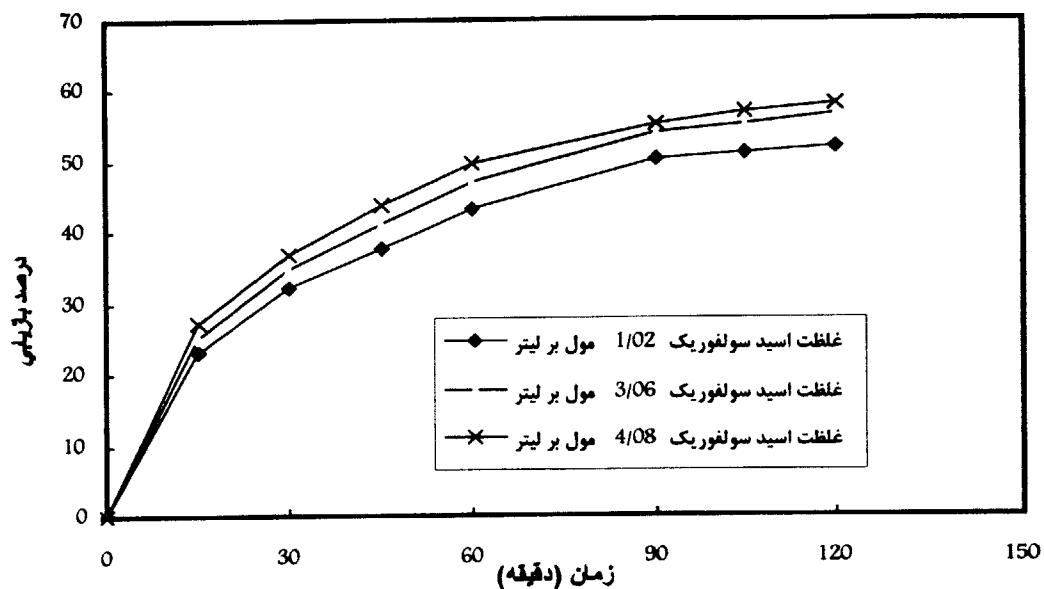
باشد، Q باید بزرگتر از $10 \frac{\text{kcal}}{\text{mole}}$ باشد و فقط در صورتیکه انتقال جرم در داخل قشر پسماند

کترل کننده باشد، Q کوچکتر از $4 \frac{\text{kcal}}{\text{mole}}$ است.

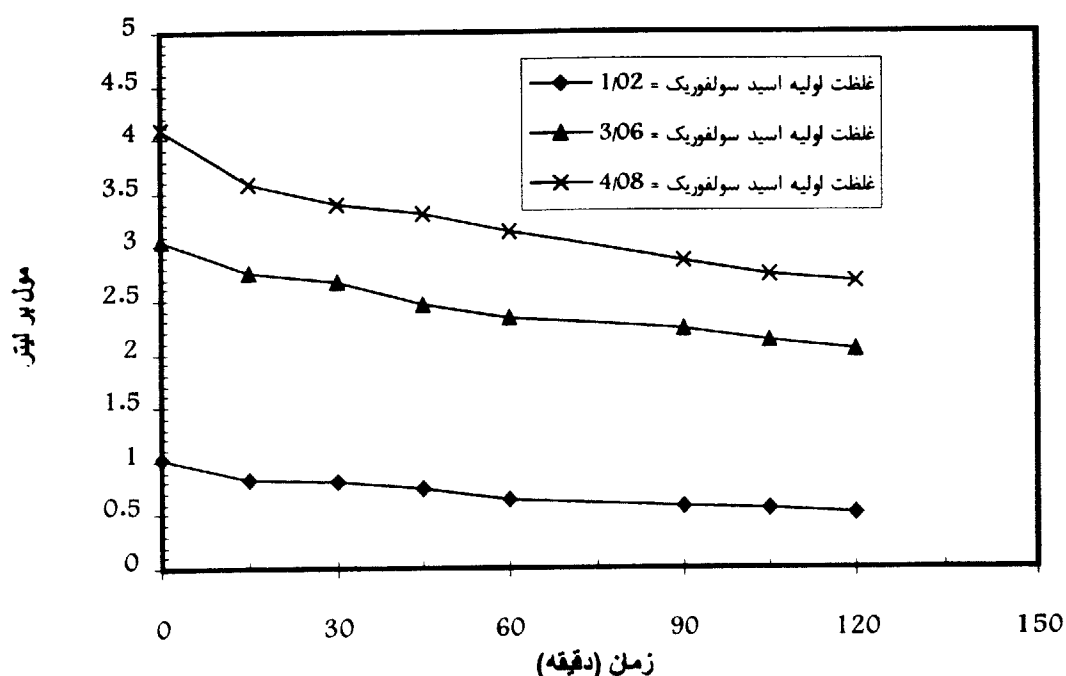
۵-۸- محاسبه میزان اسید مصرف شده

همانطور که در بخش (۵-۴) ذکر شد، غلظت‌های مورد استفاده در این تحقیق، چندین برابر غلظت استوکیومتری هستند. لذا باید بررسی کرد که اسید اضافی صرف انجام چه واکنش‌هایی می‌شود و چه اجزایی از سرباره را حل می‌کند. به علت وجود ترکیبات قلیایی نظیر CaO و MgO ، بخشی از اسید صرف خشی سازی این ترکیبات می‌گردد. از آنجا که ترکیبات آهن نیز به مقدار زیاد در سرباره وجود دارند، احتمالاً بخش عمده اسید صرف انحلال آهن می‌شود. لذا برای بررسی میزان اسید مصرف شده، از روش تیتراسیون استفاده شد. نتایج به دست آمده از این آزمایش در جدول (۴-۲۰) نشان داده شده است. با رسم منحنی غلظت اسید باقیمانده بر حسب زمان و انطباق آن بر منحنی درصد بازیابی بر حسب زمان، شکل‌های (۵-۱۴) و (۵-۱۵) به دست می‌آید.

با توجه به شکل‌های (۵-۱۴) و (۵-۱۵) می‌توان دریافت که در هر دو منحنی سه منطقه مجزا وجود دارد که این سه منطقه به نوعی با هم متناظر هستند. در زمان‌های ابتدایی هم مصرف اسید و هم میزان بازیابی از شبب بالایی برخوردارند، ولی با گذشت زمان شبب هر دو منحنی کاهش می‌یابد و در منطقه سوم شبب هر دو منحنی تقریباً ثابت می‌شود. لذا با توجه به این مساله می‌توان دریافت که هر چند از غلظت‌هایی بسیار بیشتر از غلظت استوکیومتری استفاده شده است، ولی روند مصرف اسید با روند بازیابی مس رابطه‌ای مستقیم دارد.



شکل (۵-۱۴) : منحنی درصد بازیابی مس بحسب زمان ، دما ۸۰ درجه سانتی گراد ، سرعت همزدن ۲۰۰ دور بر دقیقه ، نسبت جامد به مایع ۱ به ۲۰



شکل (۵-۱۵) : منحنی تغییرات غله محلول بحسب زمان ، دما ۸۰ درجه سانتی گراد ، سرعت همزدن ۲۰۰ دور بر دقیقه ، نسبت جامد به مایع ۱ به ۲۰

همانطور که در شکل های (۱۴-۵) و (۱۵-۵) دیده می شود، با افزایش زمان انحلال، میزان مصرف اسید نیز افزایش می یابد. همانطور که دیده می شود، تغییرات منحنی اسید باقیمانده نسبتا ثابت بوده، لذا اسید علاوه بر انحلال مس، صرف انحلال سایر اجزا نیز می شود. روند کاهش غلظت محلول با افزایش زمان، رو به کاهش می نهد و از شبکه کاهش غلظت کاسته می شود. با توجه به شکل (۱۵-۵) می توان دریافت که میزان مصرف اسید در ۱۵ دقیقه ابتدائی بسیار سریع بوده و پس از آن رو به کاهش می نهد. علت این امر را می توان واکنش سزیع ترکیبات قلیایی با اسید بلا فاصله پس از افزودن سرباره به محلول اسیدی دانست. در مشاهدان تجربی نیز این امر مشهود بود و بلا فاصله پس از افزودن سرباره به محلول، بخشی از سرباره در محلول حل می شد و رنگ محلول را تغییر می داد.

فصل ششم

نشیپر گپری

در این تحقیق امکان بازیابی مس از سرباره کوره ریورب با استفاده از اسید سولفوریک، مورد بررسی قرار گرفت و نتایج زیر به دست آمد:

۱- بر اساس نتایج به دست آمده از آنالیز سرباره کوره ریورب مجتمع مس سرچشمه، مشخص شد که مس موجود در این سرباره عمدتاً به صورت ترکیبات سولفیدی به ویژه کالکوپیریت وجود دارد.

۲- با افزایش زمان انحلال سرباره از ۱۵ تا ۱۲۰ دقیقه، میزان بازیابی مس افزایش می‌یابد که با توجه به نتایج به دست آمده، زمان ۱۰۵ دقیقه را می‌توان به عنوان زمان بهینه انحلال در نظر گرفت.

۳- با افزایش دمای انحلال سرباره از ۲۷ تا ۱۰۰ درجه سانتی گراد، میزان بازیابی مس افزایش می‌یابد که با توجه به نتایج به دست آمده، دمای ۸۰ درجه سانتی گراد را می‌توان به عنوان دمای بهینه انحلال در نظر گرفت.

۴- برای انحلال مس موجود در سرباره، باید از غلظت‌های بالای اسید استفاده کرد. با توجه به نتایج به دست آمده، غلظت ۴٪ مول بر لیتر به عنوان غلظت بهینه محلول حاوی اسید سولفوریک در نظر گرفته می‌شود.

۵- همزدن محلول باعث افزایش قابل توجهی در میزان بازیابی مس می شود، ولی سرعت همزدن تاثیر چندانی در میزان بازیابی ندارد. لذا سرعت همزدن 200 دور بر دقیقه به عنوان سرعت بهینه همزدن محلول در نظر گرفته می شود.

۶- با توجه به بررسی های سبتبکی، فرایند انحلال مس موجود در سرباره کوره ریورب توسط نفوذ در قشر پسماند کنترل می شود. بر اساس محاسبات، تغییرات میزان بازیابی بر حسب زمان

$$\text{از رابطه } K_m' \cdot t = \frac{2}{3} R - (1-R)^{\frac{2}{3}} \text{ پیروی می کند و انرژی اکتیواسیون واکنش انحلال } 2/63 \text{ kcal/mole \ می باشد.}$$

فصل هشتم

پیوست

اثر کاتالیزور در حل کردن مس [۲۱، ۱۹، ۱۸، ۱۷]

کاتالیزورها در بسیاری از واکنش‌ها به طور مؤثر عمل کرده و سرعت انجام واکنش را در یک جهت افزایش می‌دهند. در استخراج صنعتی مس معمولاً از کاتالیزور استفاده نمی‌شود. علت این امر هزینه بالای استفاده از کاتالیزور می‌باشد. با این وجود تحقیقاتی در مورد نقش یون نقره به عنوان کاتالیزور در استخراج مس صورت گرفته است. افزودن یون نقره به میزان قابل توجهی حل شدن کالکوپیریت و سایر ترکیبات سولفیدی مس را در حلالهایی نظیر اسید سولفوریک رقیق و محلول سولفات فریک افزایش می‌دهد. کاتالیزور Ag^+ در تشکیل یک لایه کمپلکس متخلخل در سطح ذرات کانه شرکت می‌کند. این لایه از پوشیده شدن سطح این ذرات توسط گوگرد تولید شده در واکنش کانه‌های سولفیدی مس با اسید سولفوریک و سایر حلال‌ها جلوگیری می‌کند.

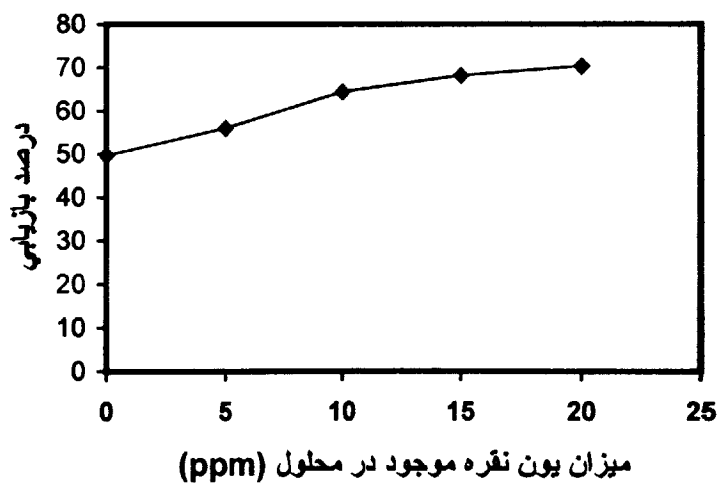
در جدول (۷-۱) تأثیر افزودن یون نقره در افزایش بازیابی مس نشان داده شده است.

جدول (۷-۱) : تأثیر افزودن یون نقره به حلal در میزان بازیابی مس

روز	در صد مس بازیابی شده				غلهظت Ag^+	pH	حلال
	پس از ۱۰ روز	پس از ۶ روز	پس از ۳ روز	در دقایق اولیه			
۲/۸	۲/۰	۲/۰	۰/۳	-	۱/۷	۱/۰۲	اسید سولفوریک
۲/۹	۲/۰	۲/۱۵	-	۰/۰۲			
۳/۲	۲/۴	۲/۰	۰/۷	-			
۳/۶	۲۲/۲	۱۰/۵	-	۰/۰۲			
۳/۶	۲/۹	۲/۴	۱/۲۵	-	۱/۰۸	۱/۰۲	رقیق
۶/۷/۷	۶۵/۲	۶۴/۳۵	-	-			
۲/۸	۲/۳	۲/۴	۱/۳	-			
۸/۰	۷۵/۹	۶۶/۳	-	۰/۰۲	۱/۰۸	۱/۰۲	محلول سولفات فریک ۰/۱ مولار

به منظور بررسی اثر افزایش یون نقره در میزان بازیابی مس از سرباره کوره ریورب، به محلول حل سازی مقادیری یون نقره افزوده شد. نتایج به دست آمده در شکل (۷-۱) نشان داده شده‌اند.

همانطور که دیده می‌شود افزودن یون نقره به محلول باعث افزایش نسبی در میزان بازیابی مس از سرباره کوره ریورب می‌گردد.



شکل (۷-۱) : تغییرات میزان بازیابی مس با افزودن یون نقره به محلول

اثر تشویه در حل کردن کانه‌های حاوی مس

تشویه عملیاتی است که برای بهتر حل شدن ماده معدنی بر روی سنگ معدن انجام می‌گیرد. هدف از این عملیات عبارت است از:

- الف- کم کردن ترکیبات غیر قابل حل ماده معدنی و تبدیل آنها به صورتی که در حلال حل شوند.
- ب- تبدیل ترکیبات ماده معدنی به صورتی که بتواند مستقیماً در آب حل شود.
- ج- تبدیل ترکیبات عناصر دیگر به صورتی که در حلال حل نشده و یا از حلالت آنها کاسته شود.
- د- جدا کردن و یا شکستن حرارتی ترکیبات موجود در سنگ معدن به طوری که ترکیبات حاوی مس آزاد شده و حلالت آن در حلال افزایش یابد.
- ه- تغییر خواص فیزیکی سنگ از نظر سختی و کاهش مصرف انرژی برای شکستن سنگ. اینک به طور مختصر به شرح هر یک می‌پردازیم.

الف- کم کردن ترکیبات غیر قابل اتحال [۱]

از آنچه ای که ترکیبات اکسیدی مس به آسانی در اکثر حل‌ها حل می‌شوند و از طرف دیگر سولفیدهای مس به سختی در حلال حل شده و هرگز نیز به طور کامل حل نمی‌شوند، در این سری از عملیات هدف اصلی تبدیل ترکیب مس‌دار به اکسید مس می‌باشد و برای این منظور یک تشویه معمولی می‌تواند بسیار مناسب باشد.



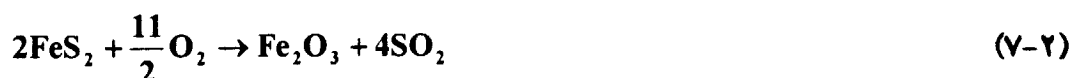
در تشویه عملأً تسامی املاح گوگردار مس به صورت اکسید در آمده و قابلیت انحلال در حلال‌های مختلف را پیدا می‌کند. فقط سیلیکات‌های مس در این شرایط به صورت فیرقابل‌انحلال باقی می‌مانند. درجه حرارت این تشویه باید نسبتاً بالا باشد تا سولفات‌های تشکیل شده مجدداً در اثر حرارت تجزیه شوند. درجه حرارت برای تشویه ساده حدود ۷۵۰-۸۰۰ درجه سانتی‌گراد می‌باشد.

ب- تبدیل ماده معدنی به ترکیب قابل انحلال در آب [۱]

تشویه سولفات‌کننده و تشویه کلرور کننده مهمترین عملیات برای این منظور می‌باشد.

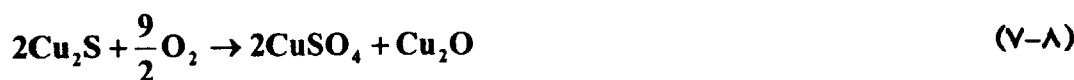
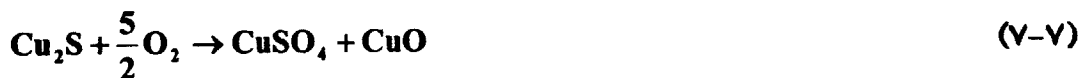
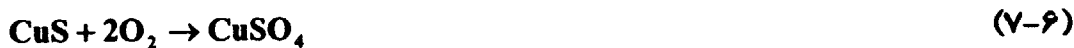
۱- تشویه سولفات‌کننده

واکنش‌های انجام شده در این روش عبارتست از:



در مجاورت اکسیدهای آهن که نقش کاتالیزور را دارند مقداری از گاز گوگرد، اکسید می‌شود و بالاخره مقداری از سولفیدهای مس و آهن نیز مستقیماً در اثر اکسیداسیون تبدیل به سولفات می‌شوند.





بدین ترتیب سولفید مس غیر قابل حل به صورت سولفات و اکسید در می آید که به آسانی در اسید قابل حل می باشد. هر قدر در جریان تشویه سولفات بیشتری تشکیل شود، مصرف اسید کمتر بوده و از نظر اقتصادی بیشتر مقرن به صرفه خواهد بود. برای آنکه مقدار سولفات بیشتری تشکیل شود، باید فشار SO_2 را در محیط بالا برد. اگر درجه حرارت از حدودی تجاوز کند (۷۵۰ درجه سانتی گراد) سولفات ها مجدداً تجزیه خواهند شد.



لذا کنترل درجه حرارت برای تشویه سولفات کننده بسیار مهم است. از طرف دیگر وجود سولفات آهن در محصولات تشویه مطلوب نیست و چون سولفات آهن درجه حرارت کمتری را برای تجزیه لازم دارد (حدود ۵۰۰ درجه سانتی گراد). لذا بهترین حالت آن خواهد بود که درجه حرارت و فشار طوری انتخاب شود که حداقل سولفات مس تشکیل شود و سولفات های آهن تشکیل شده، مجدداً تجزیه شوند. به طور کلی با توجه به درجه حرارت تجزیه سولفات آهن معمولاً درجه حرارت تشویه سولفات کننده را حدود ۶۰۰ درجه سانتی گراد انتخاب می کنند.

۲- تشویه کلرور کننده

در این تشویه سنگ‌های معدنی را همراه با حدود ۸-۱۲ درصد نمک طعام در درجه حرارت حدود ۶۰۰-۷۰۰ درجه سانتی‌گراد در مجاورت هوا حرارت می‌دهند. واکنش‌های انجام شده بسیار پیچیده بوده و ماهیت آن‌ها هنوز به طور دقیق روشن نشده است.

در اثر حرارت و در مجاورت هوا، سولفیدهای فلزی اکسید شده و گاز SO_2 متصاعد می‌شود و قسمتی از سولفیدها تبدیل به سولفات می‌شوند. سپس واکنش بین مواد تشکیل شده و فاز گازی انجام شده و آهن به صورت اکسید Fe_2O_3 در آمده و گاز کلر حاصل از تجزیه نمک طعام و یا کلر فرستاده شده به محیط، با اکسیدهای مس وارد واکنش شده و تولید کلریدهای مس می‌کند که در آب یا آب حاوی نمک، محلول هستند. تجربه نشان می‌دهد که در این شرایط قسمت عمده آهن به صورت اکسید در می‌آید. در جریان کار مقداری سولفات نیز تشکیل می‌شود. معمولاً برای آنکه سولفات‌ها به خصوص سولفات آهن مجدداً تجزیه شوند، درجه حرارت تشویه را بالا می‌گیرند (حدود ۶۰۰-۷۰۰ درجه سانتی‌گراد). بالاخره در جریان کار تشویه می‌توان مقداری از سولفات‌ها را بازیابی و به عنوان حلال از آن‌ها استفاده کرد. این روش به خصوص در مورد سنگ‌های معدنی مس که دارای پیریت زیاد و یا کالکوپیریت هستند، کاربرد دارد. اکثراً پس از تشویه سنگ معدن را در محلول‌های کلرور آهن حل می‌کنند.

تشویه سولفیدهای مس - آهن در دماها و شرایط مختلف انجام شده است [۲۲]. در این آزمایشات محصولات مختلفی نیز به دست آمده است. به هر حال نتیجه اکثر این آزمایشات، افزایش میزان بازیابی مس بوده است. در سیستم‌های $\text{Cu}-\text{S}-\text{O}$ اکسیداسیون کالکوست نوسط محققین مورد بررسی قرار گرفته است [۲۳]. براساس این تحقیقات، تشکیل سولفات مس در دمای ۵۹۳ درجه سانتی‌گراد شروع و در دمای ۷۳۳ درجه سانتی‌گراد خاتمه می‌یابد [۲۴]. در این سیستم‌ها به علت وجود اکسیژن و SO_2 تولید می‌شود. مخلوطی از

SO_2 ، O_2 و Cu_2O واکنش داده و منجر به تشکیل CuSO_4 می‌شوند. تغییرات فازی

در این سیستم‌ها اینگونه صورت می‌گیرد:



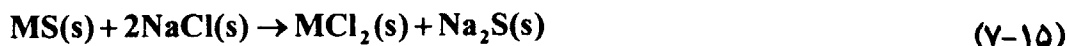
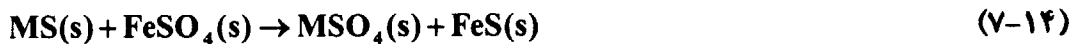
در سیستم‌های $\text{Cu}-\text{Fe}-\text{S}-\text{O}$ نظیر سیستم‌های حاوی کالکوپیریت، حضور سولفیدهای مس و آهن به درک مکانیزم اکسیداسیون مخلوط آن‌ها کمک می‌کند. هندرسون [۲۵] با بررسی Fe_2O_3 و CuSO_4 احاطه شده است، تشکیل می‌شود و در دمای ۱۰۷۳ درجه کلوین لایه‌ای از بورنیت که توسط Fe_2O_3 و CuFe_2O_4 ایجاد می‌شوند. بر اساس سایر تحقیقات حرارت دادن در حضور هوا و در دمای ۷۷۳ تا ۸۲۳ درجه کلوین، منجر به تبدیل شدن سولفیدها به سولفات‌ها می‌شود. تغییرات فازی این سیستم‌ها اینگونه است [۲۶]:



مشاهده شده است که فرایند سولفاته کردن انتخابی را می‌توان با انجام تشویه در حضور برخی مواد نظیر Fe_2O_3 ، پودر Na_2CO_3 ، NaCl ، FeSO_4 ، Na_2SO_4 ، Na_2S و Fe تسریع کرد. این مواد با ایجاد محیط سولفاته کننده مناسب، میزان سولفات مس به دست آمده را افزایش می‌دهند [۱۹].

تحقیقات نشان داده است که استفاده از Na_2CO_3 برای تشویه مواد سولفیدی با ذرات بسیار ریز، منجر به افزایش انحلال فلزات غیر آهنی نظیر مس، نیکل، کبالت و روی می‌شود. بر اساس تحقیقات انجام شده نیز مشخص شده است که با تشویه سرباره سولفیدی کوره ریورب در حضور FeSO_4 و در دمای ۵۵۰ تا ۶۵۰ درجه سانتی‌گراد، میزان بازیابی مس تا بیش از ۹۰ درصد افزایش می‌دهد [۱۹].

با توجه به این موارد، در این پژوهش از تشویه در حضور NaCl , Na_2CO_3 و FeSO_4 استفاده شد. واکنش‌های انجام شده را می‌توان اینگونه بیان کرد:



دمای انجام تشویه ۷۵۰ درجه سانتی گراد غلظت محلول ۰/۵۱ مول بر لیتر، نسبت جامد به مایع ۱ به ۲۰ و زمان انحلال دو ساعت در نظر گرفته شد. بر اساس نتایج ارائه شده در جدول (۷-۲) می‌توان دریافت که انجام عملیات تشویه، باعث افزایش قابل توجهی در میزان بازیابی مس نسبت به حالت تشویه نشده جتی در غلظت پایین به کار رفته، شده است.

جدول (۷-۲) : میزان بازیابی مس پس از تشویع در حضور مواد مختلف

Na_2CO_3	NaCl	FeSO_4	بدون تشویه	ماده تشویه‌کننده
۲۰/۴۷	۱۴/۴۹	۹/۴۹	در حد صفر	درصد بازیابی

اثر کار مکانیکی در حل کردن کانه‌های حاوی مس [۱۲]

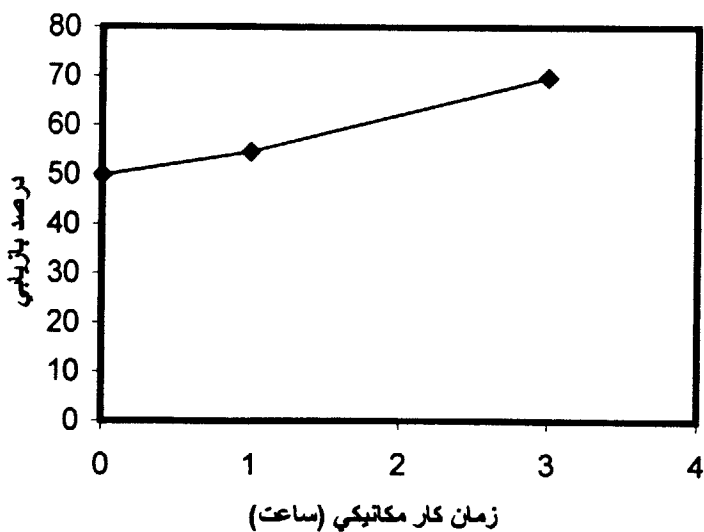
فعال سازی مکانیکی یکی از روش‌های تسریع فرایندهای حل سازی است. دلایلی که منجر به ایجاد تأثیرات مثبت این روش می‌شوند، عبارتند از:

- ۱- افزایش سطح تماس
- ۲- افزایش واکنش پذیری سطح
- ۳- اصلاح ریز ساختار در نتیجه تغییر شکل‌های ایجاد شده

در تحقیقات انجام شده اصول این فرایند بررسی شده است. به این منظور کانه سولفیدی در آسیای گلوله‌ای ریخته می‌شود و برای مدت زمان معین در آسیا به چرخش درمی‌آید. براساس بورسی‌ها، در حین انجام کار مکانیکی، به علت افزایش سطح کانه و ایجاد تقابض فراوان در آن، علاوه بر تسریع اکسیداسیون کانه، میزان نفوذ محلول و سطح تماس با محلول، پس از کار مکانیکی و در حین انحلال نیز افزایش می‌یابد.

در تحقیقی که در مورد انحلال کالکوپیریت در محلول حاوی کلربید فریک انجام شده است، مانوریس و هاوک دریافتند که پس از کار مکانیکی، میزان انحلال مس در سه ساعت به ۹۵ درصد می‌رسد، درحالیکه میزان انحلال مس در همان شرایط و بدون انجام کار مکانیکی در ۵ ساعت، ۷۵ درصد بوده است. لذا می‌توان به تأثیر بسیار مثبت انجام کار مکانیکی در بازیابی مس بی برد.

در این پژوهش برای بررسی تاثیر کار مکانیکی در بازیابی مس از سرباره کوره ریورب، مقداری از سرباره در آسیای گلوله‌ای ماهواره‌ای ریخته شد و به مدت معین کار مکانیکی بر روی آن انجام شد. پس از مدت معین سرباره در محلول اسید سولفوریک با غلظت ۴٪ مول بر لیتر حل شد و نتایج مندرج در شکل (۷-۲) به دست آمد.



شکل (۷-۲) : تغییرات میزان بازیابی مس با افزایش زمان کار مکانیکی

همانطور که در شکل (۷-۲) دیده می‌شود، با افزایش زمان کار مکانیکی، میزان بازیابی افزایش یافته است. لذا می‌توان از کار مکانیکی برای افزایش راندمان بازیابی استفاده کرد.

فصل هشتم

مراجع و منابع

۱) حکمت رضوی زاده، رامز وقار، متالورژی مس ، انتشارات دانشگاه علم و صنعت

ایران، ۱۳۶۸.

2) A.K.Biswas , W.G.Davenport , Extractive Metallurgy of Copper , Pergamon Press , 1994 .

۳) جلیل وحدتی خاکی، محمد شیخ شاب بافقی، بهروز رحمتی، بازیابی مس از سرباره

کوره شعله‌ای مجتمع مس سرچشمه، پایان نامه مقطع کارشناسی ارشد، دانشکده مهندسی
متالورژی و مواد دانشگاه علم و صنعت ایران، ۱۳۷۵ .

4) O.Herreros , R.Quiroz , E.Manzano , E.Bou , J.Vinals , Copper Extraction from Reverberatory and Flash Furnace slags by Chlorine Leaching , Hydrometallurgy , No. 49 , pp. 87-101 , 1998 .

5) C.B.Gill , Nonferrous Extractive Metallurgy , John Wiley & Sons , 1980 .

6) E.Jackson , Hydrometallurgical Extraction and Reclamation , John Wiley & Sons , 1986 .

7) مهندس علیرضا میرصادقی، مهندس حسن شریف، بررسی وضعیت فلز مس ، دانشگاه

امام حسین، ۱۳۷۵ .

8) F.Carranza , N.Iglesias , R.Romero , I.Palencia , Kinetics Improvement of High- Grade Sulphides Bioleaching by Effects separation , FEMS Microbiol. Rev. pp. 129-138 , 1993 .

9) S.Prasad , B.D.Pandey , Alternative Processes for treatment of Chalcopyrite – A Review , Minerals Engineering , Vol. 11 , No. 8 , pp. 763-781 , 1998 .

۱۰) محمد شیخ شاب بافقی، محمد صلاحی، حل کردن کنسانتره کالکوپیریت مس

سرچشمه توسط کلرید فریک، پایان نامه کارشناسی ارشد، دانشگاه علم و صنعت ایران.

11) S.Anand , P.Kanta Rao , P.K.Jena , Recovery of Metal Values from Copper Converter and Smelter Slags by Ferric Chloride Leaching , Hydrometallurgy , No.5 , pp. 355-365 , 1980 .

- 12) D.Maurice J.A.Hawk , Ferric Chloride Leaching of Mechanically Activated Chalcopyrite , Hydrometallurgy , No. 49 , pp. 103-123 , 1998 .
- 13) P.C.Banerjee , B.K.Chakrabarti , Saswati Bhattacharyya , A.Das , Silver – Catalysed Hydrometallurgical Extraction of Copper from Sulfide Ores from Indian Mines , Hydrometallurgy , No. 25 , pp. 349-355 , 1990 .
- 14) K.O.Lindblad , R.E.Dufresne , Acid Leach of Copper Reverberatory Slag : A New Approach , JOM , Vol. 26 , 1974 , pp. 29-31.
- 15) P.Spira , N.J.Themelis , The Solubility of Copper in slags , J.Met. Vol.21 , No. 4 , pp. 1986.
- 16) F.Habashi , AtextBook of Hydrometallurgy, 1993.

۱۷) خطیب الاسلام صدرنژاد، فرایندهای سبیکی در مهندسی مواد و متالورژی، انتشارات

امیرکبیر، ۱۳۷۲.

- 18) R.O.McElroy , D.W.Duncan , Copper Extraction by Rapid Bacteriological Process , U.S.Pat. 3,856,913 , 24 Dec. 1974.
- 19) J.D.Miller , P.J.McDonough , H.Q.Portillo, Electrochemistry in Silver Catalysed ferric Sulfate Leaching of Chalcopyrite. In Precess and Fundamental Consideration of selected Hydrometallurical Systems. Soc. Min. Eng. AIME , New York , pp. 327-338 , 1981.
- 20) F.Pawlek , Hydrometallurgical Recovery of Copper from Chalcopyrite or Bornite Concentrates. , Aust. Pat. 316,616 , 27 Dec. 1974 .
- 21) G.J.Snell , Sulfate leaching of copper ores Using Silver Catalyst . U.S. Pat. 3,886,256 , 27 May 1975 .
- 22) I.Kushima , Y.Moriomto , J.Moriyama , Oxidation of Chalcopyrite by roastig . Suiyakawai-Shi. 11 , pp. 522-525 , 1950 .
- 23) B.H.Hoon , T.R.Cho , Roasting mechanism of synthetic Chalcocite. , Kumsok Hakhoe Chi. Pp. 126-132 , 1975.
- 24) V.V.V.N.S.Ramarkrishna , P.K.Abraham , Kinetics of Oxidation of Copper Sulphide. , Metall. Trans. , pp. 2463-2470 , 1971.
- 25) T.A.Henderson , Oxidation of Powder Compacts of Copper- Iron Sulphides. Bull. Inst. Mining Met. , pp. 497-520 , 1958.
- 26) F.Opera , mechanism of the Oxidation of iron and copper sulphides . , Min. Metall. Quart. , pp. 193-212 , 1963.

27) D.D.Akerkar , M.G.Bodas , B.D.Pandey , R.K.Jana , Extaction of Base Metals from Complex Sulphide Ores : A Review of Roast , Leach , Solvent Extraction and Electrowining Process , Proceeding of the Symposium on advances in Electrometallurgy , Karaikudi , 1983.

28) J.Vinals , C.Nunez , O.Herrerros , Kinetics of the Aqueous Chlorination of Gold in Suspended Particles , Hydrometallurgy , Vol.38 , pp. 125-147 , 1995 .

۲۹) حکمت رضوی زاده ، سیامک مهربانی، علل اتلاف مس در سرباره کوره‌های شعله‌ای،

پایان نامه کارشناسی، دانشگاه علم و صنعت ایران، ۱۳۶۸ .

Abstract:

In this work the recovery of copper from reverberatory slag by leaching with sulfuric acid has been studied. The objective of the study was removing copper from slag phase and introducing it into the aqueous phase. For this purpose, sulfuric acid as a low price leachant has been used. This acid can not completely extract copper from slag because of low porosity of slag and presence of copper sulfides that are insoluble in sulfuric acid, in slag. Thus in the first stage, the slag was crushed and then sieved in +60, +80, +100, +120 and -120 meshes. In this stage, the effect of various parameters including particle size, leaching time and acid concentration on copper recovery have been studied and the results showed that the highest recovery of copper is achieved with smallest particles, though, the copper content of different particle sizes was approximately the same.

Then, in the second stage, all of the slag was crushed to -120 mesh and the effect of various parameters including leaching time and temperature, stirring rate and concentration of acid have been studied. In this stage, it had been specified that about 60% copper could be extracted from reverberatory slag under optimum conditions, which is as follow: acid concentration 4.08 mole per litre, temperature 80°C, slag particle size -120 mesh, stirring rate 200 rpm and leaching time 105 minutes.

In the last stage, to increase the recovery efficiency, some other parameters like roasting with ferric sulphate, sodium chloride and sodium carbonate, adding Ag^+ ion to leachant solution as a catalyst and using of mechanical activation, have been studied.



*Iran University of Science and Technology (I.U.S.T)
Department of Metallurgy and Materials Engineering*

Title:

***Hydrometallurgical Recovery of Copper from
Reverberatory Slag***

By:

Hossein Aghajani

*A thesis submitted in partial fulfillment of requirement for degree of
Master of Science in Extractive Metallurgy Engineering*

Supervised by:

***Dr. Jalil Vahdati Khaki
Dr. Massoud Goodarzi***

November 2002

ENGLISH